

MINISTERUL EDUCATIEI SI INVATAMINTULUI
Institutul Politehnic "Traian Vuia" Timișoara
Facultatea de mecanică.

Ing. Iosif-Florin Grosu

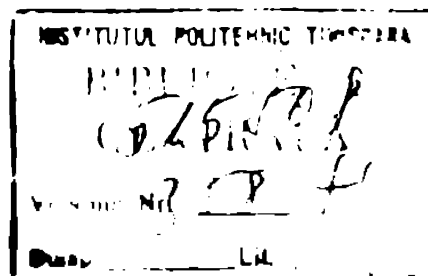
TEZA DE DOCTORAT

COMANDA ADAPTIVA A AVANSULUI LA
MASINI DE GAURIT

BIBLIOTECA CENTRALĂ
UNIVERSITATEA "POLITEHNICA"
TIMIȘOARA

Conducător științific :
Prof. dr. ing. EUGEN DODON

- 1985 -



1. INTRODUCERE

1.1. Dezvoltarea industriei constructoare de mașini în R.S.România

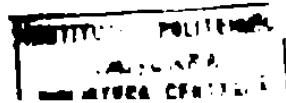
'In Raportul la cel de-al XIII-lea Congres al P.C.R. tovărășul Secretar general al P.C.R. Nicolae Ceaușescu arăta : "Ritmuri medii anuale de creștere mai mari sunt prevăzute pentru industria construcțiilor de mașini de 7-7,5 la sută" ceea ce corespunde politicii consecvente a P.C.R de a realiza în țara noastră o puternică industrie constructoare de mașini, ca pivot al întregii dezvoltări economico-sociale.

Un rol deosebit de important revine în cadrul general al industriei constructoare de mașini, producției industriilor constructoare de mașini-unele, electronice și a mijloacelor de calcul /1/. Se extinde producția de utilaje de mare complexitate și cu grad ridicat de automatizare. Se preconizează ca în anul 1990 nivelul general al producției industriei românești, nivelul tehnic și al calității să fie comparabil cu cel din țările dezvoltate din punct de vedere economic. Dezvoltarea preconizată a industriei trebuie făcută în condițiile unor consumuri de materii prime și energie minime folosind pe deplin potențialul cercetării științifice proprii.

In acest context, în țara noastră s-au făcut eforturi susținute de realizare a unor mașini-unele moderne cu grad ridicat de automatizare, în majoritate având introduse soluții originale rezultate din cercetări proprii. S-au diversificat tipodimensiunile mașinilor-unele astfel încât să se acopere într-o măsură tot mai mare cerințele interne și să se realizeze disponibilități pentru export.

Pe lîngă mașinile-unele universale s-a dezvoltat producția de mașini-unele specializate și speciale, a celulelor flexibile etc. Creșterea gradului de automatizare s-a făcut prin introducerea tot mai frecventă a comensilor program, numerice și în ultima perioadă a sistemelor de detectie a stării scălei și a comensilor adaptive.

In dorința realizării orientărilor din documentele de partid,



o serie de colective de cercetare în domeniul mașinilor-unelte (de ex. ICSIT Titan - colectivele de cercetare de pe lîngă catedrele tehnologice al institutelor de învățămînt superior, colectivele de proiectare a întreprinderilor constructorice de mașini-unelte etc) desfășoară o vastă activitate de cercetare, proiectare și realizare a unor tipuri tot mai evoluante de mașini-unelte.

Subcolectivul de Mașini-Unelte de pe lîngă catedra T.C.M a facultății de mecanică a I.P. "Traian Vuia" Timișoara, condus de peste două decenii de prof.dr.ing. E.Dodon, a contribuit la realizarea unor mașini-unelte cu comenzi adaptive colaborînd în acest scop cu o serie de institute și întreprinderi interesante, desfășurînd o activitate de pionerat în acest domeniu în țara noastră.

Prezenta Teză de doctorat se dorește o modestă contribuție la realizarea unor sisteme de comandă adaptivă pentru mașini de găurit, ca rod al activității în subcolectivul de Mașini-Unelte de pe lîngă catedra TCM.

Autorul aduce deosebite mulțumiri conducerului științific, prof.dr.ing. Eugen Dodon pentru îndrumarea competență pentru răbdarea și solicitudinea de care a dat dovedă pe toată perioada elaborării acestei teze.

De asemenea autorul mulțumește tuturor colegilor de la catedra TCM facultățea de Mecanică, de la I.I.S. Oradea și Întreprinderea Infrățirea Oradea, care au contribuit într-o formă sau altă la realizarea modelelor experimentale de comenzi adaptive și la implementarea acestora în producție.

1.2. Locul comenziilor adaptive în dezvoltarea mașinilor-unelte

Dezvoltarea industrială a unei națiuni depinde în bună măsură de nivelul de dezvoltare a industriei de mașini-unelte. Mașinile-unelte asigură prelucrarea pieselor de cele mai diferite dimensiuni și calități pe cît posibil în mod eficient. Ridicarea eficienței procesului de prelucrare reprezintă una din problemele actuale, cele mai stringente, ale constructorilor de mașini. Aprecierea eficienței procesului de prelucrare este însă relativ dificilă deoarece la aceasta concură o serie de factori dintre care se amintesc : calitatea prelucrării (aprecierea abaterilor de formă, poziție, a rugozității suprafăței prelucrate etc.), capacitatea de producție și prețul de cost.

Pentru ridicarea eficienței s-a actionat și se actionează asupra tuturor acestor factori căutându-se în permanentă imbunătățirea acestora. Astfel se corectează legitimitatele proceselor de aschicare în vederea stabilirii unor regimuri de aschicare optime, se introduc în industrie scule din materiale ce admit vizuza de prelucrare tot mai ridicate, se folosesc tot mai frecvent mașini cu comenzi numerice pentru realizarea precisă a ciclului cotelor, se conduce procesul de prelucrare, cu calculatorul electronic și pentru stabilirea automată a regimului de aschicare se realizează sisteme de comandă adaptivă ce funcționează pe baza informațiilor din însuși procesul de prelucrare.

Apariția mașinilor-unelte cu comenzi program a constituit un pas înainte în ceea ce privește reducerea timpilor auxiliari, creșterea siguranței în funcționare și a preciziei de prelucrare. În etapa actuală se urmărește și reducerea timpilor de bază, reducere ce poate fi obținută prin intensificarea procesului de prelucrării. Una din căile acelui intensificări este și utilizarea comenziilor adaptive.

Prin comanda adaptivă (CA) a unei mașini-unelte /9/ se întelege un sistem de reglare automată în buclă închisă a parametrilor regimului de aschicare pe baza unei strategii anterior stabilite (un algoritm) și a informațiilor provenite din procesul de prelucrare în timpul desfășurării acestuia. Posibilitatea comenzi adaptive a fost demonstrată practic în R.S. România cu mai mult de 20 ani în urmă /26/, România fiind printre primele ţări din lume în care s-au făcut astfel de cercetări.

Decarece acest mod de comandă constituie ceea mai modernă și științifică metodă de stabilire a regimului de aschicare se consideră că ea va avea o dezvoltare deosebită în viitor.

Dintre avantajele CA se amintesc :

1.- stabilirea unor parametrii ai regimului de aschicare în condițiile în care aceștia nu pot fi calculați (de ex. la pătrunderea frezei moloț în roata de prelucrat la mașini de danturat cu freză moloț etc);

2.- reducerea cheltuielilor pentru stabilirea procesului tehnologic și înscrierea sa în program;

3.- reducerea sau eliminarea efectelor defavorabile a unor factori perturbatori din proces;

4.- realizarea unor regimuri cu respectarea unor restricții sau obținerea unor optime;

5.- protecția mașinii-uncelte, a sculei, a piesei, a operatorului uman etc.

Optimizarea tehnologică este relativ dificilă și la ora actuală nu există industrial o mașină-uncaltă cu CA având optimizare perfectă pentru t, s și v /13/. Se admit metode pentru stabilirea de "optimuri" mai simple pe bază de limitări și restricții impuse operațiilor tehnologice pe baza cărora se realizează algoritmi. În acest fel au putut fi realizate CA pentru struguri, mașini de frezat, de găurit, de danturat, de rectificat etc.

Parametrii regimului de aşchiere se aleag ca mărimi de ieşire din sistem și sunt corelați, prin dependențe cunoscute, de factorii limitativi ai procesului de prelucrare.

Luxarea în considerare a prea mulți factori limitativi conduce la creșterea exagerată a complexității sistemului CA pe lângă dezavantajul că unii dintre acestea (ca de ex. temperatura tășnăului sculei, viteza de uzură etc.) sunt dificil de determinat în timpul procesului de prelucrare în condiții de atelier sau industrial.

Frecvența se măsoară forțe, momente, deformații, vibrații și puteri, folosindu-se pentru aceasta traductoare adecvate.

Clasificarea CA poate fi făcută după mai multe criterii:

După numărul parametrilor reglați /13/:

- cu un parametru;
- cu mai mulți parametrii.

După criteriul de optimizare /6/,/7/:

- costul operației de prelucrare;
- capacitatea de producție;
- respectarea unor indici de calitate (precizie dimensională, calitatea suprafeței etc.);
- criterii combinate.

Tendințele actuale pe plan mondial în domeniul CA evidențiază următoarele direcții :

- realizarea unor blocuri cu caracter mai general, aplicabile pe mai multe tipuri de mașini-uncelte, fapt ce conduce la micșorarea prețului de cost al CA;

- realizarea unor sisteme care pe lângă CA să realizeze și funcții de autodiagnosticare a stării sculei;

- folosirea frecvență a calculatorului și largirea domeniului de aplicare a CA (de ex. la electroeroziune).

Comenziile adaptive chiar cele simple, având un singur parametru reglat, au importante avantaje în special la producția de serie mică și individuală.

Totuși, datorită dificultăților tehnice și tehnologice ale realizării comenziilor adaptive aceștia nu s-au răspândit prea mult.

Perspectivele sunt însă favorabile introducerii CA la tot mai multe mașini-unelte datorită avantajelor pe care le are CA. Mai mult, realizarea unor celule flexibile, problemă importantă și la noi în țară, este practic imposibilă fără utilizarea cel puțin a unor elemente de CA.

1.3. Stadiul introducerii comenzi adaptive la mașini-unelte în R.S. România

Având în vedere preocupările unor cercetători și ale unor întreprinderi pentru introducerea comenziilor adaptive pe mașini unelte, în R.S. România au fost deja realizate unele CA pentru mașini-unelte. Se amintesc :

1. Sistem de reglare automată a avansului la strunguri (CA) sub formă de instalație experimentală în 1960 /26/;
2. Sistem de CA instalat în premieră mondială pe mașina de cojitură bare mici, prototip utilizat de către Întreprinderea Oțelul Roșu /63/;
3. Realizarea mașinii de dentură prin frezără cu cilindrii cu sistem de CA pentru avansuri, cu denumirea modelului FD400-13CAl assimilată în producție inclusiv prin omologarea sericii O la I.M. Çugir, cu caracteristicile modelului de bază FD400;
4. Sistem de CA pentru mașina de rectificat rotund exterior realizat în 1975 /35/ dezvoltat ulterior ca prototip pe mașina RE350;
5. Sisteme de reglare automată a regimului de aşchierare la mașini de frezat universale /12/, /10/;
6. Sistem de protecție împotriva ruperii sculci pentru centrul de prelucrare vertical CPV-2 omologat în 1985 la Întreprinderea Infrățirea Oradea în colaborare cu ICSIT Titien Ducești filiala Oradea /96/;
7. Sistem de CA după autovibrății la strunguri - instalată experimentală /77/.

8. Sistem de stabilirea automată a încărcării la CA a strungurilor - instalație experimentală 1976 /69/;

9. Sistem de CA pentru avans la micromagazina de găurit instalație experimentală 1979 /43/;

10. Sistem de CA pentru avans la mașina de găurit GP45-NC/AC - instalație experimentală 1981 /44/, /45/;

11. Sistem de CA pentru viteză de aşchiere la mașini de găurit și centre de prelucrare - instalație experimentală 1981 /39/.

Rezultă că la ora actuală sunt efectuate o serie de cercetări, unele finalizate sub forma de prototipuri omologate industriale fapt care dovedește eficiența economică a acestora. Majoritatea lucrărilor sunt efectuate de către Colectivul de Mașini-Uncel al catedrei T.C.M.- facultatea de Meccanică, I.P. "Traian Vuia" Timișoara, specializat în această direcție dar încep să apară și contribuții ale altor cercetători din țară.

1.4. Factorii care impun introducerea conponzii adaptive la mașina de găurit.

Găurile este una dintre cele mai răspândite operații de prelucrare în domeniul construcțiilor de mașini. După unii autori /70/ între 25,-35% din operații și 30,-40% din totalul de ore-mașină efectuate într-un atelier de mărime mijlocie se referă la prelucrarea găurilor.

Diversitatea găurilor prelucrate este foarte mare atât în ceea ce privește dimensiunea și precizia căt și mai ales în ceea ce privește raportul l/D (l este lungimea orificiului prelucrat, D= diametrul acestuia).

Astăzi la găurile la care $l/D \leq 5$ dar mai ales la găurile adâncă având $l/D > 5$ apar dificultăți tehnologice /6/, /7/, /8/, /70/, /79/, /87/. Aceste dificultăți se referă la următoare aspecte :

- procesul de găurire nu poate fi controlat din exterior decât în mică măsură;

- eliminarea aşchiilor se face cu atât mai dificil ca căt și adâncimea găurii prelucrate crește. Eliminarea aşchiilor poate fi îmbunătățită de formă geometrică a sculci, de modul de circulație a lichidului de răcire unguro etc. /55/, /56/, /68/, /69/, /70/.

- stabilitatea axială a sculei este limitată datorită formei svolte a acesteia fapt care limitează avansul de pătrundere;

- deviația sculei de la axa geometrică poate duce la creșterea momentului de torsion și chiar la ruperea sculei;

- stabilirea unor relații de calcul pentru regimul de aşchierare care să țină cont de toți factorii care influențează procesul prelucrării este dificilă, și chiar dacă să ar putea face, o astfel de relație ar fi destul de inoperantă.

La prelucrarea găurilor adânci având $l/D > 10$ se recurge la procedee de găuri specifice pentru aceste găuri, procedee ce reclamă existența unor scule și mașini-unelte adecvate.

In majoritatea cazurilor însă, industria dispune de mașini de găurit și scule clasice și pentru a rezolva total sau parțial dificultățile tehnologice menționate se poate recurge la comanda adaptivă (CA).

Prin CA la mașina de găurit se rezolvă următoarele aspecte principale :

1. procesul de aşchierare ducă la moment de torsion cît mai constant la burghiu, Aceasta are ca efect micșorarea timbrului de bază prin încărcarea maximă a sculei sau mașinii și reducerea duratelor la pătrunderea și ieșirea burghiului. Tot prin controlul momentului de torsion se asigură evitarea ruperii sculei, sesizarea momentului cînd scula este uzată sau ciobită și trebuie înlocuită;

2. retragerile periodice pentru curățirea de aşchii a burghiului care în majoritate sunt stabilite funcție de cursă sau funcție de timp adică independent de desfășurarea procesului de prelucrare, pot fi comandate în mod rational prin CA. Aceasta reprezintă un avantaj major al utilizării CA. Astfel, în cazul prelucrării cu burghie elicoidale normale (STAS 8157-79; 6727/76), este necesară retragerea periodică pentru curățirea de aşchii. Această retragere se executa funcție de cursă căcum este prezentat în figura 1.1. a /70/. Aceasta crează tempi auxiliari considerabil de mari. Situația se îmbunătățește dacă se dispune de burghie elicoidale cu canale lată, numărul retragerilor periodice se micșorează (eliminarea aşchilor fiind mai favorabilă) ca în figura 1.1.b. Prin CA retragerile periodice se stabilesc atunci cînd prelucrarea devine ineficientă (avansul reglat mai mic decât o valoare admisă).

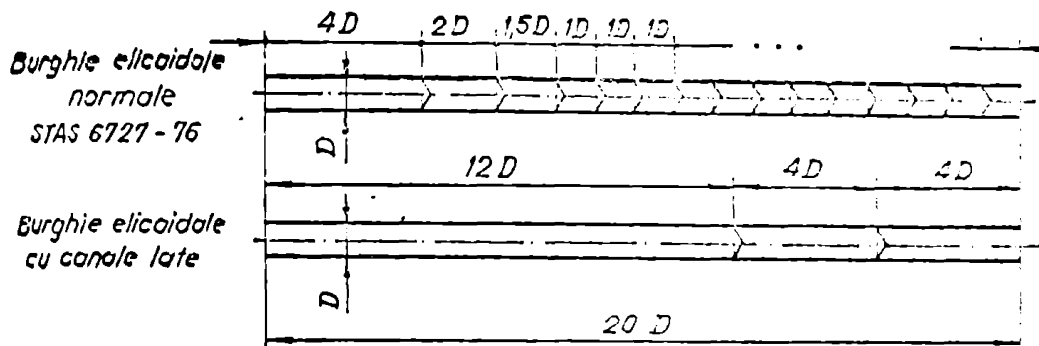


Fig.1.1. Frecvența curselor de retragere

In felul acesta momentul retragerii, și numărul retragerilor se stabilește optim al micorindu-se cîntîr numărul total de retrageri periodice. După unii autori, reducerea numărului retragerilor periodice poate ajunge la 40, /60/, /79/, /81/, /82/ și prin aceasta micorindu-se sensibil timpul cumidurii:

3. se asigură protecția mașinii (al lanțului axial al arborului principal) și al sistemului de avans al sculei, prin controlul permanent al forței axiale și realizarea retragerii sculei dacă forța axială efectivă depășește forță axială admisă;

4. evitarea flambajului burghiului prin stabilirea forței axiale (respectiv a momentului de torciune) la care să se asigure integritatea sculei;

5. se pot lua în considerare factorii întâmplători care influențează procesul prelucrării (de ex. neconogenități de material, variații de frecare dintre așchii, canalul burghiului și piesă etc);

6. prin combinarea CA cu CN la mașini de găurit se poate renunța parțial sau total la introducerea regimului în programul mașinii ceea ce conduce la economii în întocmirea programului.

Prin realizarea CA a avansului se căută rezolvarea aspectelor prezentate mai sus și creșterea eficienței procesului de găuri.

2. STADIUL ACTUAL AL COMENZII ADAPTIVE LA MASINA DE GURIT

2.1. Probleme generale

Comanda adaptivă la mașinile de găurit este un domeniu relativ nou de cercetare primale referiri sănt remarcate în anul 1967. Așa cum se prezintă în /6/, /7/, /8/, /9/, /19/, /21/, /31/, /58/, /59/, etc. la ora actuală puține mașini de găurit sănt dotate cu astfel de sisteme de conducere a procesului de agăchiere. Majoritatea cercetărilor prezentate în literatura de specialitate /7/, /19/, /58/, /59/, /79/, /80/, /81/ se află în stadiul experimentărilor de laborator, deci ca realizări a unor modele experimentale.

Utilizarea crescindă a mașinilor de găurit cu comenzi numerice a stimulat cercetările pentru folosirea comenzi adaptive, aceasta beneficiind de dezvoltarea tehnicii electronice moderne. Prin comanda adaptivă se realizează o protecție mai bună a sculei, a mașinii-anelte și o creștere importantă a capacitatei de producție a acestia prin realizarea unui regim de agăchiere avantajos. Dezvoltarea comenzi adaptive s-a făcut și pentru unitățile de lucru pentru găurire adâncă, la care aceasta se dovedește mai eficientă /58/, /59/, /70/, /79/, /80/, /91/. Complexitatea procesului prelucrării la găurirea adâncă și insuficiența cunoașterei a factorilor ce influențează prelucrarea precum și a interdependenței acestora, fac ca răspîndirea comenzi adaptive la mașini de găurit să nu fie încă prea mare. Este necesară stabilirea unor algoritmuri convenabile care să nu conduce la sisteme de comenzi adaptive de complexitate prea mare, costisitoare și puțin fiabile. Se remarcă, la unele sisteme prezentate în literatură, chiar unele abateri de la rezolvarea corectă a unui algoritm, și aceasta în dorința de a simplifica cît mai mult sistemul.

Majoritatea cercetărilor din domeniul comenzi adaptive la găurire sănt de părere că conducerea procesului de prelucrare trebuie să se bazeze pe măsurarea și stabilizarea momentului de torsion la burghiu, motiv pentru care aproape toate lucrările cunoscute pînă în prezent, îl admit ca mărimă controlată

și modifică unul sau mai mulți parametrii ai regimului de operație în funcție de moment.

Se remarcă faptul că la unele mașini de găurit se utilizează numai sisteme de supraveghere automată a stării sculei (uzură sau rupere) /96/ ceea ce constituie o parte a unui sistem de comandă adaptivă beneficiind de sisteme de măsurare a forței și momentului din proces și de un algoritm de comparare a acestora cu valorile de referință.

2.2. Sistem de comandă adaptivă a avansului pentru o unitate de găurire

Sistemul prezentat în /19/ este realizat pentru o unitate de găurire în vederea prelucrărilor orificiilor de diametru mic (3-5 mm). Schema bloc a comenzii adaptive este prezentată în figura 2.1. iar schema hidraulică corespunzătoare în figura 2.2.

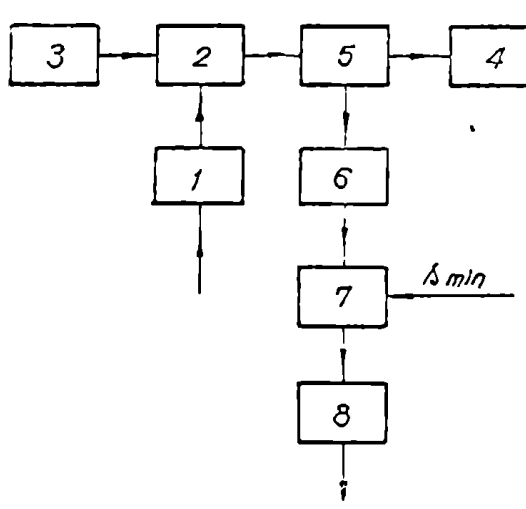


Fig.2.1. Sistem de CA pentru o unitate de găurire

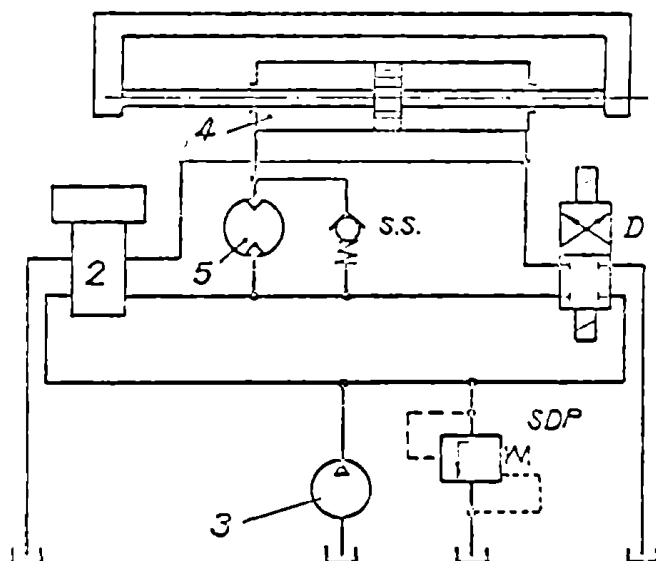


Fig.2.2. Schema hidraulică a sistemului de CA.

Semnalul despre desfășurarea procesului de lucru este introdus în amplificatorul 1. Semnalul amplificat se utilizează la comanda amplificatorului electrohidraulic 2. Acesta este elimentat cu un debit de ulei de la pompa cu debit constant 3. Debitul de ulei reglat de către amplificatorul electrohidraulic 2 este trecut și prin hidromotorul rotativ 5 care este montat în serie cu conducta de alimentare a hidromotorului liniar 4.

Rolul hidromotorului rotativ 5 este de debitmetru, respectiv de a antrena tohogeneratorul 6 cu o turatie proportionala cu debitul transmis ctre hidromotorul de actionare 4. Hidromotorul 4 va avea o viteza, respectiv va realiza un avans, dependent de debitul pe care il primeste. Dacă avansul din procesul de prelucrare se scade sub o valoare minima impusă s_{min} atunci elementul de comparare 7, (care compară avansul curent din procesul prelucrării s_c cu avansul s_{min}) va comanda blocul de comandă al ciclului de lucru 8 și se va realiza retragerea burghiului pentru curățirea de aşchii, apoi prelucrarea refincepe. Schema hidrostatică de actionare asigură avans rapid la pinolă (prin 2), avans de lucru și retragere rapida (atât prin 2 cât și prin acțiunea hidromotorului rotativ datorită distribitorului 9 și a supapei de sens S S.

Pentru acest sistem literatura nu prezintă cum se face conducerea procesului de prelucrare adică cîte determină mărimea de intrare din amplificatorul 1, cum se măsoară momentul de torsiune sau forța axială din procesul prelucrării etc.

2.3. Sistem cu stabilizare automată a momentului de torsiune pentru găuri adâncă.

Sistemul /8/,/91/ este destinat prelucrării orificiilor de diametru mic (3 - 5 mm) fiind adaptat unei unități de lucru (agregat monoax). Schema de principiu a agregatului este prezentată în figura 2.3.

In vederea măsurării momentului de torsiune din procesul prelucrării se folosește o construcție dinamometrică pentru momentul de reacție al carcaserii motorului. Motorul electric pentru antrenarea burghiului 2 are statorul 4 lărguit față de carcasa agregatului 3. Intre stator și carcăsu există cercul spiral 5, având momentul de torsiune comparabil cu momentul de torsiune din procesul prelucrării.

Solidar cu statorul este și sortorul 6 și unui drovol 7 de construcție specială. Statorul motorului 4 poate executa o rotație pe un anumit unghi cu limitare mecanică.

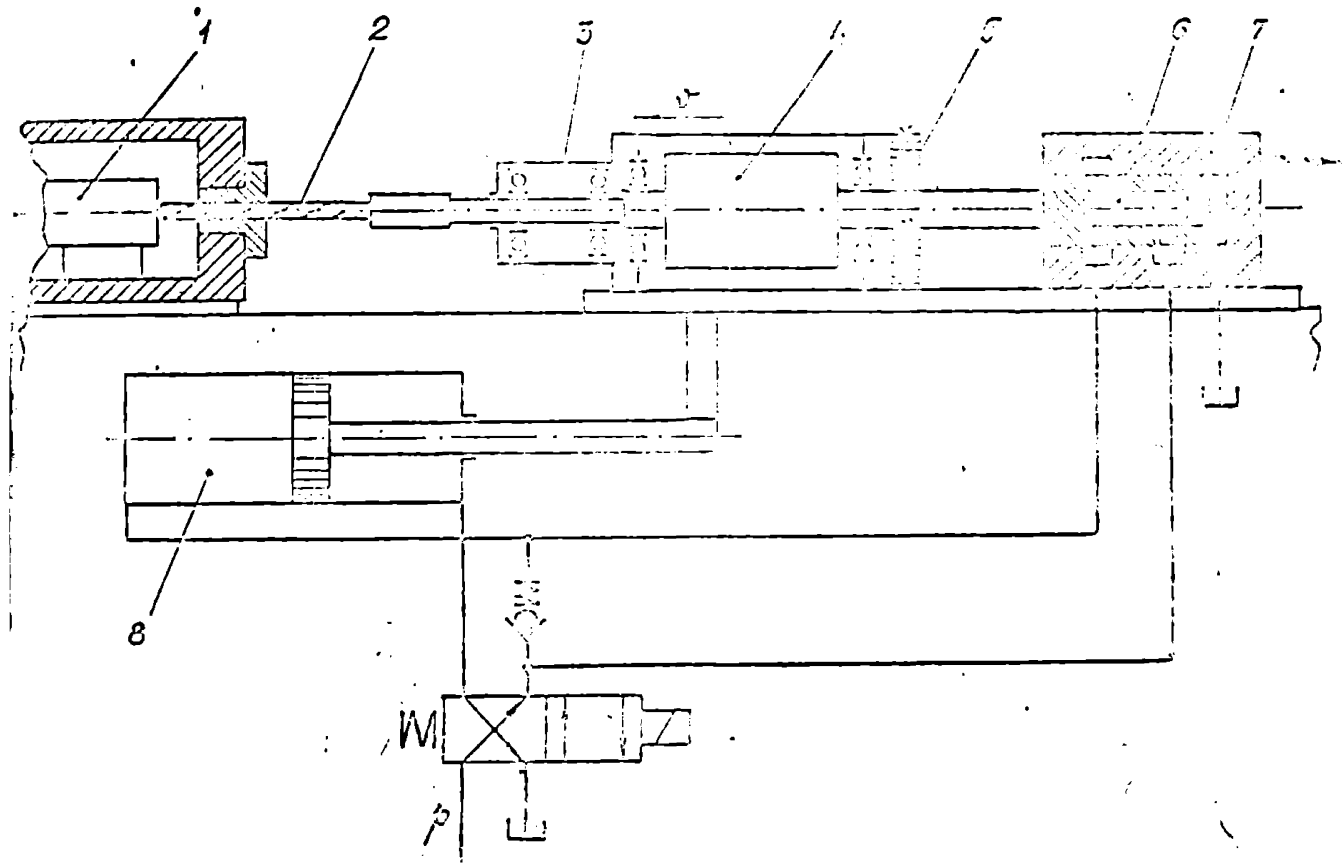


Fig. 2.3. Sistem de CA pentru un agregat de găurire adâncă.

In timpul prelucrării momentul de torsiune la burghiu M_{tb} este echilibrat, prin rotația corespunzătoare a statorului 4 și tensionarea arcului 5, de către momentul de torsiune al arcului M_{ta} , stabilindu-se un echilibru între acestea pentru o anumită poziție unghiulară a statorului. Această poziție, pe care o urmărește și sertarul 6, definește un anumit debit de ulei ce străbate droselul 7, respectiv este transmis spre hidromotorul liniar 8, având tija solidară cu unia unității de lucru, realizându-se un anumit avans.

Dacă există tendință modificării momentului de torsiune M_{tb} se modifică implicit și poziția lui 4, respectiv 6 și deci debitul, fapt ce are ca și consecință modificarea avansului la burghiu.

In felul acesta la creșterea momentului de torsiune M_{tb} se produce scăderea avansului și invers.

In locul droselului poate fi acționat un potențiometru care să transforme rotația statorului într-un semnal electric care să comande o acționare electrică pentru modificarea avansului.

Din descrierea sistemului se observă că momentul de torsion M_{tb} nu se păstrează perfect constant în timpul prelucrării. Construcția dinamometrică cu arc, care permite rotirea statorului în timpul prelucrării, este de consecință dezavantajosă din punct de vedere al stabilității procesului de agăchiere.

Sistemul nu este prevăzut cu posibilitatea retragerii periodice pentru curățirea de agăchii atunci cînd avansul este atât de mic încât prelucrarea devine neoconomică. Toate acestea reprezintă dezavantaje ale sistemului prezentat.

Sisteme similare s-au realizat și pentru agregate cu mai mulți arbori principali /6/,/8o/. În figura 2.4 este prezentată schema pentru un agregat cu trei arbori. În acest caz schimbarea avansului se realizează prin comanda drosoului SU de către pîrghia de comandă . Sistemul de măsură al momentului de torsion, individualizat pentru fiecare arbore principal, are construcție similară celui prezentat în figura 2.3.

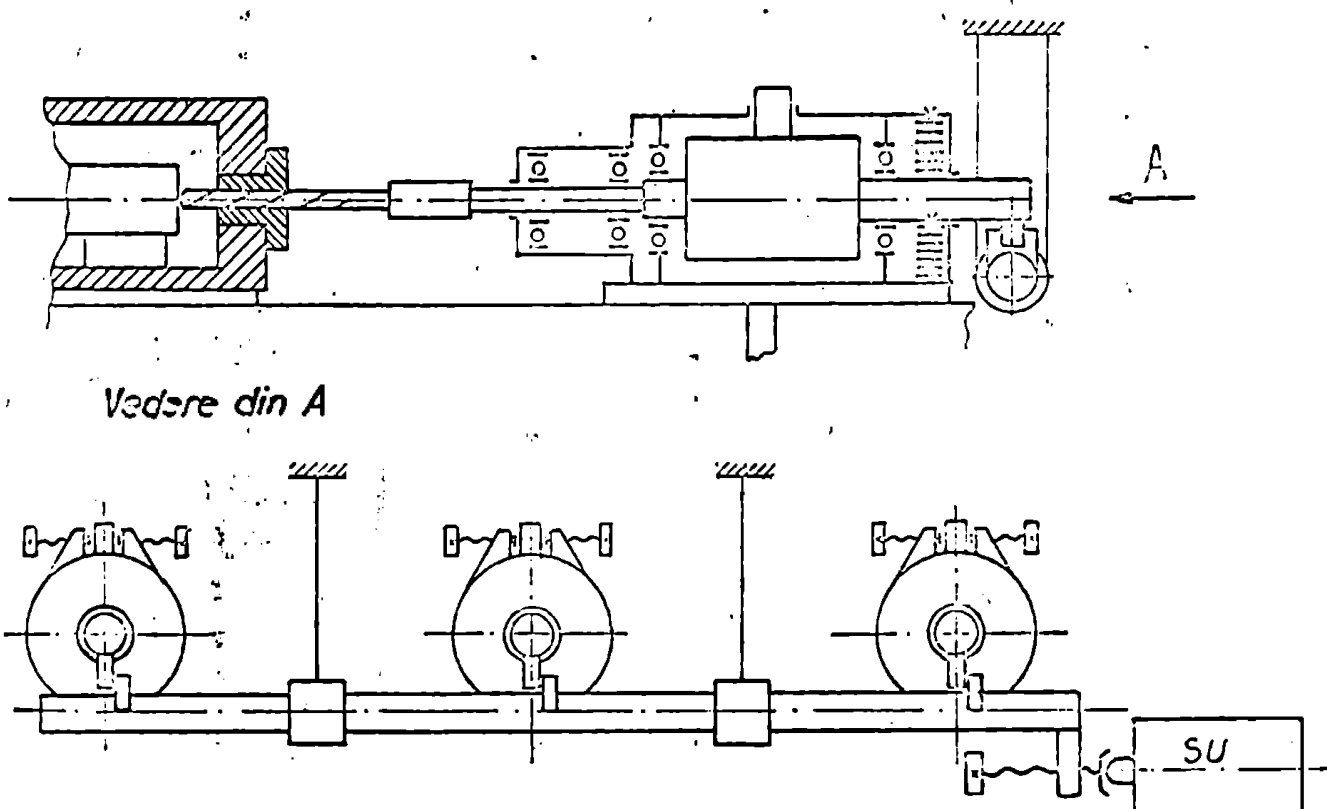


Fig.2.4. Sistem de CA pentru un agregat multiax.

Prin construcția aceasta se asigură comanda avansului funcție de momentul de torsiu al celui mai solicitat burghiu. Avansul este redus concomitent pentru toate burghiele. Schema hidrostatistică a acționării de avans este prezentată în figura 2.5.

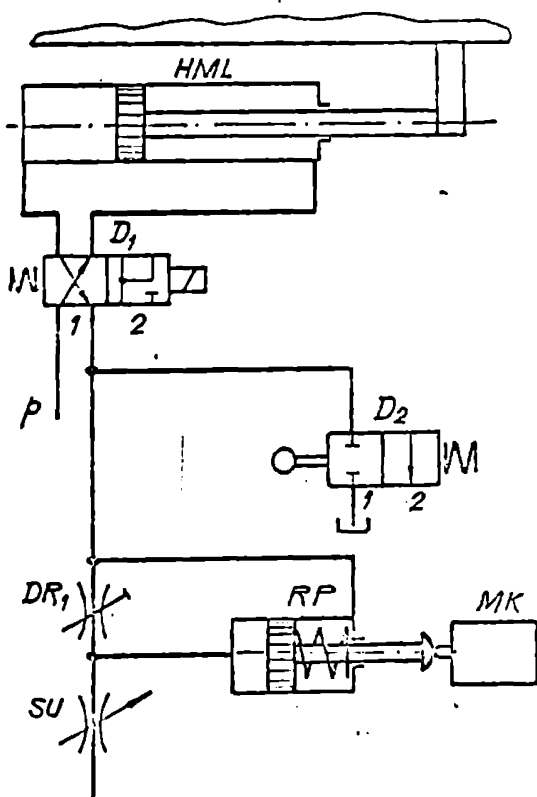


Fig. 2.5. Schema hidraulică a CA a agregatului multiax.

SU funcție de momentul de torsiu din procesul de prelucrare.

Retragerile periodice se stabilesc funcție de avansul minim admis, prin aceasta existând grupul compus din drozelul DR₁ și releul de presiune RP cu comutatorul de cursă MK. Dacă debitul prin DR₁ scade sub o anumită valoare, care corespunde avansului minim admis, căderea de presiune pe acesta scade sub valoarea de comutare al RP și comutatorul MK comandă retragerea burghiului prin curățire prin comanda distribuitorului D₁.

Sistemul are dezvantajele precizate anterior, mai puțin realizarea retragerilor periodice. Cu toate acestea se afirmă că prin acest mod de conducere a procesului de zăchire s-a reușit să se crească capacitatea productivă a prelucrării de cca 2 ori concomitent cu creșterea preciziei de prelucrare și evitarea ruperii burghielor.

Ciclul de lucru care poate fi realizat este compus din apropiere rapidă, avans de lucru variabil și retrageri periodice pentru curățirea burghiului de zăchii pînă la terminarea prelucrării. Pentru apropiere rapidă, fluidul provenind de la pompă este introdus în cavitatea mică a hidromotorului linear de avans HML, prin intermediul distribuitorului D₁. Fluidul din cavitatea mare a HML este trecut la rezervor prin D₁ și D₂ (poziția 2) scurt-circuitează drozellele DR₁ și SU. Un limitator de cursă mecanic comandă trecerea lui D₂ pe poziția 1 atunci când burghiul se află în vecinătatea piesei de prelucrat și se trage pe avansul de lucru comandat de.

2.4. Instalație experimentală pentru găurire adâncă.

Instalația experimentală /6/, /79/ a fost adaptată unui strung în arborele căruia a fost fixată picioara de prelucrat 1 (fig. 2.6) iar pe căruciorul strungului a fost amplasată acțiunea principală a burghiului.

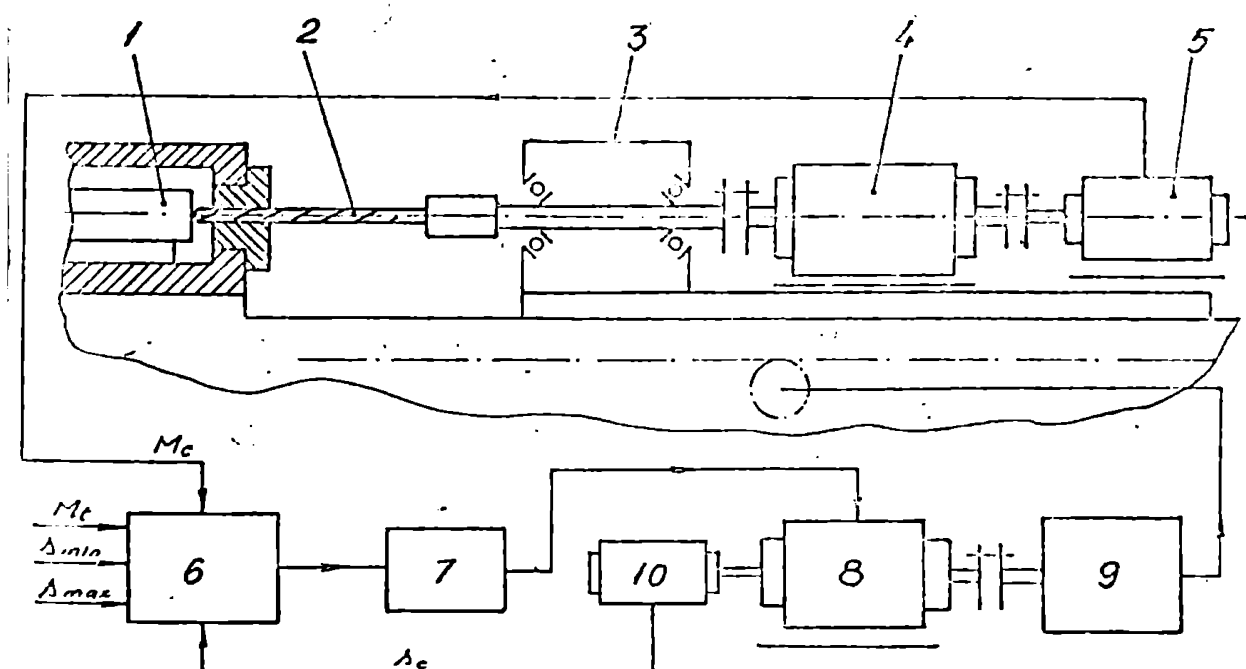


Fig. 2.6. Sistem de CA pentru găurire adâncă.

Momentul de torsion la burghiul 2 se determină prin modificarea turăției electromotorului asincron trifazat 4, funcție de încărcare. Pentru aceasta se utilizează un tachogenerator 5 cuplat cinematic cu 4.

Blocul mărimilor de referință și de comparație 6 compară momentul de torsion la burghiul M_{tb} cu momentul de torsion de referință M_{tr} și funcția de rezultatul comparării se comandă amplificatorul magnetic 7 și respectiv electromotorul 8 de curent continuu pentru mișcarea de avans care prin intermediul reductorului 9 acționează căruciorul strungului. Turăția caleutorului 8, proporțională cu avansul curent s_c , este măsurată de către tachogeneratorul 10. În blocul 6 se compară s_c cu avansul minim admis și funcția de rezultatul comparării se decide continuarea procesului de prelucrare sau oprirea acestuia.

și retragerea burghiului pentru curățire de așchii.

Ciclul de lucru al instalației cuprinde fazele de apropiere cu avans maxim programat s_{max} , avans de lucru (variabil) pînă la atingerea valorii s_{min} , retragere rapidă pentru curățirea burghiului de așchii și rolarea prelucrării pînă la finalul prelucrării orificiului.

Sistemul are funcții multiple, este avantajos, dar este realizat pentru o singură turătie de antrenare a burghiului, ceea ce limităză foarte mult domeniul diametrelor burghiilor, care pot fi utilizate astfel încît viteza economică de așchierie să se păstreze între limite acceptabile.

2.5. Sisteme de comandă adaptivă pentru prelucrarea găuriilor adânci

Eficiența comenzi adaptive la găuri este mai ridicată în cazul prelucrării găuriilor adânci. Din acestă cauză majoritatea încercărilor s-au făcut pentru acest gen de prelucrări.

Sistemul prezentat în /50/ se referă la prelucrarea găuriilor având $L=10.000$ mm și $d=80$ mm. Conducerea procesului de așchierie s-a realizat pe baza informațiilor despre forță axială și variația acesteia în timpul prelucrării.

Comanda adaptivă caută să mențină forță axială constantă (stabilizarea forței axiale) la încărcarea maximă a mașinii, prin modificarea avansului, și să mențină oscilațiile maxime ale forței axiale din procesul prelucrării sub o limită admisibilă, nepericulouă pentru integritatea sculci, pe baza modificării vitezei de așchierie.

Sistemul a fost instalat pe o mașină orizontală de găuri adânc și are scheme bloc prezentate în figura 2.7.

În blocul mărimilor de referință EMR sunt introduse: valoarea avansului inițial s_0 [mm/min]; valoarea vitezei de așchierie inițiale, v_0 [m/min] și mărimea amplitudinii maxime admisibile A_m a oscilațiilor forței axiale de așchierie F_a .

Măsurarea forței axiale din proces se face cu ajutorul unor tructoare magnetooelastici sau tensometri rezistivi TP_a amplificate în suportul sculci.

Pentru fază de reglaj a mașinii, semnalul U_{P_0} servește

și ca mărimi de referință pentru blocul de prescriere a forței axiale BPF_a . După terminarea reglajului legătura dintre TF_a și BPF_a încetează, iar BPF_a furnizează în continuare valoarea pentru forță axială de referință U_{Far} .

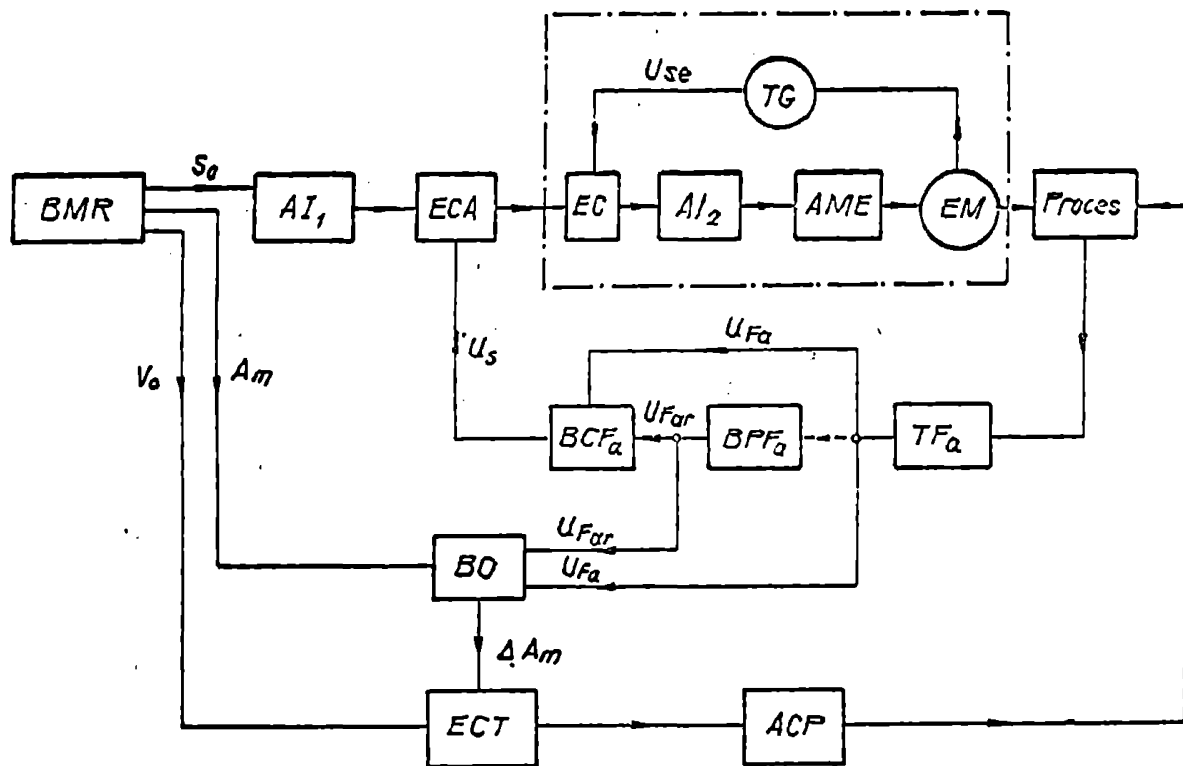


Fig.2.7. Sistem de CA pentru o magină de găurit adânc.

In procesul de prelucrare semnalul U_{Fa} este transmis concomitent blocurilor comparatoare BCF_a (pentru forță F_a și BO (pentru oscilațiile forței F_a). Blocul BCF_a compară forță axială din proces U_{Fa} cu forță axială din referință U_{Far} și funcție de rezultatul comparării ΔU_{Fa} emite un semnal U_s . Astfel dacă

$$\Delta U_{Fa} = U_{Fa} - U_{Far} \begin{cases} > 0 & \text{o semnalul } U_s \text{ scade, micșorindu-se avansul;} \\ = 0 & \text{o semnalul } U_s \text{ - o măsură constantă avansul;} \\ < 0 & \text{o semnalul } U_s \text{ crește mărind avansul.} \end{cases}$$

Avansul se modifică prin blocul de comandă al avansului ECA în sensul menținerii cât mai constante a valorii forței axiale F_a .

Elementul de reglare a avansului este constituit din

515.3084

amplificatorul intermedier AI₂ și acționarea motorului AME. Turăția electromotorului EM și deci avansul efectiv realizat este măsurată cu tachogeneratorul TG. Semnalul emis de TG (U_{se}) este comparat cu semnalul despre avansul necesar U_g în elementul de comparație a avansurilor EC, modificându-se avansul efectiv realizat în sensul corespondenței cu cel necesar.

Blocul BO compară semnalul despre amplitudinea maximă admisă a oscilațiilor forței axiale A_m , prescrisă prin BMR cu amplitudinea oscilațiilor forței axiale din proces A_{me} . Valoarea A_{me} se stabilește prin :

$$A_{me} = U_{Fa} - U_{Far}$$

și deci BO emite un semnal ΔA_m

$$\Delta A_m = A_m - A_{me}$$

funcție de care se ia o decizie în ceea ce privește modificația vitezei (turăției) de aschieri și anume :

$$\Delta A_m \begin{cases} \geq 0 & \text{turăția se păstrează nemodificată;} \\ < 0 & \text{turăția se modifică pentru micșorarea oscilațiilor.} \end{cases}$$

Turăția se modifică prin blocul de comandă al turăției RCT care comandă acționarea principală ACP.

Fără utilizarea acestui sistem de comandă, variațiile forței axiale și ale avansului pentru o modificare sinusoidală a nărimii perturbatoare γ sunt prezentate în figura 2.8.

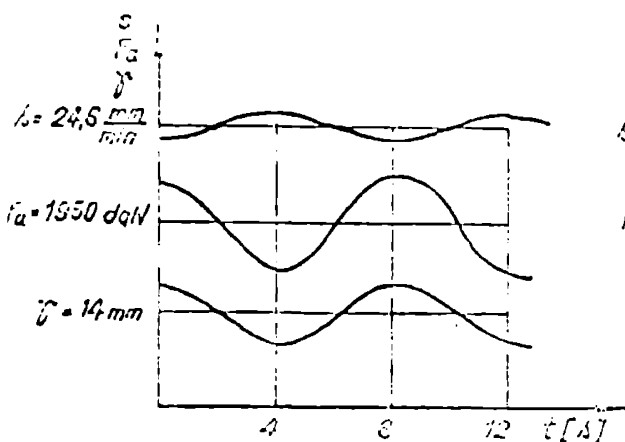


Fig. 2.8. Variatia forței axiale și a avansului fără CA

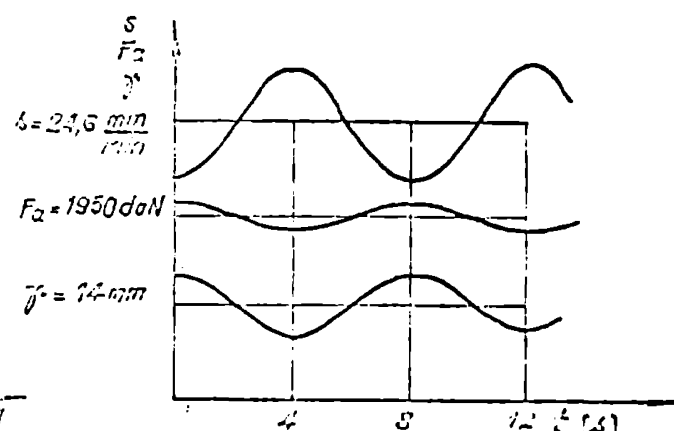


Fig. 2.9. Variatia forței axiale și a avansului cu CA

Variatiile acelorasi mărimi obținute prin utilizarea sistemului de comandă adaptivă descris său prezentate în figura 8.9.

Să observăm că în liniile comenzi adaptivă evansul se păstrează relativ constant (în limitele dependenței turășiciei de mărime, a motorului acționării de avans) existând variații ușorabile ale forței de acțiune. În cazul folosirii comenzi adaptivă evansul se modifică corespunzător pentru menținerea forței axiale cît mai constante.

Sistemul este complex și conform /5c/ asigură creșterea capacitatii de producție de cca 2 ori, obținând dimensiunile de micșorare de 2...4 ori iar amplitudinea oscilațiilor forței axiale se reduce de cca 3 ori conducând la o durată de serviciu a sculei sensibilă mărită.

Acest sistem este singurul găsit în literatura de specialitate la care conducedea procesul de prelucrare se bazează în excluderă pe măsurarea forței axiale. Sistemul nu este prevăzut cu sisteme de retragere periodică fiind conceput special pentru o mașină de găurit adânc, care utilizează scule și sisteme adecvate eliminării continue a aşchiilor.

Un alt sistem de comandă adaptivă pentru prelucrarea găurilor adânci, dar folosind burghie cu geometrie normală, este prezentat în /9/,/58/.

O schema bloc a sistemului este prezentată în figura 8.10.

Mărurile limitative : momentul de torsiune maxim admis la aşchiere M_{tmax} , momentul de aşchiere maxim pentru perioada de pătrundere M_{tpmax} ; evansul minim s_{min} și viteza de aşchiere minimă v_{min} , se introduc în blocul mărimilor de referință BMI.

Mărurile inițiale : evansul de pătrundere s_p , viteza de aşchiere în perioada pătrunderii v_p și momentul de torsiune de referință M_{tr} se introduc în blocul mărimilor inițiale BMI.

Pătrunderea sculei (regimul tranzitoriu) se comandă din intermediul blocului BMI care precizează valorile evansului de pătrundere s_p și a vitezei în timpul pătrunderii v_p . Regimul tranzitoriu se închide cînd momentul de torsiune

din proces M_t^1 devine egal M_{tr} și coto comandat blocul de comandă a ciclului CC. În continuare avansul este stabilit funcție de rezultatul comparării M_t cu M_{tr} de către blocul de comandă al avansului BCA și acționarea de avans CA.

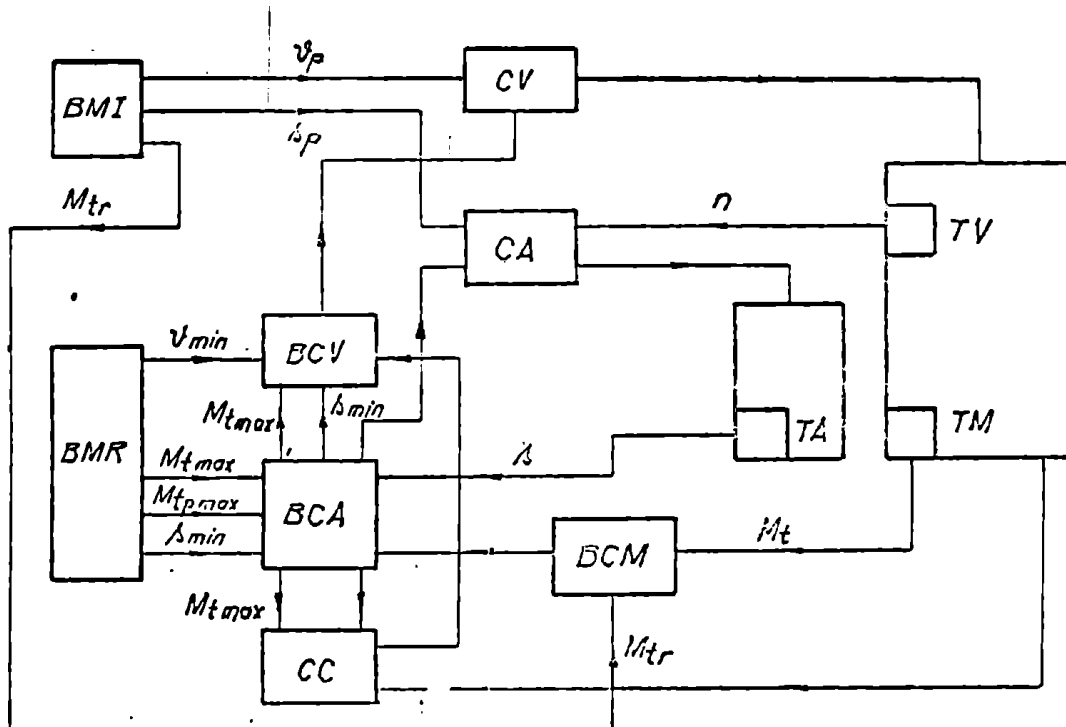


Fig. 2.10. Schema bloc a unui sistem CA pentru găurire adâncă

Datoroare turației la oculă se modifică pe măsura creșterii adâncimii prelucrate după un program prestabilit (pe principiul registrului de deplasare în clemente logice) este necesară și schimbarea vitezelor de avans pentru ca avansul exprimat în mm/rot să rămână același. Pentru aceasta CA primește informație despre turația n a arborelui principal de la traductorul TV (tahogeneratorul pentru mișcarea principală).

Mărurile limitative M_{tmax} , M_{tpmax} servesc la comanda ciclului. Dacă M_t este mai mare decât acesta blocul CC oprește avansul. Valoarea s_{min} se compară cu avansul din proces s și cind $s_{min} \leq s$ se comandă CC pentru retrageri periodice în vederea curățirii burghiului de aşchii, apoi prelucrarea continuă.

Sistemul dispune de o compunere adăvătată realizării unor cicluri complete de lucru la găurire (cu retrageri periodice) și este printre cele mai complexe prezentate în literatura de specialitate.

In ultimii ani (1981-84) au apărut cîteva mașini de găurit cu comenzi adaptive dar asupra cărora s-au dat foarte puține informații.

Se amintesc, mașina de găurit pentru găuri mici cu CA de optimizare a firmei Black and Decker - USA, /97/ ce dispune de o actionare principală electrică cu motor de curent continuu și reglaj electronic al turăției.

Cădăto inițial se introduc : diametrul burghiului, lungimea găurii, felul materialului de prelucrat și avansul initial. Se realizează reînlarea turăției arborelui principal.

Mașina vizualizează momentul în care este necesară scoaterea burghiului din găuri pentru curățire de zgâchii.

Sistemul CA la găurire al firmei Makino Milling Machine Co Ltd Tokio în colaborare cu Fujitsu Fanuc Ltd Tokio /64/.

Sistemul este montat pe un centru de prelucrare tip NCC 100 AC.

Se măsoară momentul de torsiune din proces. Cădăto inițial se dau diametrul sculei, momentul de torsiune optim și durabilitatea sculei. Se reglează avansul din 0,5 în 0,5 s comparindu-se momentul de torsiune din proces cu cel optim și calculindu-se un coeficient de corecție al avansului.

Dezavantajul major, datorită căruia sistemul nu s-a impus este dificultatea stabilirii momentului de torsiune optim, care este lăsat în sarcina utilizatorului.

2.6. Sisteme pentru supravegherea stării burghiului.

In ceea ce privește sistemele de supraveghere a uzurii și ruperii sculelor se remarcă sistemul firmei DIAG Fritz Werner Berlin /48/.

Sistemul este parțial adaptiv dar mai simplu și mai ieftin. Să obține doar o avertizare asupra necesității schimbării sculei uzate sau rupte.

Sistemul dispune de un automat programabil care nu necesită programarea forței sau momentului, ci analizează modificarea în timp a acestora față de valorile inițiale și ia o decizie corespunzătoare. Frequent, ca mărimi controlată se admite forța axială (care este mai ușor de determinat în

proces) a cărei variație în timp poate fi ca cea prezentată în figura 2.11 /39/. Sunt evidențiate următoarele praguri :

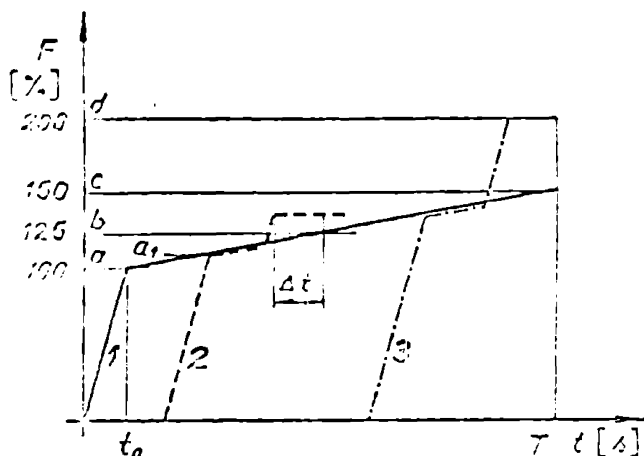


Fig.2.11. Variația forței axiale în timp

- a - forță de referință la începutul procesului (sculă nou ascuțită);
- b - forță corespunzătoare crăpătării microrupturilor $b = 1,25 a$;
- c - forță corespunzătoare uzurii evenește. $c=1,5 a$

In afară de acestea se mai pot lua în considerare pragurile:

- a₁ - forță de referință la sculă parțial usată
- d - forță corespunzătoare ruperei sculci ($d=2a$)

Variațiile forței axiale din proces pentru cazurile :

- 1 - uzură normală
- 2 - apariția microrupturilor
- 3 - ruperea totală

sunt prezentate în figura 2.11 prin curbele 1,2 și respectiv 3

Diagramele sunt valabile pentru cazul producării cu avans constant. Valoarea a este multiplicată cu 1,25 și 1,5. Valorile respective sunt memorate devinând valori de referință pentru forță axială.

Se compară valoarea din proces cu valorile de referință pentru un anumit timp Δt pentru cazurile 1 și 2 și se semnalizează depășirile.

In cazul 3 se oprește imediat evansul.

Principalul avantaj al sistemului este că nu necesită calcule sau alt sistem de programare a valorilor de referință, acestea luându-se chiar din proces.

Sistemele sunt relativ simple, ieftine și eficiente deși nu rezolvă problema de bază a CA.

Sisteme similare sunt prezentate în /51/,/105/.

2.7. Concluzii

Din cele prezentate rezultă că pe plan mondial și la noi în țară, se desfășoară o serie de corectări pentru realizarea unor comenzi adaptive la mașini de găurit. Majoritatea sistemelor utilizează ca mărimi controlată momentul de torsion la burghiu care se compară în permanentă cu momentul de torsion din proces. Funcție de rezultatul comparării se comandă în special avansul și mai rar viteza de așchiere. Sistemele prezentate în paragrafele 2.2; 2.3; 2.4, sunt modele experimentale iar cele din 2.5, sunt realizate și sub forma unor mașini fabricate curent și existente pe piața mondială.

In general se tratează puțin modul de realizare a retro-echierilor periodice și a limitării avansului la pătrunderea burghiului cind momentul de torsion este mic în comparație cu momentul de referință.

Se remarcă realizarea sub formă industrială a unor sisteme de supraveghere a stării sculelor (particul adaptive). Aceste sisteme sunt mai simple, se realizează la prețuri mai reduse și echipează în special mașinile cu CN. Un astfel de sistem a fost omologat și la noi în țară /96/, conducătorul științific, subsemnatul împreună cu ing. Ganea M. de la ICSIT-Titan fil. Oradea și ing. Köleg J. de la I.P.T.V.T, fiind de fapt autorii realizării acestuia în variantă industrială.

Utilizarea în viitor a microprocesoarelor va putea contribui la realizarea de comenzi adaptive la prețuri acceptabile.

Cerințele pe care trebuie să le îndeplinească o mașină de găurit în vederea instalării unei comenzi adaptive sunt:

- Să dispună de acționare continuă cel puțin pentru mișcarea de avans, pentru o servocomandă mai simplă a verigii reglabilă;

- Să dispună de componente pentru măsurarea momentului de torsion, a forței axiale și eventual a avansului, a turării, a puterii de așchiere etc. și indiscutabil fără efectarea sensibilă a rigidității mașinii;

- Să dispună de sisteme de ghidare precise, construcție rigidă etc.

In fine, se remarcă faptul, că la ora actuală nu s-au impus pe piață mașini cu comenzi adaptive având algoritme de optimizare complicate atât datorită dificultăților de stabilire a unor asemenea algoritme, cît și din cauza costurilor ridicate încă, impuse de partea de calcul.

3. REGIMUL DE ASCHIERE LA GAURIRE

3.1. Analiza metodelor actuale de stabilire a parametrilor regimului de aşchiere la găurire.

Pentru determinarea parametrilor regimului de aşchiere la găurire se stabilesc conform /65/,/69/, tipul sculei aşchietoare, adîncimea de aşchiere, avansul pe rotaţie sau avansul pe dintă s_d , viteza de aşchiere v , forţele şi momentele ce apar în procesul prelucrării şi puterea necesară. La stabilirea tipului scului o deosebită importanţă o are diametrul orificiului de prelucrat D precum şi raportul l/D în care l este adîncimea orificiului de prelucrat. Recomandările /70/ prezентate în figura 3.1 şi 3.2 indică domeniile de utilizare şi limitele diferitelor procedee.

Din figuri se observă că majoritatea prelucrărilor uzuale având diametre între $0,063 - 100$ mm şi raportul l/D_{max} $10...25$ se pot realiza cu burghie elicoidale normale sau speciale. Din această cauză se va face o analiză a modalităţilor de stabilire a regimului la prelucrarea cu astfel de burghie.

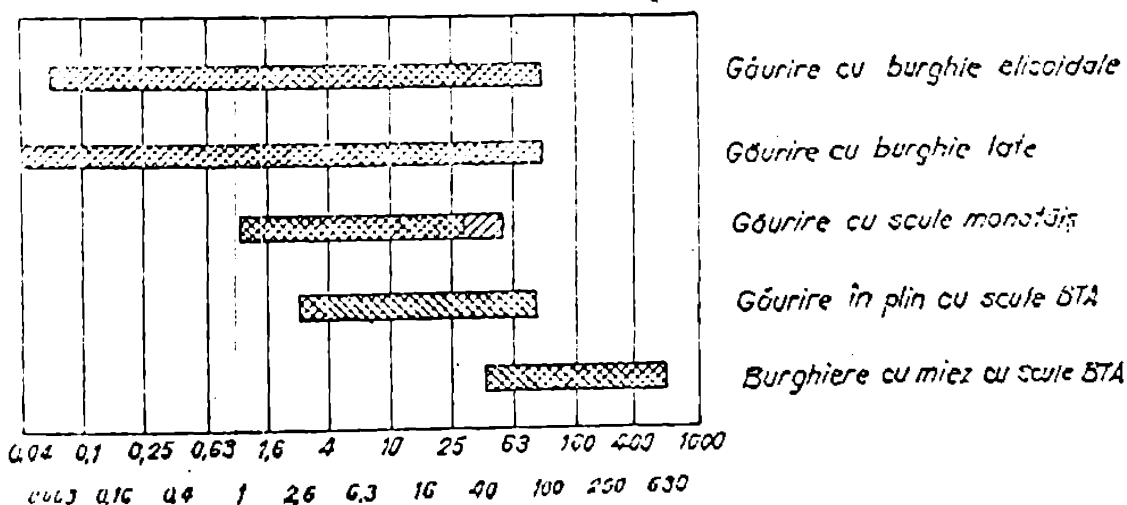


Fig.3.1. Domenii de utilizare a procedeelor de găurire funcţie de diametru.

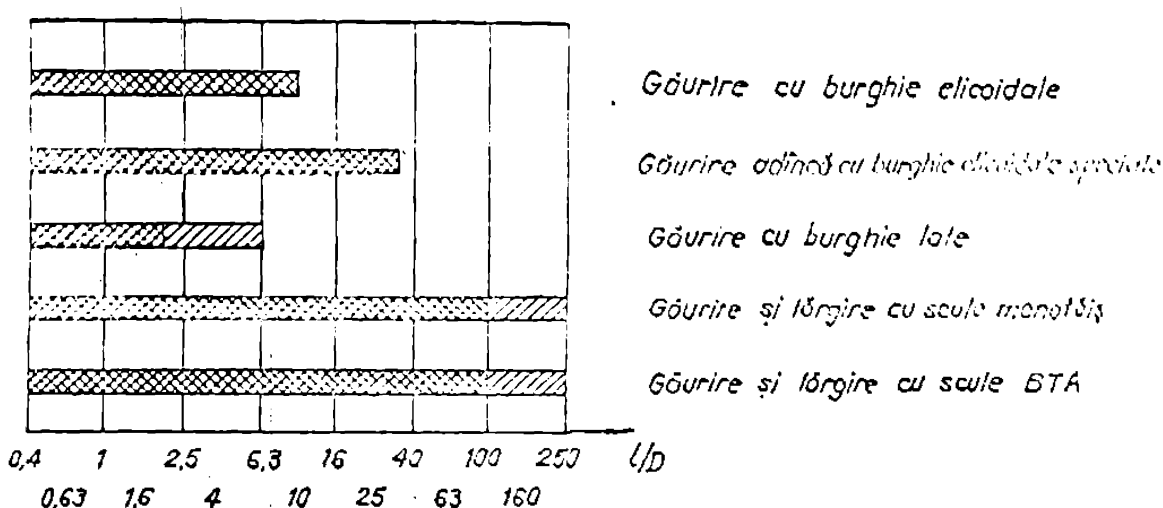


Fig. 3.2. Domenii de utilizare a procedeeelor de găurire funcție de raportul l/D.

3.1.1. Regimul de aschicare la găurile cu burghie elicoidale

Avansul la găurile se poate stabili funcție de:

- a - calitatea suprafeței și precizia găurii prelucrate;
- b - rezistența burghiului;
- c - rigiditatea sistemului tehnologic elastic al mașinii-unclte - dispozitiv - sculă - piesă;
- d - rezistența mecanismului de avans, al legăturilor arborului principal etc.

Cel mai frecvent se adoptă cazul a, în această situație avansul se determină /65/ cu o relație de forma :

$$s = K_s \cdot C_s \cdot D^{0,6} \text{ [mm/rot]} \quad (3.1)$$

În care:

K_s este un coeficient de corecție funcție de adâncimea găurii (pentru $l > 3D$)

C_s - coeficientul de avans ce depinde de felul materialului prelucrat și de felul prelucrării.

Aplicând această relație s-va determinat avansurile pentru prelucrarea găurilor în cîteva materiale și condiții de prelucrare. Rezultatul este prezentat în tabelul 3.1. Influența adâncimii găurii prelucrate la stabilirea avansului este prezentată în diagrama din figura 3.3.

Name Art/ Sug. D. mm]	Prezzi di prefabbricati										Prezzi di prefabbricati																																																																																																																																																																																																																																																																																																																																																																																																																																																																																																						
0,01 HB < 160	0,01 HB 160 - 240	0,01 HB 240 - 300	0,01 HB 300 - 360	0,01 HB 360 - 420	0,01 HB 420 - 480	0,01 HB 480 - 540	0,01 HB 540 - 600	0,01 HB 600 - 660	0,01 HB 660 - 720	0,01 HB 720 - 780	0,01 HB 780 - 840	0,01 HB 840 - 900	0,01 HB 900 - 960	0,01 HB 960 - 1020	0,01 HB 1020 - 1080	0,01 HB 1080 - 1140	0,01 HB 1140 - 1200	0,01 HB 1200 - 1260	0,01 HB 1260 - 1320	0,01 HB 1320 - 1380	0,01 HB 1380 - 1440	0,01 HB 1440 - 1500	0,01 HB 1500 - 1560	0,01 HB 1560 - 1620	0,01 HB 1620 - 1680	0,01 HB 1680 - 1740	0,01 HB 1740 - 1800	0,01 HB 1800 - 1860	0,01 HB 1860 - 1920	0,01 HB 1920 - 1980	0,01 HB 1980 - 2040	0,01 HB 2040 - 2100	0,01 HB 2100 - 2160	0,01 HB 2160 - 2220	0,01 HB 2220 - 2280	0,01 HB 2280 - 2340	0,01 HB 2340 - 2400	0,01 HB 2400 - 2460	0,01 HB 2460 - 2520	0,01 HB 2520 - 2580	0,01 HB 2580 - 2640	0,01 HB 2640 - 2700	0,01 HB 2700 - 2760	0,01 HB 2760 - 2820	0,01 HB 2820 - 2880	0,01 HB 2880 - 2940	0,01 HB 2940 - 3000	0,01 HB 3000 - 3060	0,01 HB 3060 - 3120	0,01 HB 3120 - 3180	0,01 HB 3180 - 3240	0,01 HB 3240 - 3300	0,01 HB 3300 - 3360	0,01 HB 3360 - 3420	0,01 HB 3420 - 3480	0,01 HB 3480 - 3540	0,01 HB 3540 - 3600	0,01 HB 3600 - 3660	0,01 HB 3660 - 3720	0,01 HB 3720 - 3780	0,01 HB 3780 - 3840	0,01 HB 3840 - 3900	0,01 HB 3900 - 3960	0,01 HB 3960 - 4020	0,01 HB 4020 - 4080	0,01 HB 4080 - 4140	0,01 HB 4140 - 4200	0,01 HB 4200 - 4260	0,01 HB 4260 - 4320	0,01 HB 4320 - 4380	0,01 HB 4380 - 4440	0,01 HB 4440 - 4500	0,01 HB 4500 - 4560	0,01 HB 4560 - 4620	0,01 HB 4620 - 4680	0,01 HB 4680 - 4740	0,01 HB 4740 - 4800	0,01 HB 4800 - 4860	0,01 HB 4860 - 4920	0,01 HB 4920 - 4980	0,01 HB 4980 - 5040	0,01 HB 5040 - 5100	0,01 HB 5100 - 5160	0,01 HB 5160 - 5220	0,01 HB 5220 - 5280	0,01 HB 5280 - 5340	0,01 HB 5340 - 5400	0,01 HB 5400 - 5460	0,01 HB 5460 - 5520	0,01 HB 5520 - 5580	0,01 HB 5580 - 5640	0,01 HB 5640 - 5700	0,01 HB 5700 - 5760	0,01 HB 5760 - 5820	0,01 HB 5820 - 5880	0,01 HB 5880 - 5940	0,01 HB 5940 - 6000	0,01 HB 6000 - 6060	0,01 HB 6060 - 6120	0,01 HB 6120 - 6180	0,01 HB 6180 - 6240	0,01 HB 6240 - 6300	0,01 HB 6300 - 6360	0,01 HB 6360 - 6420	0,01 HB 6420 - 6480	0,01 HB 6480 - 6540	0,01 HB 6540 - 6600	0,01 HB 6600 - 6660	0,01 HB 6660 - 6720	0,01 HB 6720 - 6780	0,01 HB 6780 - 6840	0,01 HB 6840 - 6900	0,01 HB 6900 - 6960	0,01 HB 6960 - 7020	0,01 HB 7020 - 7080	0,01 HB 7080 - 7140	0,01 HB 7140 - 7200	0,01 HB 7200 - 7260	0,01 HB 7260 - 7320	0,01 HB 7320 - 7380	0,01 HB 7380 - 7440	0,01 HB 7440 - 7500	0,01 HB 7500 - 7560	0,01 HB 7560 - 7620	0,01 HB 7620 - 7680	0,01 HB 7680 - 7740	0,01 HB 7740 - 7800	0,01 HB 7800 - 7860	0,01 HB 7860 - 7920	0,01 HB 7920 - 7980	0,01 HB 7980 - 8040	0,01 HB 8040 - 8100	0,01 HB 8100 - 8160	0,01 HB 8160 - 8220	0,01 HB 8220 - 8280	0,01 HB 8280 - 8340	0,01 HB 8340 - 8400	0,01 HB 8400 - 8460	0,01 HB 8460 - 8520	0,01 HB 8520 - 8580	0,01 HB 8580 - 8640	0,01 HB 8640 - 8700	0,01 HB 8700 - 8760	0,01 HB 8760 - 8820	0,01 HB 8820 - 8880	0,01 HB 8880 - 8940	0,01 HB 8940 - 9000	0,01 HB 9000 - 9060	0,01 HB 9060 - 9120	0,01 HB 9120 - 9180	0,01 HB 9180 - 9240	0,01 HB 9240 - 9300	0,01 HB 9300 - 9360	0,01 HB 9360 - 9420	0,01 HB 9420 - 9480	0,01 HB 9480 - 9540	0,01 HB 9540 - 9600	0,01 HB 9600 - 9660	0,01 HB 9660 - 9720	0,01 HB 9720 - 9780	0,01 HB 9780 - 9840	0,01 HB 9840 - 9900	0,01 HB 9900 - 9960	0,01 HB 9960 - 10020	0,01 HB 10020 - 10080	0,01 HB 10080 - 10140	0,01 HB 10140 - 10200	0,01 HB 10200 - 10260	0,01 HB 10260 - 10320	0,01 HB 10320 - 10380	0,01 HB 10380 - 10440	0,01 HB 10440 - 10500	0,01 HB 10500 - 10560	0,01 HB 10560 - 10620	0,01 HB 10620 - 10680	0,01 HB 10680 - 10740	0,01 HB 10740 - 10800	0,01 HB 10800 - 10860	0,01 HB 10860 - 10920	0,01 HB 10920 - 10980	0,01 HB 10980 - 11040	0,01 HB 11040 - 11100	0,01 HB 11100 - 11160	0,01 HB 11160 - 11220	0,01 HB 11220 - 11280	0,01 HB 11280 - 11340	0,01 HB 11340 - 11400	0,01 HB 11400 - 11460	0,01 HB 11460 - 11520	0,01 HB 11520 - 11580	0,01 HB 11580 - 11640	0,01 HB 11640 - 11700	0,01 HB 11700 - 11760	0,01 HB 11760 - 11820	0,01 HB 11820 - 11880	0,01 HB 11880 - 11940	0,01 HB 11940 - 12000	0,01 HB 12000 - 12060	0,01 HB 12060 - 12120	0,01 HB 12120 - 12180	0,01 HB 12180 - 12240	0,01 HB 12240 - 12300	0,01 HB 12300 - 12360	0,01 HB 12360 - 12420	0,01 HB 12420 - 12480	0,01 HB 12480 - 12540	0,01 HB 12540 - 12600	0,01 HB 12600 - 12660	0,01 HB 12660 - 12720	0,01 HB 12720 - 12780	0,01 HB 12780 - 12840	0,01 HB 12840 - 12900	0,01 HB 12900 - 12960	0,01 HB 12960 - 13020	0,01 HB 13020 - 13080	0,01 HB 13080 - 13140	0,01 HB 13140 - 13200	0,01 HB 13200 - 13260	0,01 HB 13260 - 13320	0,01 HB 13320 - 13380	0,01 HB 13380 - 13440	0,01 HB 13440 - 13500	0,01 HB 13500 - 13560	0,01 HB 13560 - 13620	0,01 HB 13620 - 13680	0,01 HB 13680 - 13740	0,01 HB 13740 - 13800	0,01 HB 13800 - 13860	0,01 HB 13860 - 13920	0,01 HB 13920 - 13980	0,01 HB 13980 - 14040	0,01 HB 14040 - 14100	0,01 HB 14100 - 14160	0,01 HB 14160 - 14220	0,01 HB 14220 - 14280	0,01 HB 14280 - 14340	0,01 HB 14340 - 14400	0,01 HB 14400 - 14460	0,01 HB 14460 - 14520	0,01 HB 14520 - 14580	0,01 HB 14580 - 14640	0,01 HB 14640 - 14700	0,01 HB 14700 - 14760	0,01 HB 14760 - 14820	0,01 HB 14820 - 14880	0,01 HB 14880 - 14940	0,01 HB 14940 - 15000	0,01 HB 15000 - 15060	0,01 HB 15060 - 15120	0,01 HB 15120 - 15180	0,01 HB 15180 - 15240	0,01 HB 15240 - 15300	0,01 HB 15300 - 15360	0,01 HB 15360 - 15420	0,01 HB 15420 - 15480	0,01 HB 15480 - 15540	0,01 HB 15540 - 15600	0,01 HB 15600 - 15660	0,01 HB 15660 - 15720	0,01 HB 15720 - 15780	0,01 HB 15780 - 15840	0,01 HB 15840 - 15900	0,01 HB 15900 - 15960	0,01 HB 15960 - 16020	0,01 HB 16020 - 16080	0,01 HB 16080 - 16140	0,01 HB 16140 - 16200	0,01 HB 16200 - 16260	0,01 HB 16260 - 16320	0,01 HB 16320 - 16380	0,01 HB 16380 - 16440	0,01 HB 16440 - 16500	0,01 HB 16500 - 16560	0,01 HB 16560 - 16620	0,01 HB 16620 - 16680	0,01 HB 16680 - 16740	0,01 HB 16740 - 16800	0,01 HB 16800 - 16860	0,01 HB 16860 - 16920	0,01 HB 16920 - 16980	0,01 HB 16980 - 17040	0,01 HB 17040 - 17100	0,01 HB 17100 - 17160	0,01 HB 17160 - 17220	0,01 HB 17220 - 17280	0,01 HB 17280 - 17340	0,01 HB 17340 - 17400	0,01 HB 17400 - 17460	0,01 HB 17460 - 17520	0,01 HB 17520 - 17580	0,01 HB 17580 - 17640	0,01 HB 17640 - 17700	0,01 HB 17700 - 17760	0,01 HB 17760 - 17820	0,01 HB 17820 - 17880	0,01 HB 17880 - 17940	0,01 HB 17940 - 18000	0,01 HB 18000 - 18060	0,01 HB 18060 - 18120	0,01 HB 18120 - 18180	0,01 HB 18180 - 18240	0,01 HB 18240 - 18300	0,01 HB 18300 - 18360	0,01 HB 18360 - 18420	0,01 HB 18420 - 18480	0,01 HB 18480 - 18540	0,01 HB 18540 - 18600	0,01 HB 18600 - 18660	0,01 HB 18660 - 18720	0,01 HB 18720 - 18780	0,01 HB 18780 - 18840	0,01 HB 18840 - 18900	0,01 HB 18900 - 18960	0,01 HB 18960 - 19020	0,01 HB 19020 - 19080	0,01 HB 19080 - 19140	0,01 HB 19140 - 19200	0,01 HB 19200 - 19260	0,01 HB 19260 - 19320	0,01 HB 19320 - 19380	0,01 HB 19380 - 19440	0,01 HB 19440 - 19500	0,01 HB 19500 - 19560	0,01 HB 19560 - 19620	0,01 HB 19620 - 19680	0,01 HB 19680 - 19740	0,01 HB 19740 - 19800	0,01 HB 19800 - 19860	0,01 HB 19860 - 19920	0,01 HB 19920 - 19980	0,01 HB 19980 - 20040	0,01 HB 20040 - 20100	0,01 HB 20100 - 20160	0,01 HB 20160 - 20220	0,01 HB 20220 - 20280	0,01 HB 20280 - 20340	0,01 HB 20340 - 20400	0,01 HB 20400 - 20460	0,01 HB 20460 - 20520	0,01 HB 20520 - 20580	0,01 HB 20580 - 20640	0,01 HB 20640 - 20700	0,01 HB 20700 - 20760	0,01 HB 20760 - 20820	0,01 HB 20820 - 20880	0,01 HB 20880 - 20940	0,01 HB 20940 - 21000	0,01 HB 21000 - 21060	0,01 HB 21060 - 21120	0,01 HB 21120 - 21180	0,01 HB 21180 - 21240	0,01 HB 21240 - 21300	0,01 HB 21300 - 21360	0,01 HB 21360 - 21420	0,01 HB 21420 - 21480	0,01 HB 21480 - 21540	0,01 HB 21540 - 21600	0,01 HB 21600 - 21660	0,01 HB 21660 - 21720	0,01 HB 21720 - 21780	0,01 HB 21780 - 21840	0,01 HB 21840 - 21900	0,01 HB 21900 - 21960	0,01 HB 21960 - 22020	0,01 HB 22020 - 22080	0,01 HB 22080 - 22140	0,01 HB 22140 - 22200	0,01 HB 22200 - 22260	0,01 HB 22260 - 22320	0,01 HB 22320 - 22380	0,01 HB 22380 - 22440	0,01 HB 22440 - 22500	0,01 HB 22500 - 22560	0,01 HB 22560 - 22620	0,01 HB 22620 - 22680	0,01 HB 22680 - 22740	0,01 HB 22740 - 22800	0,01 HB 22800 - 22860	0,01 HB 22860 - 22920	0,01 HB 22920 - 22980	0,01 HB 22980 - 23040	0,01 HB 23040 - 23100	0,01 HB 23100 - 23160	0,01 HB 23160 - 23220	0,01 HB 23220 - 23280	0,01 HB 23280 - 23340	0,01 HB 23340 - 23400	0,01 HB 23400 - 23460	0,01 HB 23460 - 23520	0,01 HB 23520 - 23580	0,01 HB 23580 - 23640	0,01 HB 23640 - 23700	0,01 HB 23700 - 23760	0,01 HB 23760 - 23820	0,01 HB 23820 - 23880	0,01 HB 23880 - 23940	0,01 HB 23940 - 24000	0,01 HB 24000 - 24060	0,01 HB 24060 - 24120	0,01 HB 24120 - 24180	0,01 HB 24180 - 24240	0,01 HB 24240 - 24300	0,01 HB 24300 - 24360	0,01 HB 24360 - 24420	0,01 HB 24420 - 24480	0,01 HB 24480 - 24540	0,01 HB 24540 - 24600	0,01 HB 24600 - 24660	0,01 HB 24660 - 24720	0,01 HB 24720 - 24780	0,01 HB 24780 - 24840	0,01 HB 24840 - 24900	0,01 HB 24900 - 24960	0,01 HB 24960 - 25020	0,01 HB 25020 - 25080	0,01 HB 25080 - 25140	0,01 HB 25140 - 25200	0,01 HB 25200 - 25260	0,01 HB 25260 - 25320	0,01 HB 25320 - 25380	0,01 HB 25380 - 25440	0,01 HB 25440 - 25500	0,01 HB 25500 - 25560	0,01 HB 25560 - 25620	0,01 HB 25620 - 25680	0,01 HB 25680 - 25740	0,01 HB 25740 - 25800	0,01 HB 25800 - 25860	0,01 HB 25860 - 25920	0,01 HB 25920 - 25980	0,01 HB 25980 - 26040	0,01 HB 26040 - 26100	0,01 HB 26100 - 26160	0,01 HB 26160 - 26220	0,01 HB 26220 - 26280	0,01 HB 26280 - 26340	0,01 HB 26340 - 26400	0,01 HB 26400 - 26460	0,01 HB 26460 - 26520	0,01 HB 26520 - 26580	0,01 HB 26580 - 26640	0,01 HB 26640 - 26700	0,01 HB 26700 - 26760	0,01 HB 26760 - 26820	0,01 HB 26820 - 26880	0,01 HB 26880 - 26940	0,01 HB 26940 - 27000	0,01 HB 27000 - 27060	0,01 HB 27060 - 27120	0,01 HB 27120 - 27180	0,01 HB 27180 - 27240	0,01 HB 27240 - 27300	0,01 HB 27300 - 27360	0,01 HB 27360 - 27420	0,01 HB 27420 - 27480	0,01 HB 27480 - 27540	0,01 HB 27540 - 27600	0,01 HB 27600 - 27660	0,01 HB 27660 - 27720	0,01 HB 27720 - 27780	0,01 HB 27780 - 27840	0,01 HB 27840 - 27900	0,01 HB 27900 - 27960	0,01 HB 27960 - 28020	0,01 HB 28020 - 28080	0,01 HB 28080 - 28140	0,01 HB 28140 - 28200	0,01 HB 28200 - 28260	0,01 HB 28260 - 28320	0,01 HB 28320 - 28380	0,01 HB 28380 - 28440	0,01 HB 28440 - 28500	0,01 HB 28500 - 28560	0,01 HB 28560 - 28620	0,01 HB 28620 - 28680	0,01 HB 28680 - 28740	0,01 HB 28740 - 28800	0,01 HB 28800 - 28860	0,01 HB 28860 - 28920	0,01 HB 28920 - 28980	0,01 HB 28980 - 29040	0,01 HB 29040 - 29100	0,01 HB 29100 - 29160	0,01 HB 29160 - 29220	0,01 HB 29220 - 29280	0,01 HB 29280 - 29340	0,01 HB 29340 - 29400	0,01 HB 29400 - 29460	0,01 HB 29460 - 29520	0,01 HB 29520 - 29580	0,01 HB 29580 - 29640	0,01 HB 29640 - 29700	0,01 HB 29700 - 29760	0,01 HB 29760 - 29820	0,01 HB 29820 - 29880	0,01 HB 29880 - 29940	0,01 HB 2

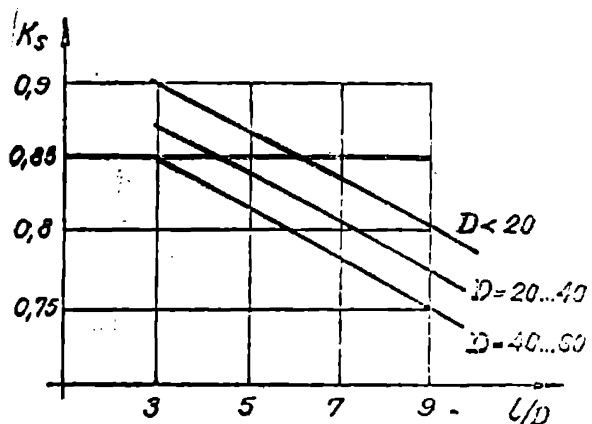


Fig.3.5. Variatia coeficientului K_S

Uncori /65/,/88/ avansul de găurire este prezentat taboale funcție de D și de materialul de prelucrat. Un exemplu este tabelul 3.2 preluat din /83/.

In cazul prelucrării găurilor folosind burghie armate cu plăcuțe dure și având canale elicoidale sau drepte, valorile avansurilor sunt de obicei indicate tabular ca de exemplu în tabelul 3.3 /65/.

Tabelul 3.2

Diametrul burghiului D [mm]	Avansul s			
	Otel		Fontă și aliaje neferocoze	
	$\sigma_r < 100 \text{ daN/mm}^2$	$\sigma_r > 100 \text{ daN/mm}^2$	$HB < 200$	$HB > 200$
4-6	0,10 - 0,18	0,08 - 0,09	0,1 - 0,2	0,18 - 0,22
6-8	0,13 - 0,22	0,11 - 0,13	0,22 - 0,23	0,22 - 0,23
8-10	0,17 - 0,28	0,13 - 0,17	0,47 - 0,57	0,28 - 0,34
13-16	0,22 - 0,37	0,18 - 0,22	0,61 - 0,75	0,37 - 0,45
16-20	0,26 - 0,43	0,21 - 0,25	0,70 - 0,86	0,43 - 0,53
20-25	0,29 - 0,47	0,23 - 0,29	0,78 - 0,96	0,47 - 0,57
25-30	0,32 - 0,55	0,27 - 0,33	0,80 - 1,10	0,54 - 0,66
30-60	0,40 - 0,70	0,30 - 0,40	1,00 - 1,20	0,70 - 0,85

Grupa de avansuri conform tabelului 3.3 se referă la rigiditatea, toleranțele de execuție și felul prelucrării ulterioare a găurii realizate.

Avansul la găurire poate fi stabilit conform /55/ funcție de rezistență burghiului cu o expresie de forma:

$$s = \sqrt{\frac{0,02D^{3-x_M}\sigma_r}{1,73 \cdot c_M \cdot c}} \quad [\text{mm/rot}] \quad (3.2)$$

în care :

Tabelul 3.3

Diametrul burghlului <i>D</i> [mm]	Oteluri colite cu duritatea HB			Fontă cu duritatea HB			
				≤ 200		> 200	
	Grupa de avansuri						
<i>D</i> [mm]	35-45	45-57	57-60	<i>I</i> [mm/rot]	<i>II</i> [mm/rot]	<i>I</i> [mm/rot]	<i>II</i> [mm/rot]
6	0,040	0,025	0,020	0,15-0,20	0,10-0,15	0,10-0,15	0,10-0,15
10	0,050	0,035	0,030	0,30-0,40	0,20-0,25	0,20-0,25	0,15-0,20
16	0,070	0,055	0,045	0,40-0,50	0,30-0,35	0,30-0,35	0,25-0,30
20	0,085	0,065	0,050	0,50-0,60	0,40-0,45	0,40-0,45	0,30-0,35
25	0,100	0,075	0,060	0,60-0,70	0,45-0,50	0,45-0,50	0,35-0,40
30	0,120	0,090	0,070	0,70-0,80	0,50-0,60	0,50-0,60	0,40-0,45

C_M este coeficient din expresia de calcul a momentului de torsion la găurire;

x_M ; y_M - exponenti din expresia de calcul a momentului de torsion la găurire;

σ_r - efortul unitar la burghiu;

c - coeficient de siguranță

Admitând $c = 2,5$ pentru oțel și $c = 4$ pentru fontă iar $\sigma_r = 210 \text{ daN/mm}^2$ pentru burghie confectionate din oțel rapid se pot determina valorile avansurilor oțelului cu HB = 150 și a fontei cu HB = 200. (conform tabelului 3.4.)

Viteză de aşchierare se stabilește cu o relație de formă:

$$v = \frac{C_v D^{z_v}}{T^m s^{y_v}} K_{vp} [\text{m/min}] \quad (3.3)$$

în care:

C_v este coeficient din expresia vitezei, iar

y_v ; z_v - exponenti funcție de materialul prelucrat;

T - durabilitatea economică funcție de diametrul

burghiului;

m - exponentul durabilității;

K_{vp} - produsul unor coeficienți pentru factorii ce influențează procesul.

Valorile acestora sunt indicate în literatură /45/, /51/, /86/.

Tabelul 3.4

Avansul 5					
Diametrul burghiu D [mm]	Materialul de prelucrat		Diametrul burghiu D [mm]	Materialul de prelucrat	
	Oțel HB = 150 [mm/rot]	Fontă HB = 200 [mm/rot]		Oțel HB = 150 [mm/rot]	Fontă HB = 200 [mm/rot]
1	2	3	1	2	3
3	0,063	0,046	30	1,114	1,08
5	0,119	0,092	35	1,351	1,34
8	0,214	0,176	40	1,596	1,61
10	0,282	0,239	45	1,85	1,89
15	0,468	0,418	50	2,11	2,19
20	0,671	0,621	55	2,38	2,49
25	0,887	0,843	60	2,65	2,81

Forțele și momentele din procesul prelucrării (56/, /65/, /98/, stabilesc cu relații de forma :

$$F_a = C_F D^{x_F} s^{y_F} (HB^n) \quad [\text{daN}] \quad (3.4)$$

$$M_t = C_M D^{x_M} s^{y_M} (HB^n) \quad [\text{daN} \cdot \text{mm}] \quad (3.5)$$

în care:

C_F ; C_M - coeficienți pentru forță axială și momentul de torsionă iar

x_F ; y_F ; x_M ; y_M ; n - expoziții funcție de materialul prelucrat

HB - duritatea materialului prelucrat

Pentru oțel și fontă și mai rar pentru alte tipuri de materiale sunt indicate următoarele formule simplificate.

Pentru oțel /56/ indică :

$$F_a = 65 \cdot D \cdot s^{0,75} \quad [\text{daN}] \quad (3.6)$$

$$M_t = 26,2 \cdot D^2 \cdot s^{0,75} \quad [\text{daN} \cdot \text{mm}] \quad (3.7)$$

Pentru fontă

$$F_a = 35 D \cdot s^{0,67} \quad [\text{daN}] \quad (3.8)$$

$$M_t = 14 D^2 \cdot s^{0,67} \quad [\text{daN} \cdot \text{mm}] \quad (3.9)$$

După /98/ pentru oțel

$$F_a = 84,7 \cdot D \cdot s^{0,7} \quad [\text{daN}] \quad (3.10)$$

$$M_t = 33,8 D^{1,8} \cdot s^{0,8} \quad [\text{daN} \cdot \text{mm}] \quad (3.11)$$

Relații similare cu unele mici deosebiri sunt prezentate și în /3/, /39/, /72/, /99/.

Desigur, relațiile prezentate dau valori mai mult sau mai puțin apropiate de valoarea reală, diferențele fiind după /39/ cuprinse între -27%...25%. Relațiile nu țin cont de mărimile perturbatoare din proces, adică valorile corespund începutului procesului de prelucrare cu burghiu nouzat, corect acorduit și având geometria apropiată de cea ideală.

3.1.2. Regimul de aşchierie la găurirea adâncă folosind scule speciale.

La prelucrarea găurilor adânci prin diferite procoadee de prelucrare, se stabilesc valori ale avansurilor și vitezelor adecvate metodelor respective. Valorile diferează considerabil între ele, dar în general se lucrează cu avansuri mai mici și viteze de aşchierare mai mari. Aceasta din nevoie se realizează unor aşchieri subțiri, care să se poată transporta cu ușurință din zona prelucrată spre exterior (prin interiorul sau exteriorul sculei).

In cazul prelucrării găurilor adânci cu scule speciale (monotârg, scule B T A etc.) recomandările privind alegerea avansurilor sunt destul de puține în literatura de specialitate. Această situație se datoră și răspândirii mai reduse a acestor genuri de scule, deși au importante avantaje la prelucrarea găurilor având $1/D > 10$. În diagrama din figura 3.4 este prezentată variația orientativă a avansului funcție de diametru pentru scule cu un tâș și evacuare exterioară a aşchierilor (curba 3) și pentru scule BTA (curba 4) la prelucrarea unui material de tipul OLC-45 /70/, iar în tabelul 3.5. unde recomandările pentru stabilirea regimului la prelucrarea cu burghie late /70/

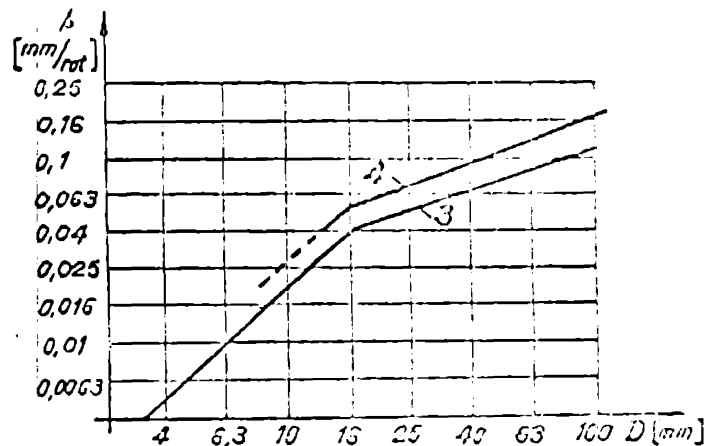


Fig. 3.4. Variatia avansului pentru uculo monotipic.

Tabelul 3.5

Diametru burghiu D [mm]	Avansul b				
	Materialul de prelucrat				
	Otel carbon $C < 0,4\%$ [mm/rot]	Otel carbon $C > 0,4\%$ [mm/rot]	Otel de imbarotat $\text{fie } \theta_r > 80^\circ$ [mm/rot]	Foncă cenușie moale [mm/rot]	Foncă cenușie dură [mm/rot]
25	0,2	0,16	0,12	0,25	0,16
31,5	0,2	0,2	0,16	0,31	0,19
40	0,25	0,25	0,20	0,40	0,20
50	0,31	0,25	0,25	0,50	0,25
63	0,31	0,31	0,25	0,50	0,31
80	0,4	0,31	0,25	0,50	0,40
100	0,5	0,4	0,31	0,52	0,50
125	0,5	0,4	0,40	0,25	0,50

$v = 20 \text{ m/min}$ $y = 16 \text{ m/min}$ $v = 12,5 \text{ m/min}$ $v = 25 \text{ m/min}$ $v = 10 \text{ m/min}$

3.1.3. Observații asupra metodologiei actuale de stabilire a parametrilor regimului de aschicare la găurire

Din analiza metodologiei actuale prezentate anterior se pot face următoarele observații cu privire la stabilirea regimului de aschicare la găurire.

a. Regimul se poate stabili pe baza unor relații experimentale sau tabele, a căror aplicabilitate depinde de identitatea condițiilor concrete de prelucrare față de cele în care

sau stabilit relațiile și s-au efectuat experimentările.

b. Parametrii regimului diferă实质上 chiar pentru aceleasi date initiale, doar folosind metode si diferite de calcul sau autori diferiti. Astfel, comparindu-se valorile avansurilor stabilite cu relația 3.1 și cele stabilite cu relația 3.2 și prezentate în tabelele 3.1 și respectiv 3.4 se constată că acestea diferă, în domeniul considerat al diametrilor burghicilor de la 3...60 mm, de la 2,6:1 la 1:2,7 adică de cca 7 ori la prelucrarea otolului, și de la 3,3:1 pînă la 1:3,1 adică de cca 10 ori la prelucrarea fontei;

c. Pe lîngă calitatea materialului prelucrat și al materialului din care este confecționată scula, parametrii regimului sunt de asemenea influențați în mare măsură de o serie de alți factori dintre care se enumeră :

- lungimea găurii prelucrate (pentru $l/D > 3$)
- poziția inclinației a suprafeței de pătrundere a burghiu lui în raport cu axa de rotație a acestuia,
- raportul dintre durabilitatea reală și cea recomandată etc.

d. Forțele și momentele din procesul prelucrării sunt influențate de:

- diametrul burghiului sau, adîncimea de aşchiere;
- avans;
- materialul de prelucrat;
- lungimea orificiului;
- geometria sculei aşchietoare;
- condițiile de lucru (cu sau fără răcire);
- uzura sculei etc.

Iluarea în considerare a tuturor acestor factori este dificilă și necesită timp destul de lung de alegere, cunoașterea căt mai exactă a sculei și a piesei în care se execută prelucrarea, a condițiilor de lucru etc. De cele mai multe ori nu se poate ține cont de toți factorii și de toate influențele fapt care conduce la regimuri mai mult sau mai puțin apropiate de cele recomandate (și acelea stabilite cu anumite aproximății).

In cazul mașinilor cu programe pentru regimul de aşchierare erorile de stabilire a programelor, pot conduce la ruperi de scule și compromiterea piesei sau chiar a mașinii.

Din această cauză, în mod deliberat se utilizează regimuri mai ușoare care însă conduc la capacitate de producție mai scăzute și ca atare la o eficiență mai mică a utilizării mașinii.

3.2. Obiectivele regimului de aschierare în condițiile comenzi adaptive

Așa cum s-a arătat stabilirea regimului de aschierare trebuie să țină cont de foarte mulți factori. Acest lucru se dătoresc și faptului că nu se poate controla efectiv desfășurarea procesului de aschierare. Apoi, unii factori pot avea o variație chiar pentru condiții considerate identice, ca de exemplu duritatea materialului, uzura sculei, condițiile de răcire etc. și modificarea acestora nu poate fi luată în considerare în timp util.

Se consideră că regimul de aschierare este condus mai avantajos prin controlul permanent (în timpul procesului de aschierare) a momentului de torsion și a forței axiale. În acest mod se poate ține cont la stabilirea avansului curent de o serie de factori cum ar fi adâncimea găurii, duritatea materialului prelucrat, uzura burghiului etc.

Conducerea procesului de aschierare este mai indicat să fie realizată:

a. funcție de momentul de torsion maxim admis de către burghiu (cu limitările impuse de către mașină, sculă sau piesă) pentru cazul cînd se urmărește frânerarea maximă a burghiului (sau a mașinii-unclte);

b. funcție de un moment de torsion care să asigure un avans apropiat de cel stabilit cu relația 3.1 în cazul în care se urmărește realizarea unei anumite precizii pentru gaura prelucrată sau se prelucrează piece de rigiditate mică.

În ambele cazuri avansul din proces este variabil funcție de adâncimea orificiului prelucrat, uzura sculei, duritatea materialului etc.

Să considerăm nevoie să măsurarea forței axiale din proces prin comanda ciclului sau pentru respectarea limitărilor datorită forței axiale la burghiu sau la mașină (lagărul axial al arborelui principal sau sistemul de avans).

4. TRADUCTIONE SI COMPOZITI DE MASURA

PARTea I-a MAI VIEZUT

4.1. Condiții necesare pentru traducere și componențe de măsură.

Comanda adoptivă se bazează pe informațiile primite din procesul proiectării în timpul desfășurării acestuia. Din această cauză problema realizării unor traductoare și componente de măsură adecvate este de importanță maximă pentru succesiul comenzi de lucru.

Majoritatea măsurărilor cu ajutorul elementelor care reprezintă mărimi neselectricice (forță, moment de torție, putere, temperaturi, vibrații etc.) acționând următoarele și să se convertă în semnale electrice corespondente. Pentru măsurarea forțelor (deplasărilor) se cunosc și mării relativ mici de traductoare de diverse tipuri (resistive, inductive, capacitive, piezoelectrice, magnetooelectrice etc.) dar relativ puțino au reușit să se impună printr-o lărgă industrie, restul fiind utilizate mai mult în experimentările de laborator.

Condițiile principale pe care trebuie să le subliniem către traductoare și componente de măsură sunt :

a. Rigiditatea săfă nu să treacă cu utilitărea traductorului să nu afecteze sensibil aderabilitatea verificării circuitelor respective și a pregiului mecanic să rămână astfel în vedere că amplasarea traductorului în locul săfă și în apropierea de locul unde se produce mărimile de măsură. Această condiție este extrem de importantă și limitează utilizarea traductorilor de tip resistiv, inductiv sau capacativ la care măsurarea se realizează printr-o deformare sau deplasare a elementelor care compun traductorul. Este de preferat că rigiditatea elementului traductor să fie compatibilă cu a metalelui de bază din care este confecționat. Dacă acest lucru de vedere o comportare foarte bună o are traductoarele magnetooelectrice și mult mai puțin cele piezoelectrice.

- b. Sensibilitate bună pentru a putea sesiza variații suficiente de mici ale mărimilor măsurate.
 - c. Domeniu de măsură suficient de mare pentru a putea acoperi domeniul de variație a parametrilor măsurati.
 - d. Rapiditate corespunzătoare desfășurării fenomenului a cărui mărire se măsoară. Această cerință este în general satisfăcută de către traductoare, acceptabil realizată de către componentele de măsură dar mai deficitară la elementele de execuție ale mașinii-unelte.
 - e. Să emite un semnal continuu, pentru o mărime constantă măsurată, (problemă dificil de rezolvat pentru traductoarele piezoelectrice).
 - f. Dimensiuni de gabarit mici pentru a putea fi ușor amplasat în apropierea locului în care se desfășoară procesul de prelucrare.
 - g. Să aibă fiabilitate ridicată, să-și păstreze în timp indicația, să fie rezistente la șocuri și vibrății (să nu fie casante), să nu fie sensibile la variațiile de temperatură etc.
- Majoritatea acestor cerințe sunt satisfăcute de traductoarele magnetoelastice, care sunt printre cele mai frecvent utilizate /9/, /25/, /29/, /32/, /34/, /39/, /44/, /47/, /49/, /60/, /78/ în cazul comenziilor adaptivo la mașini-unelte.

La traductorul magnetoelastic forța cu care se măsoară este evidențiată prin modificarea proprietăților magnetice ale materialului din care este construit traductorul.

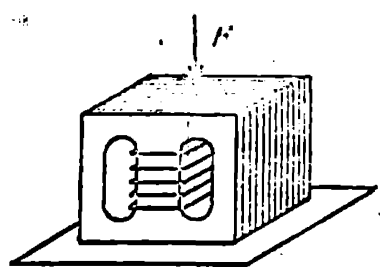
Deoarece în cazul mașinii de găurit parametrii controlați sunt forță axială și momentul de torsionă se vor analiza unele construcții pentru măsurări de forță și momente, adecvate mașinilor de găurit.

4.2. Construcții de traductoare și componente de măsură pentru forță și momente de torsionă.

Datorită avantajelor, prezентate anterior, se analizează în special traductoarele magnetoelastice și componente de măsură care pot utiliza astfel de traductoare.

4.2.1. Traductoare magnetoelastice pentru forță Așa cum s-a arătat, principiul de bază al funcționării

traductoarelor magnetoelastice constă în variația permeabilității magnetice μ al unui material feromagnetic, cauzată de variația stării sale de solicitare σ . /2/,/29/,/47/. Constructiv, trădutorul este constituit practic dintr-un corp din metal prevăzut cu o configurație electrică așa cum este prezentat schematicizat în figura 4.1. La aplicarea forței F se



se modifică σ și deci μ și că urmare apare o variație de inducțitate care se evidențiază prin procedee cunoscute.

Sensibilitatea relativă /9/,/29/ a acestor trăductoare este dată de raportul:

Fig.4.1. Schema trădutorului magnetoelastic.

$$S/\% = \frac{\Delta Z}{Z_0} \cdot 100 = \frac{Z_0 - Z_\sigma}{Z_0 \sigma} \cdot 100 = \frac{\Delta \mu}{\mu_0 \sigma} \cdot 100/\% \quad (4.1)$$

în care:

Z_0 este impedanța trădutorului pentru $\sigma = 0$

Z_σ – impedanța trădutorului pentru $\sigma \neq 0$

Dacă $\frac{\Delta Z}{Z_0} = \frac{\Delta \mu}{\mu}$ rezultă că (4.2)

$$S/\% = \frac{\Delta \mu}{\mu_0 \sigma} \cdot 100\% \quad (4.3)$$

în care: μ este permeabilitatea magnetică a materialului $[H/m]$.

Sensibilitatea relativă a trădutorului variază și cu frecvența de climentură și cu inducția /9/,/29/ așa cum este

prezentat în diagramea din figura 4.2 pentru un material Fe-Si

Materialul din care este construit trădutorul și direcția laminării (respectiv orientarea tolai pe bandă de tablă) au influențe importante asupra sensibilității relativă /60/.

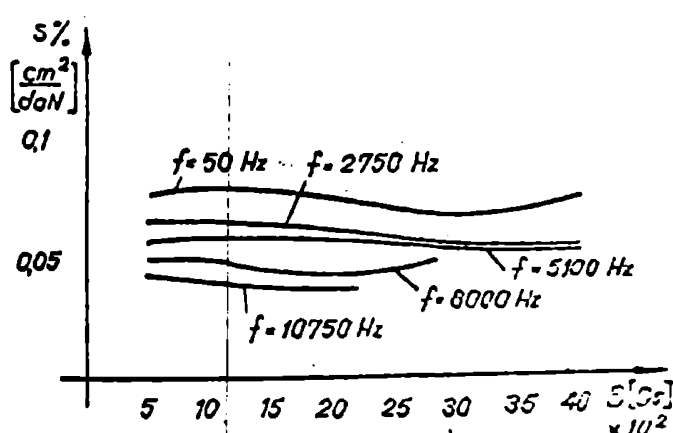


Fig.4.2. Sensibilitatea relativă a trăductoarelor

4.2.2. Construcții de componente de măsură pentru momente de torsiune

Pentru măsurarea momentelor de torsiune se recurge deosebi la construcții ce reduc măsurarea momentului tot la măsurarea unei forțe. Problema este mai dificilă datorită faptului că urborole la care se măsoară momentul este în mișcare de rotație și ar fi de preferat ca semnalul de la traductor să nu se transmită prin perii colectoare. Componentul de măsură, în ansamblu, trebuie să aibă gabarit și inerție cât mai mici și să fie sigur în funcționare.

Literatura de specialitate /6/, /7/, /8/, /32/ prezintă unele modalități de măsurare.

Construcțiile din figura 4.3.a, b asigură măsurarea momentului de torsiune prin tendință de rotație a carcsei satelitilor. Momentul de torsiune la carcasa M_m este dependent de valoarea momentului de torsiune rezistent (de măsurat) M_t și se poate calcula funcție de dimensiunile geometrice ale componentelor. Comportarea dinamică este bună în special în transmisie planetară cu roți dințate cilindricice.

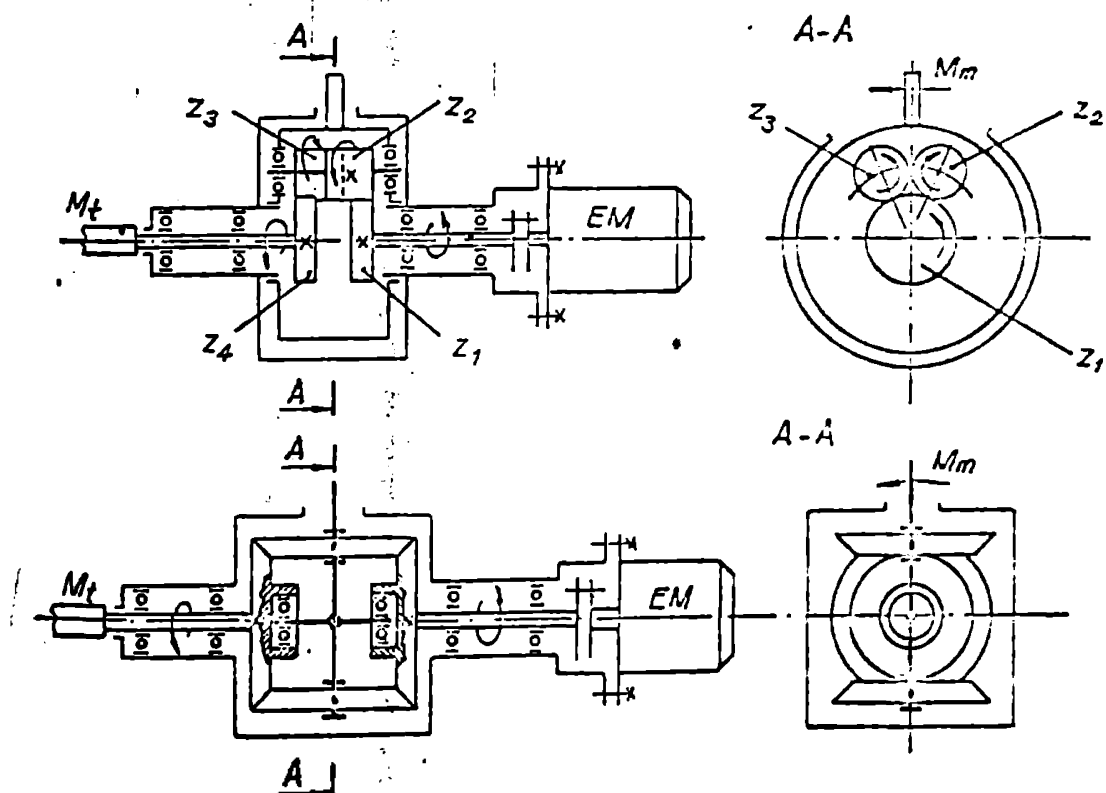


Fig.4.3. Construcții de componente pentru măsurarea momentului de torsiune.

Componentul traductor de moment al firmei Philips /C/ prezentat schematic în figura 4.4, măsoară momentul de torsion pe baza modificării rezistenței unor tructoare resistive 1 care produc schimbarea frecvenței unei oscilații de joasă frecvență 2,3. Construcția, deși mai complexă, se bucură de o serie de calități (lipea contactului mecanic între partea fixă și cea rotitoare, sensibilitate bună etc.)

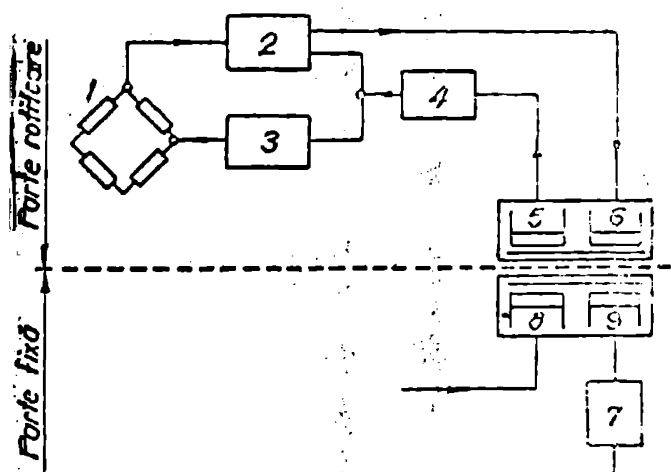


Fig.4.4. Traductorul de moment
al firmei Philips.

tătilor magnetice ale unci piese tubulare 1 aflată într-un cîmp magnetic produs de bobinile 2.

Transmiterea semnalului de la partea fixă la partea rotitoare și invers se face printr-un transformator avînd o parte rotitoare cu înfășurările 5,6 și una fixă 8,9.

Un component traductor ce utilizează pentru măsurare principiul magnetoelastice este prezentat figura 4.5 /78/. Momentul de torsion se determină prin schimbarea proprietăților magnetice ale unci piese tubulare 1 aflată într-un cîmp magnetic produs de bobinile 2.

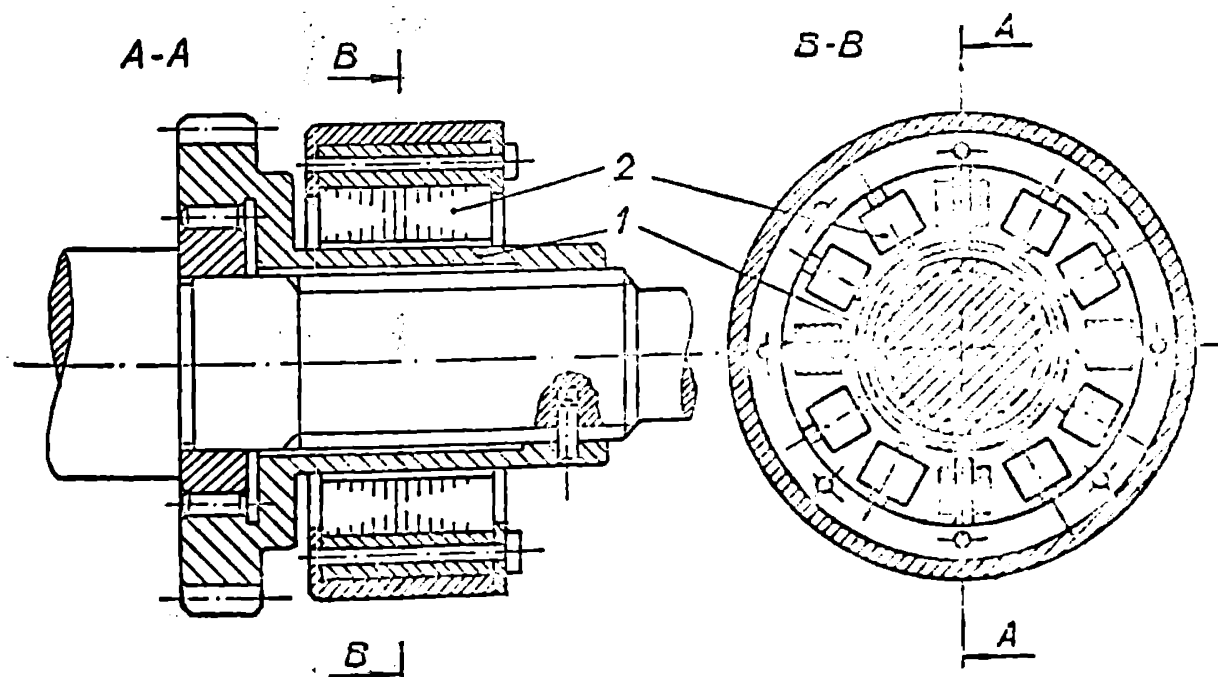


Fig.4.5. Traductor magnetoelastic pentru momentul de torsion.

Componentul are proprietăți foarte bune. În alimentarea cu frecvență cuprinsă între 500-1500 Hz, timpul de răspuns este de cca 2,5 ms sensibilitatea 10-80 mV/daN.m. Componentul lucrează fără contact și deci nu este supus uzurii. Pentru a obține însă la ieșire un semnal corespunzător este necesar să se asigure o foarte bună concentricitate a presei tubulare în raport cu bobinile 2 care este dificil de realizat practic. În caz contrar se evidențiază, la măsurătoare și "bătaie" piesei tubulare prin modificarea intrefierului. Dimensionarea componentului traductor se face astfel încât piesa tubulară să fie solicitată la un efort de cca 1500 daN/cm² și să fie realizată din oțel cu foarte puțin carbon.

4.3. Contribuții la realizarea unor traductoare și componente de măsură pentru forțe și momente de torsionă

Datorită avantajelor traductoarelor magnetoelastice, preocupările pentru realizarea unor traductoare și componente de măsură s-au axat pe astfel de traductoare.

Traductoare de acest tip au mai fost utilizate cu bune rezultate și de către alți cercetători /34/,/39/,/89/ din colectivul condus de către Prof.dr.ing.E.Dodon, care le-a utilizat prima oară la CNAU în 1956 /25/. Pentru cercetarea de față a fost necesară însă o mărime diferită de traductor față de cele studiate și încercate pînă în prezent, și ca atare au fost necesare cercetări și experimentări pentru această mărime diferită.

4.3.1. Traductor magnetoelastic pentru forță.

A fost proiectat, realizat și experimentat traductorul magnetoelastic pentru forță al cărui schită este prezentată în figura 4.6.

Cele două semicarcase 1,2 confectionate din aluminiu fixează prin strângerea șuruburilor de fixare 4 pachete de tole 3. Tolele sunt executate din tablă silicioasă izolate între ele și cu grosimea de 0,2 mm (max 0,3 mm).

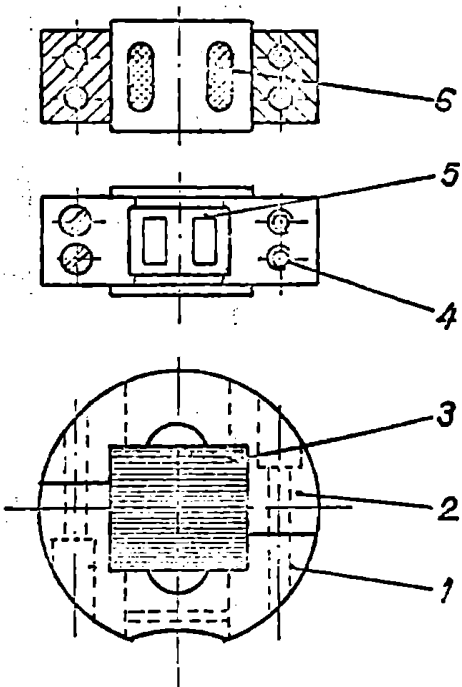


Fig. 4.6. Traductor magnetoelastice pentru forță.

Bobinajul 6 se execută cu conductor de cupru izolat cu emalie și mătase având diametrul 0,12-0,15 mm și având un număr de cca 80 spire. Terminalele bobinajului sunt accesibile pe placă 5.

Pfosind o instalație experimentală a cărei schema este prezentată în figura 4.7 iar fotografia în figura 4.8, au fost determinate caracteristicile de sensibilitate S_f ale traductorului.

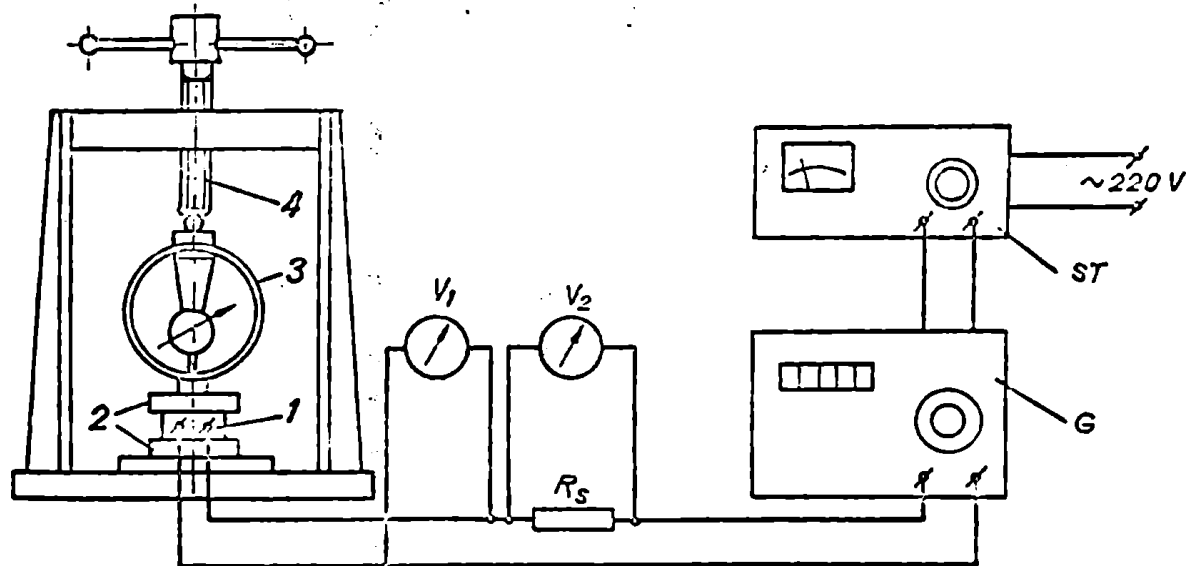


Fig. 4.7. Schema instalației experimentale pentru determinarea caracteristicilor traductorului.

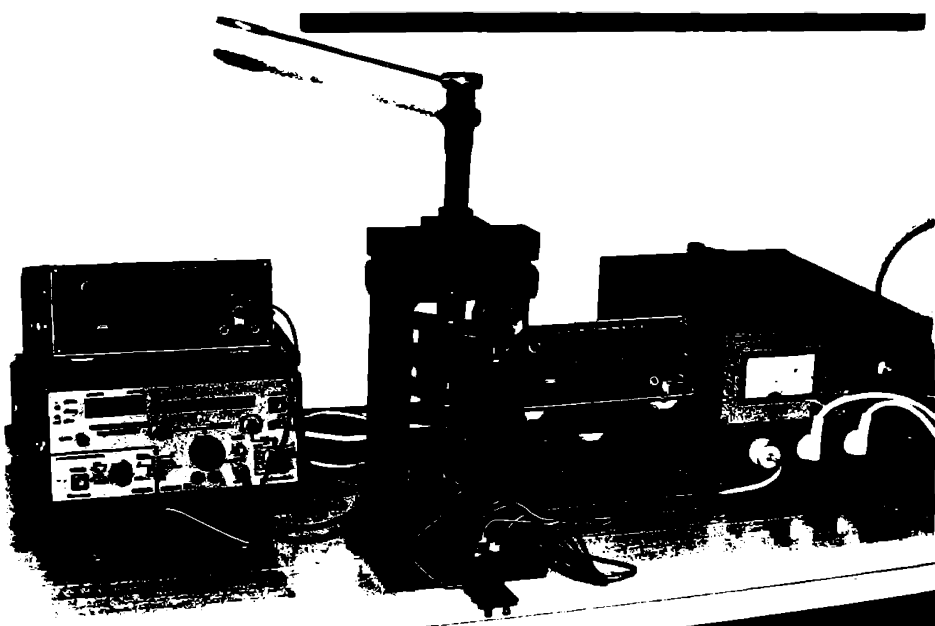


Fig.4.8. Instalația experimentală

Traductorul 1, amplasat între plăcile amagnetice 2 este supus acțiunii unei forțe creștă prin comprimarea dinomotorului 3 cu șurubul 4.

Alimentarea traductorului se face de la un generator de frecvență reglabilă G. Tensiunea la bornele traductorului, și curentul ce străbate bobinajul acestuia sunt măsurate cu voltmetrele V_1 și respectiv V_2 (curentul se determină indirect prin căderea de tensiune pe rezistența seriei R_s).

Aparatura electrică este alimentată de la stabilizatorul de tensiune S.T.

Sau determinat caracteristicile :

$$S\% = f(B) \quad \text{și} \quad (4.4)$$

$$S\% = f(H_{ef}) \quad (4.5)$$

În care: B este inducția magnetică [T]

H_{ef} – cimpul magnetic [A.sp/cm]

Acstea se determină cu relațiile :

$$B = \frac{U \cdot 10^4}{\sigma \sqrt{2} \pi f_w} \quad [T] \quad (4.6)$$

$$H_{ef} = I \cdot \frac{w}{l_m} \quad [A.sp/cm] \quad (4.7)$$

în care:

U este tensiunea la bornele traductorului [V];

q - secțiunea fluxului [cm^2];

f - frecvența de alimentare a traductorului [Hz];

w - numărul de spire al bobinajului traductorului;

I - curentul din înfășurarea traductorului [A];

l_m - lungimea medie a circuitului magnetic [cm].

Pentru traductorul analizat:

$q = 0,48 \text{ cm}$

$w = 80$ spire

$l_m = 4,3 \text{ cm}$

Sensibilitatea relativă $S\%$ se determină cu relația:

$$S\% = \frac{I_o - I}{I_o \cdot \sigma} \cdot 100 \quad [\text{cm}^2/\text{daN}]$$

în care:

I_o este curentul ce străbate înfășurarea în absența solicitării traductorului [A];

I - curentul prin înfășurare la apariția forței (solicitării);

σ - efortul din pachetul de tole [daN/cm^2].

Rozultatele experimentale sunt prezentate în tabelele 4.1.

și 4.2. iar diagramele caracteristicilor (4.4) și (4.5) în

figurile 4.9. și 4.10.

Din analiza acestora se observă că pentru acestă mărime de traductor este avantajoasă utilizarea unei inducții magnetice B de cca. $10 - 22 \cdot 10^{-2}$ [T] și respectiv a unui cîmp magnetic H_{of} de cca $18 - 20 \cdot 10^{-2}$ [$\text{A.sp}/\text{cm}$] ceea ce corespunde unei tensiuni de alimentare de cca. $8 - 16$ [V.c.a] (avînd în vedere că frecvența tensiunii de alimentare a fost stabilită la 5 KHz din condiții de rapiditate a transmiterii semnalului) și un curent de $9,5 - 11 \cdot 10^{-3}$ [A]. Densitatea de curent în conductorul bobinajului traductorului este de cca. 1 [A/mm^2] iar puterea dissipată de cca. $0,1$ [W].

Cimpul magnetic H_{ef}	Frecvența de alimentare f	Tensiunea de alimentare U	Inducția magnetică B	Curentul I_o	Relativitate magnetică B	
					$\times 10^{-3} [T]$	$\times 10^{-3} [A]$
Asp/cm^3	[Hz]	[V]			$[\text{cm}^2/\text{dAN}]$	
100 $(5,375 \text{ mA})$	500	0,609	7,137	4,59	0,0548	
	1000	1,162	7,032	4,582	0,0563	
	2000	2,09	6,124	4,585	0,0544	
	5000	3,85	4,512	4,61	0,053	
	6000	5,45	4,00	4,673	0,0548	
	10000	6,33	3,71	4,70	0,046	
150 $(8,636 \text{ mA})$	500	1,321	15,462	7,164	0,0653	
	1000	2,45	14,357	7,183	0,065	
	2000	3,98	11,661	7,346	0,0563	
	5000	7,61	8,92	7,426	0,0517	
	500	1,91	22,365	9,115	0,063	
	1000	3,43	20,10	9,162	0,0603	
200 $(10,91 \text{ mA})$	2000	5,73	16,79	9,207	0,0553	
	5000	10,05	11,70	9,221	0,0563	

$$1 - H_{ef} = 100 \times 10^{-3} [\text{Asp/cm}^3]$$

$$2 - H_{ef} = 150 \times 10^{-3} [\text{Asp/cm}^3]$$

$$3 - H_{ef} = 200 \times 10^{-3} [\text{Asp/cm}^3]$$

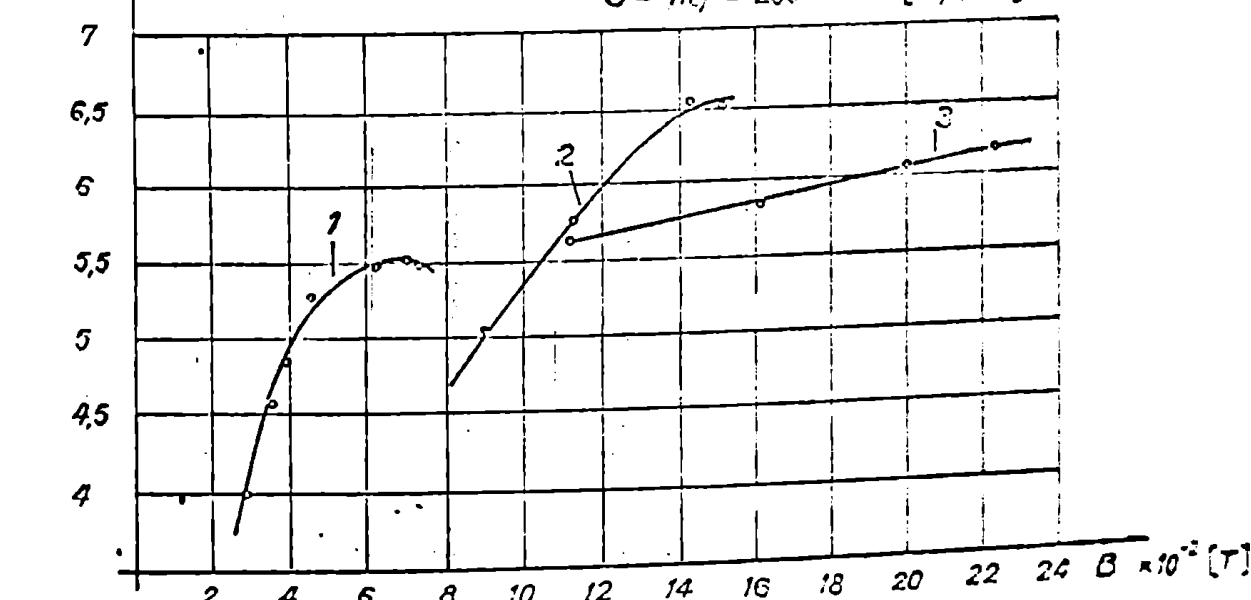


Fig. 4.9. Diagrammele $S = f (B)$

Inducție magnetică B	Raportul $\frac{U}{f}$	Curentul		Cimpul magnetic H_{ef}	Sensibilitate relativă $S\%[100]$
		I_0	I		
$5 \cdot 10^{-2} [T]$	$0,4265 / 500$	3,391	4,214	76,4	0,057
	$0,835 / 1000$	3,682	4,382	81,5	0
	$1,706 / 2000$	3,91	4,614	85,6	0,05
	$4,265 / 5000$	4,682	5,405	101,5	0,065
	$6,824 / 8000$	5,355	6,177	114,3	0,049
	$8,53 / 10000$	5,823	6,641	123,5	0,045
$10 \cdot 10^{-2} [T]$	$0,853 / 500$	6,632	6,727	125,1	0,0519
	$1,71 / 1000$	6,045	7,126	132,7	0,0570
	$3,41 / 2000$	6,455	7,591	141,2	0,0550
	$8,53 / 5000$	8,045	9,364	174,2	0,0520
$20 \cdot 10^{-2} [T]$	$1,71 / 500$	8,41	10,10	190	0,0674
	$3,41 / 1000$	9,182	11,05	205,5	0,0652
	$6,82 / 2000$	10,5	12,55	233,4	0,0620

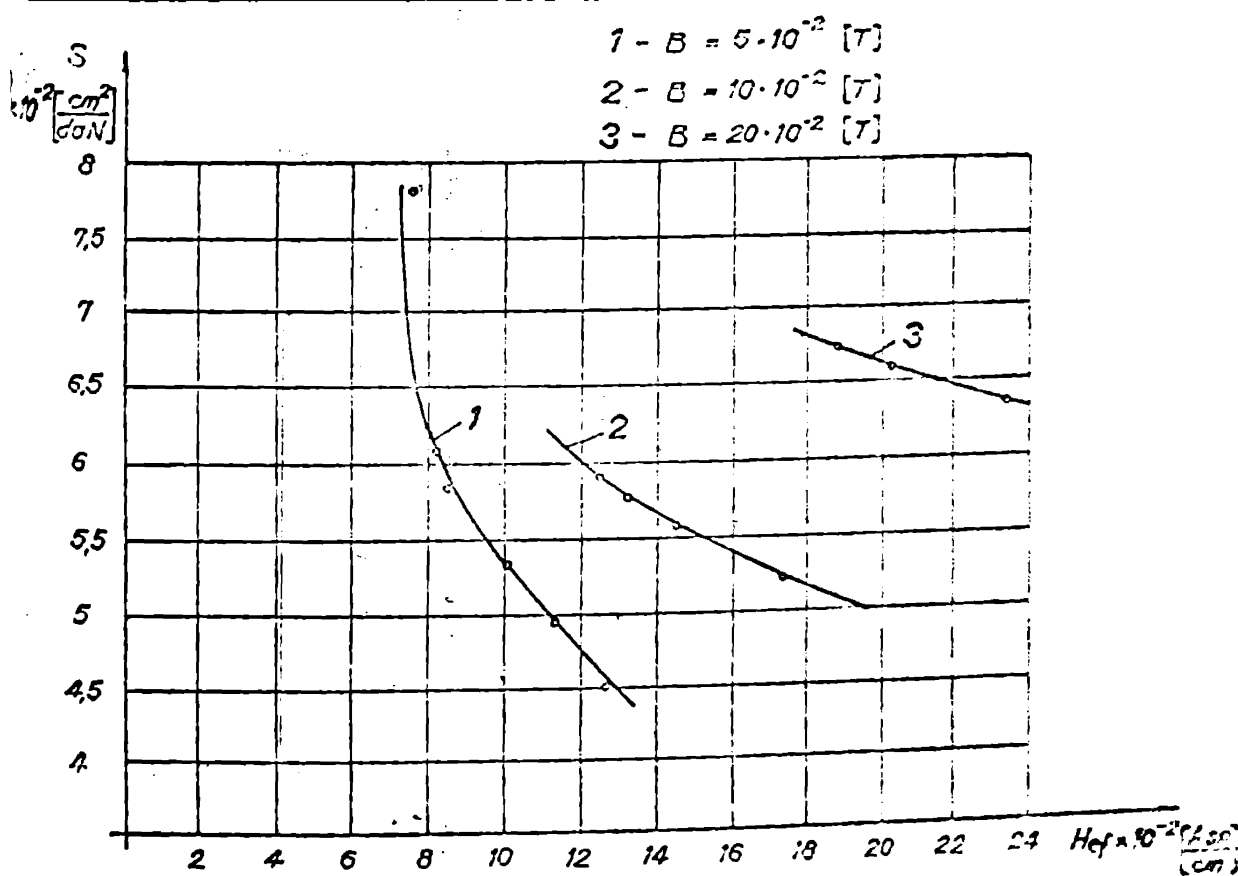


FIG. 4.10. Diagrammele $S = f(H_{ef})$

4.3.2. Componențe de măsură pentru forță axială

Folosind trductoare magnetooelectrice au fost proiectate, realizate și experimentate câteva componente de măsură pentru forță axială. La proiectarea acestor componente s-au avut în vedere forță maximă care solicită sistemul de măsură (forță tehnologică maximă și forță de precomprimare a grupului de trductoari), caracteristicile trductoarelor (forță maximă admisă și dimensiunile de gabarit ale trductoarului) și necesitatea de a realiza o punte de trductoare (deci numărul de trductoare din sistem să fie un multimplic de 4).

Gabaritul componentului de măsură trebuie corelat cu gabaritul lagărului axial al arborelui principal.

Soluția componentului de măsură al forței axiale pentru mașina de găurit GP 45 NC/AC este prezentată în figura 4.11

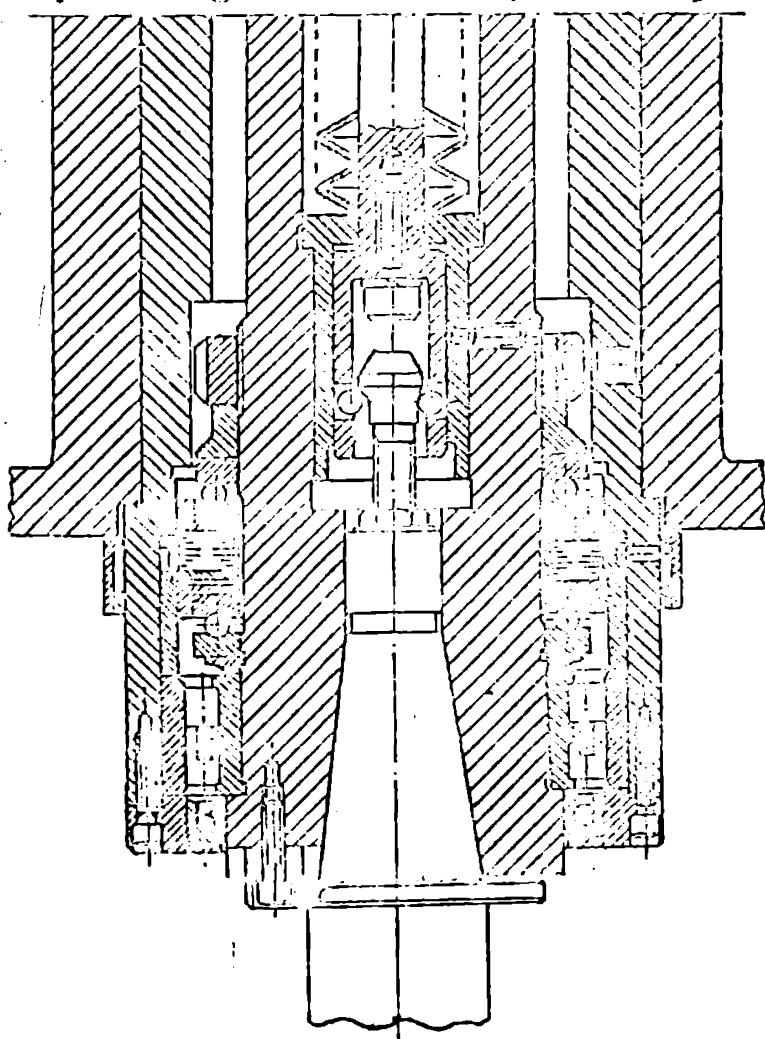


Fig.4.11. Componentul trductoar de
forță axială pentru mașina
GP 45 NC/AC

în figura 4.12 este prezentat modul de amplasare a trductoarelor în inelul magnetic de susținere.

Etolonarea sistemului s-a făcut prin încărcare cu forțe axiale folosind un dinamometru, așa cum este prezentat în fotografie din figura 4.13, diagrame de etalonare fiind prezentate în figura 4.14 (în cap.6 este precizată parte electronice aferentă).

Se observă că acest component de măsură are un histerezis foarte mic ceea ce este avantajos.

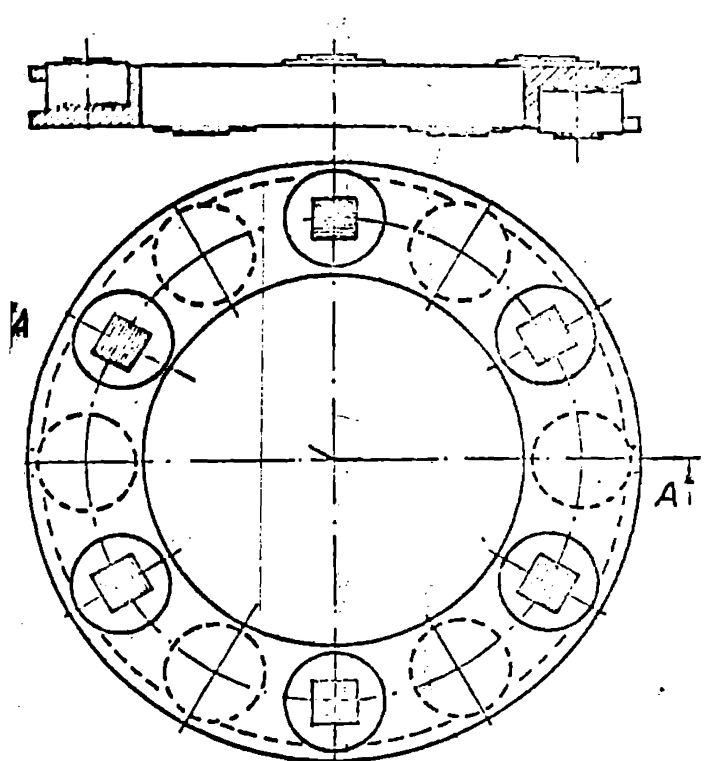


Fig.4.12. Construcția inelului cu trăductori magneto-elastici.

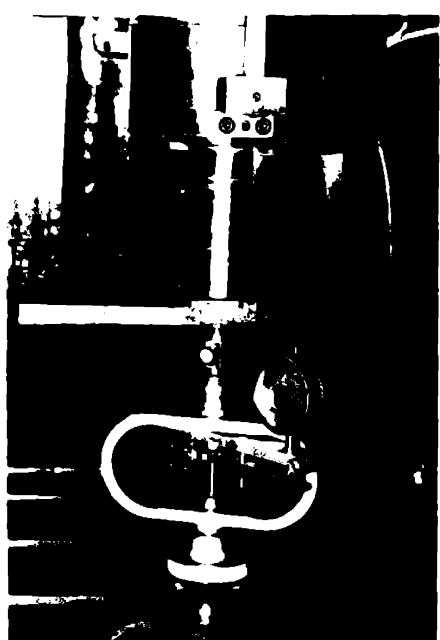


Fig.4.13. Etalonarea pentru forță axială.

Pentru magina CPV-2 componentul realizat este prezentat în figura 4.15 /39/,/40/ .

In acest caz, trăductoarele sunt amplasate pe două inele independente, confectionate din material emagnetic.

Componentul de măsurare a forței axiale prezentat în figura 4.15 face parte din sistemul de protecție la ruperea accidentată a sculciu pentru centrul de de prelucrare vertical CPV-2.

Acest sistem conceput și realizat în colaborare cu conducătorul științific și cu doctorand ing.

Ganea Macdon (de la ICSIT-Titan - filiala Oradea) a fost omologat la întreprinderea Infrățirea din Oradea.

4.3.3. Componente de măsură pentru momentul de torsion

Realizarea unor componente de măsură pentru momente de torsion se dovedește mai dificilă decât cea cu o crăță, este de preferat ca trăductoare să rămână imobili pentru a evita introducerea și culegerea semnalului prin perii colectoare.

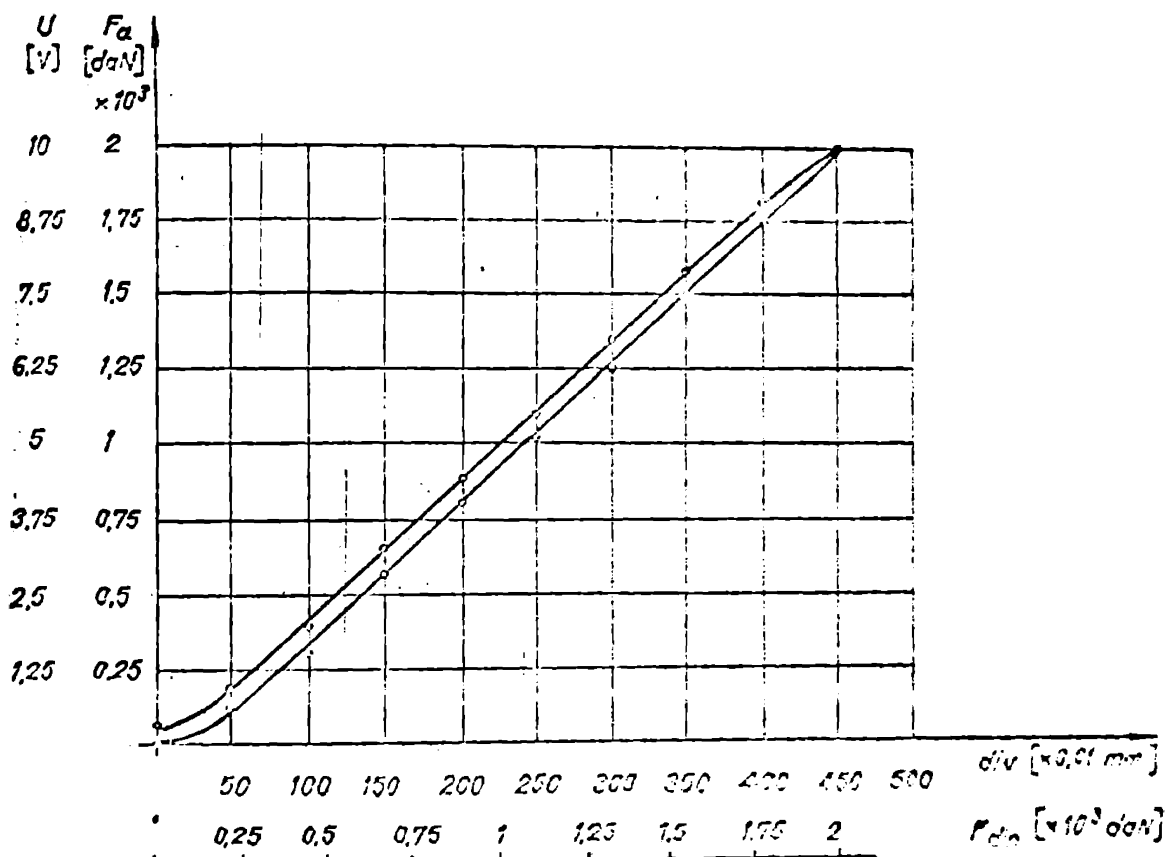


Fig. 4.14. Diagrama de etalonare a forței axiale

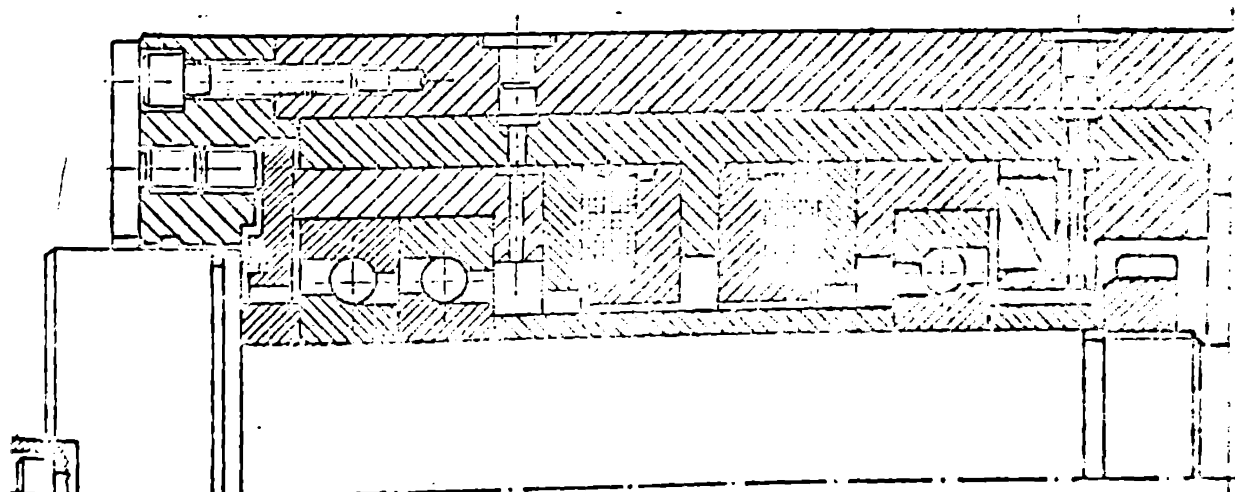


Fig. 4.15. Componentul traductor pentru forță axială
la mașina CPV-2

Au fost analizate cîteva modalități pentru măsurarea momentului de torsion:

- a. Componentă de măsură a momentului de torsion prin determinarea curentului absorbit de către motorul electric al acționării

Componentul este foarte simplu, deoarece este ușor de evidențiat creșterea curentului de alimentare a motorului (folosind în rezistor serie pentru electromotoarele de curent continuu sau transformator de curent pentru electromotoarele asincrone trifazate). Este necesar, însă să se compenseze electric semnalul datorat pierderilor în motorul electric, pierderi care fac ca la un moment de torsiune util de valoare nulă, curentul să nu fie nul (dependent de răndamentul motorului electric). Componentul are dezavantajul că nu poate fi folosit atunci unde turăriile la arborele principal se obțin prin transmisiuni mecanice (cu roți dințate). El poate fi utilizat la mașini pentru găuri mici, fără reglare a turării la arborele principal.

b. Component de măsură a momentului de torsion prin tendință de rotație a statorului motorului electric.

Componentul a cărui schema este prezentată în figura 4.16,

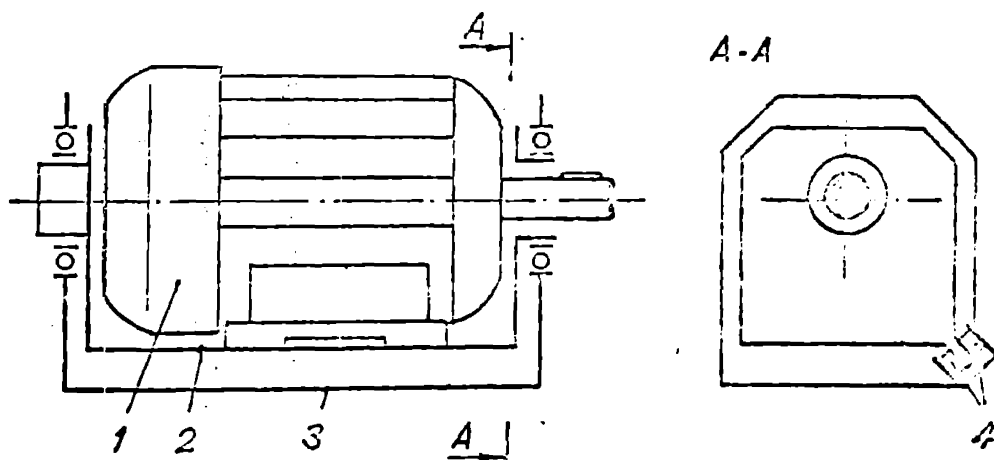


Fig. 4.16. Schema componentului de măsură al momentului de torsion prin tendință de rotație a carcasii motorului.

a fost proiectat (de către conducătorul științific dr. ing. Suru P.) pentru măsurarea momentului de torsion la unități de lucru pentru găuri adâncă, în vederea utilizării unui sistem de protecție împotriva ruperii accidentale a sculei. Motorul electric 1 este fixat pe suportul articulat 2 care este legat fix de suportul 3. Tendința de rotire a suportului 2 față de 3 la apariția momentului de torsion la arborele motorului electric este sesizată de traductorul 4 fixe față de 3.

Componentul are dezavantajul, ca și în cazul precedent, că nu poate fi utilizat dacă turăția la arborele principal se modifică (prin transmisiile mecanice). Are însă avantajul că el îl face și efectează doar modul de fixare al motorului electric.

c. Component de măsură a momentului de torsion prin măsurarea forțelor tangențiale din angrenaje.

Schema componentului este prezentată în figura 4.17 și reprezintă o contribuție originală la realizarea unei componente de măsură pentru moment.

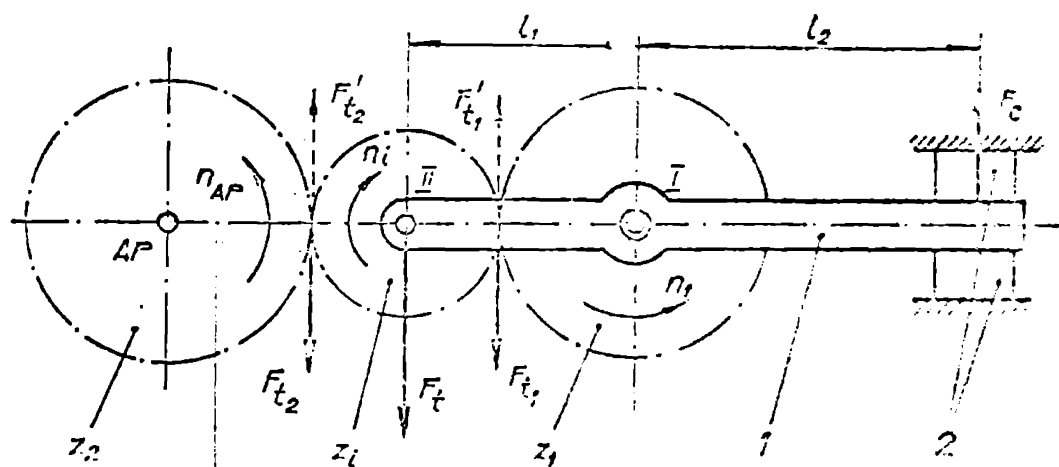


Fig. 4.17. Schema componentului de măsură al momentului de torsion prin forțele de angrenare

În lanțul cinematic ce transmite mișcarea de la cutia de viteze la arborele principal AP se introduce o roată intermediară z_i în ultimul angrenaj care transmite mișcarea către arborele principal.

Rota z_i este legătură față de pîrghia 1 care este articulată față de axa arborelui I. La extremitatea opusă a pîrghiei 1 sunt plasati traductoari 2 fixați față de carcasa mașinii.

Se determină forța tangențială F_t variabilă funcție de momentul de torsion existent la arborele principal AP.

Cu notările din figura 4.17 se pot scrie relațiile :

$$M_t = F_{t_2} \cdot \frac{mz_2}{2} \text{ deci } F_{t_2} = \frac{2M_t}{mz_2} \quad (4.8)$$

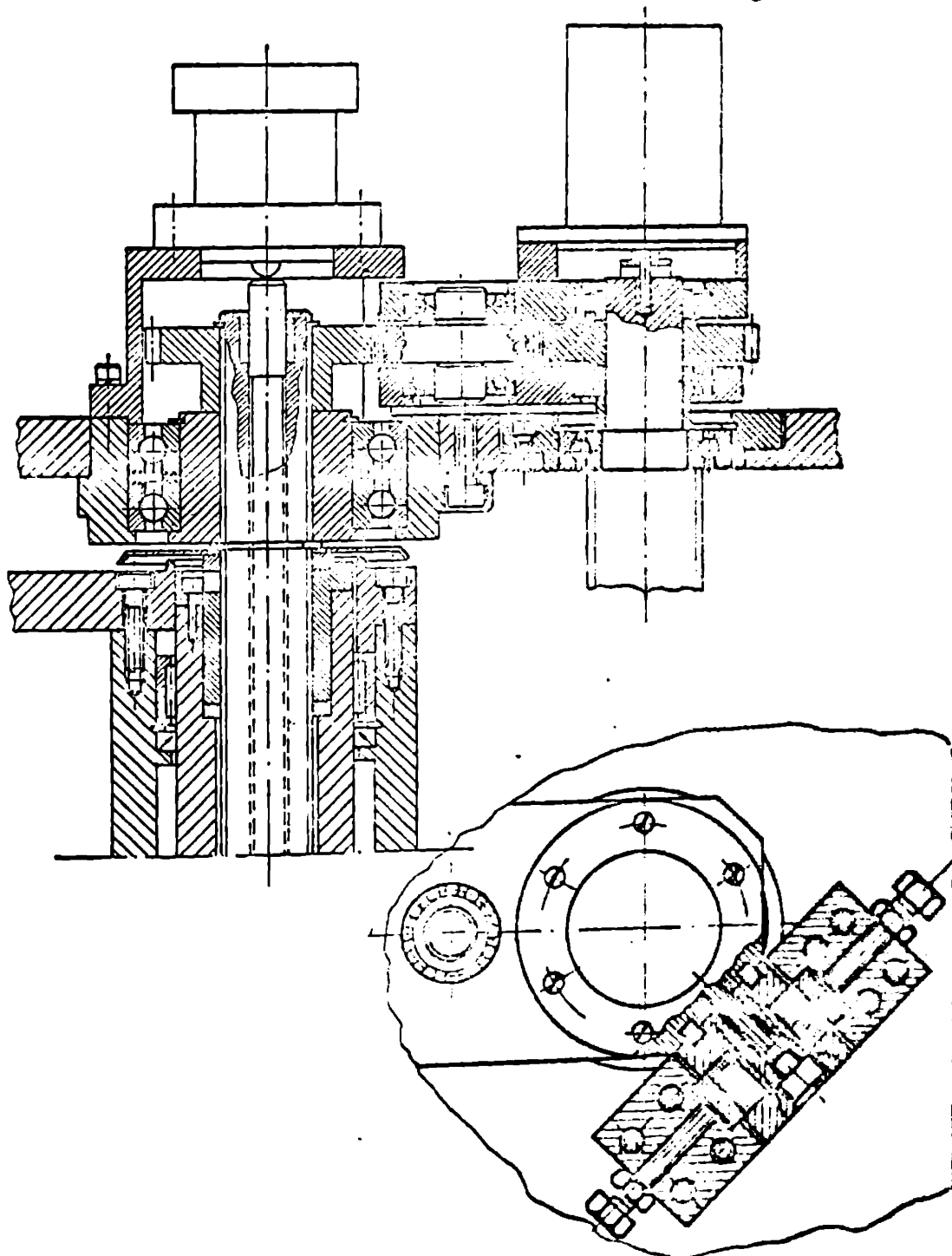
neglijindu-se frecările din angrenaj și lăsîre

$$\begin{aligned} F_{t_2} &= F_{t_1} \text{ și deci} \\ 2F_{t_2} \cdot l_1 &= F_c \cdot l_2 \text{ sau } F_c = 2F_{t_2} \cdot \frac{l_1}{l_2} \end{aligned} \quad (4.9)$$

în care: F_c este forță ce acționează asupra truductorilor 2;
 l_1, l_2 - dimensiunile de gabarit ale părghiei.
nlocuind (4.8) în (4.9) se obține forță de truductor:

$$F_c = \frac{4 M_t}{mz} \cdot \frac{l_1}{l_2}$$

relație din care se observă că forță de truductor depinde de momentul de torsiune și de raportul brațelor părghiei 1.



6.4.18. Construcția componentului truductor pentru momentul de torsiune la mașina GP45 NC/AC

Sistemul a fost adaptat mașinii de găurit GP 45-NC/AC așa cum este prezentat în figura 4.18 și a dat rezultate foarte bune.

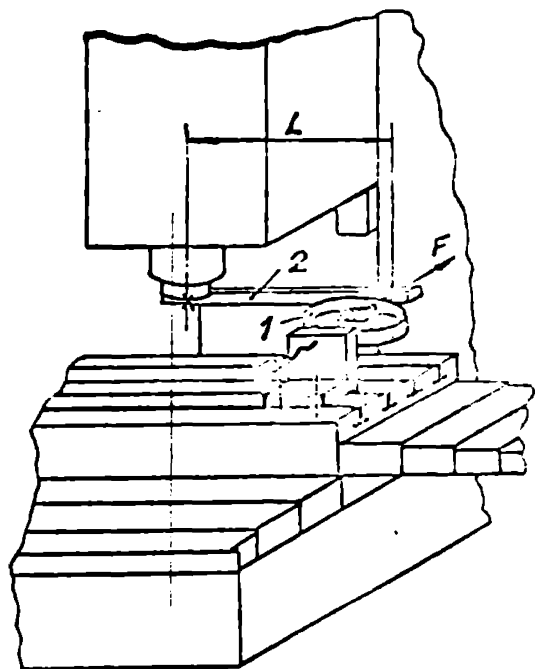


Fig. 4.19. Etalonarea pentru momentul de torsiune.

Etalonarea s-a efectuat cu un dinamometru inolar 1 cu care s-a realizat o forță F la distanță L de axa de rotație asupra unei tije 2 fixată în arborele principal al mașinii așa cum este prezentat în figura 4.19. Rezultatele etalonării sunt prezentate în tabelul 4.3. iar diagrama de etalonare în figura 4.20.

De remarcat că sensibilitatea componentului poate fi modificată relativ ușor prin sistemul electronic aferent, astfel încât se poate obține tensiunea U [V] dorită (de ex. 10 Vcc) pentru momentul de torsiune maxim admis (de ex. 25.000 daN.mm).

Tabelul 4.3

Diviziuni la comparotorul dinamometricului	Forța dinamometrică F [daN]	Lungimea L [mm]	Momentul dinamometric M_{dim} [daNm]	Tensiunea U [V]	
				Undreapta	Desupra
0	0	182	0	0	0,3
5	13,75		2250	0,98	1,1
10	27,5		5000	1,96	2,08
15	41,25		7500	3,02	3,12
20	55,0		10000	3,97	4,15
25	68,75		12500	4,95	5,03
30	82,5		15000	6,00	6,21
35	96,25		17500	6,98	7,15
40	110,0		20000	7,97	8,12
45	123,75		22500	9,02	9,08
50	137,5		25000	10	10

d. Component de măsură a momentului de torsion prin măsurarea reacției din lagăr.

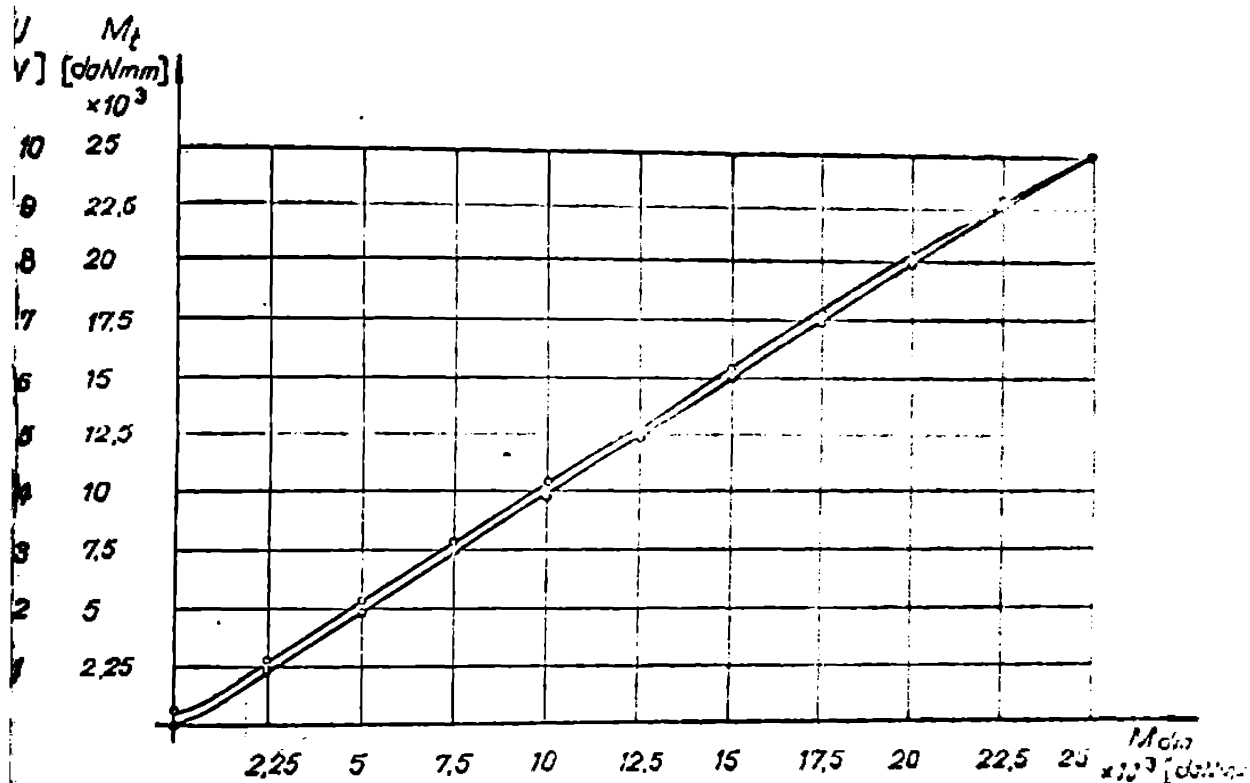


Fig.4.20 Diagrama de etalonare pentru momentul de torsion

Schema componentului este prezentată în figura 4.21.

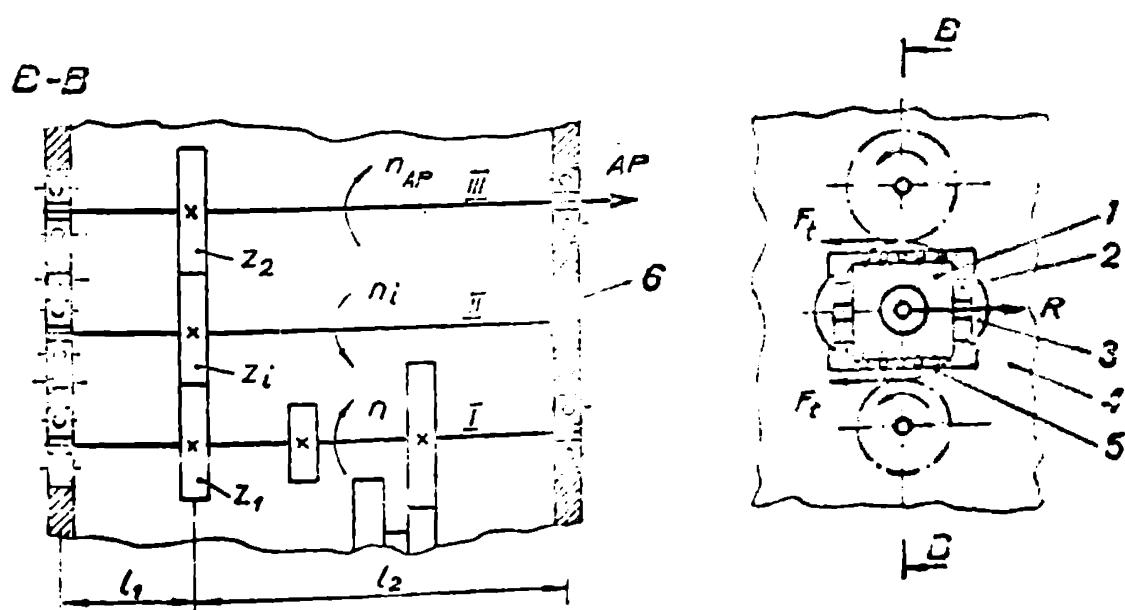


Fig.4.21. Schema componentului pentru măsurarea momentului de torsion prin reacție din lagăr.

Măsurarea momentului de torsiu măsurat către arborele principal al mașinii-unelte se face prin determinarea mișcării rotunii dintr-un lagăr, corespunzătoare forțelor de angrenare.

Pentru un moment de torsiu M la arborele de mijloc II și componentului, proporțional cu momentul de torsiu la arborele principal M_{AP} și conform notatiilor din figura 4.21 se poate determina reacțiunea R din lagărul stîng pe direcția forțelor F_t (neglijind forțele de frecare) cu relația:

$$R = \frac{2 F_t \cdot l_2}{l_1 + l_2} \quad [\text{daN}]$$

și doarăce:

$$M = \frac{F_t \cdot mz_i}{2} \quad [\text{daN} \cdot \text{mm}]$$

rezultă că :

$$R = \frac{4M \cdot l_2}{mz_i (l_1 + l_2)} \quad [\text{daN}]$$

relație care arată că reacțiunea R depinde de momentul de torsiu transmis M și de dimensiunile geometrice ale construcției.

Pentru măsurarea reacțiunii R s-a proiectat construcția schematizată în figura 4.21,) având carcasa portlagăr 1 cu grad de libertate pe direcția F_t fată de carcasa mașinii 4 datorită existenței rolelor 5 și a rulmentului oscilant 6.

Traductorii 2 sunt plasati astfel încât să sizează variația reacțiunii R , fiind pretensionați cu penole 3.

Sistemul este utilizat la mașina de cojitură bare proiectată de către colectivul de Mașini-unelte al catedrei T.C.M. la solicitarea Intreprinderii din Oțelul Roșu și reprezintă o contribuție originală a autorului și a conducătorului științific la realizarea unui sistem pentru măsurarea momentului de torsiu.

Un sistem similar, a fost proiectat, realizat și încercat pentru mașina de rectificat /34/.

4.4. Concluzii

Au fost proiectate, realizate și experimentate o serie de construcții de traductoare și componente de mijlocuri pentru forțe axiale și momentul de torsiu utilizabile la diferite mașini - unelte, folosind ca element de bază traductorul magnetoelectric.

Construcțiile au o serie de calități : rigiditate bună, sensibilitate, inerție mică, stabilitate etc. și ne dovedesc știrea de a fi utilizate pentru conenzi adaptive la mașini-unelte, sisteme de protecție, de autodiagnosticare a stării scutului etc.

Prin găsirea unor soluții judicioase de amplasare a trunchiilor și componentelor s-a reușit să se mărească cît mai multe forțele și momentele din procesul prelucrării fără să fie afectate proprietățile de ansamblu ale mașinii.

Cu unele mici modificări constructive, componentele prezentate pot fi aplicate la o gamă largă de mașini-unelte.

5. STABILIREA ALGORITMULUI COMENZII ADAPTIVE A AVANSULUI LA GAURIRE

Prelucrarea cu parametrii ai regimului de aşchierare constantă și stabiliți prin calcule se dovedește la ora actuală tot mai insuficientă deoarece calculele nu pot ține cont de multitudinea influențelor unor factori perturbatori.

Pentru creșterea eficienței prelucrării prin aşchierare este necesară stabilirea optimă a parametrilor regimului de lucru care este posibil la construcțiile moderne de mașini-unelte prin utilizarea comenzi adaptive (CA). Aceasta asigură reglarea, chiar în timpul procesului de prelucrare, a unui sau a mai multor parametrii de aşchierare conform unui algoritm prestabilit.

Stabilirea algoritmului depinde de scopul urmărit prin utilizarea CA, adică de criteriul de optimizare, care să cum o-a arătat în paragraful 1.2 poate fi: creșterea capacitateii de producție a mașinii-unelte (a prelucrării) și/ sau precizia de prelucrare și cel mai mic costul minim al operațiiei.

Pentru deducerea algoritmului se aduce o anumită strategie pe baza căreia să se modifice mărimea de ieșire, pentru unuia mărimi de intrare și referință, funcție de variația factorilor perturbatori.

In /39/ se demonstrează că pentru a fi îndeplinit criteriul costului minim al operațiiei este necesar ca interval din procesul prelucrării să fie cât mai mare posibil (limitat de către rezistența burghiului sau de posibilitățile mașinii-unelte). Astfel, pentru cazul găuririi, criteriul costului minim al operațiiei este identic sau foarte apropiat de criteriul capacitateii de producție maxime.

5.1. Alegerea mărimi de referință

In general prelucrarea furilor nu este o operație de finisare. In majoritatea cazurilor pentru obținerea unei calități mai bune a suprafetei prelucrate se recurge la prelucrări ulterioare

do alozare, rectificare etc. Sunt mai rare cazurile cind prelucrarea trebuie să realizeze o precizie dimensională și calitatea suprafetei prelucrate foarte bună. Din acest motiv în primul rînd, s-a admis ca și criteriu de optimisare principal, creșterea capacitatei de producție a utilajului pe care se instalează CA, respectiv realizarea unor găuri "intensive". Acest criteriu de optimizare a fost admis și de către marca majoritate a cercetătorilor, din domeniul CA la găuri /6/, /7/, /8/, /9/, /19/, /39/, /43/, /50/, /58/, /79/, /80/, /81/, /91/.

Este preferabil ca sistemul CA să poată lucra și după alte criterii, cum ar fi precizia orificiului prelucrat etc. la care mărimea controlată să fie momentul de torsiune iar ceea ce reglață avansul.

Mărimele de referință trebuie astfel alese încât prin intermediul acestora să poată fi realizate funcțiile CA și să se poată controla parametrii procesului de prelucrare. Având în vedere funcțiile CA realizate pînă în prezent, factorii care influențează procesul prelucrării la găuri și regimul de aschicare la găuri, ca mărimi de referință pot fi admise: puterea la acționarea principală, momentul de torsiune la burghiu, forța axială sau (mai complex) o combinație a acestora.

Dacă se alege ca mărime de referință puterea la acționarea principală, trebuie ținut cont de turăția de antrenare a burghiului, de randamentul variabil al acționării principale funcție de turăția la arborele principal, ceea ce complică peretea logică (și deci electronică) CA.

Majoritatea autorilor /8/, /9/, /19/, /79/, /80/, /81/, /91/ consideră ca fiind avantajoasă alegerea momentului de torsiune la burghiu ca mărime de referință. În felul acesta, majoritatea factorilor care influențează procesul de prelucrare pot fi luati în considerare (prin influența pe care o au asupra momentului de torsiune la burghiu). Dintre avantajele pe care le conferă alegerea momentului de torsiune la burghiu ca mărime de referință se numără:

- posibilitatea determinării directe, în timpul prelucrării, a încărcării burghiului, fără influența unor momente de frecare din transmisiile intermedii;
- simplitatea stabilirii unui algoritm pentru CA;
- simplificarea sistemului electronic al CA;

- fidelitate și comportare dinamică bună prin emplasarea sistemului de măsură în apropierea arborelui principal etc. O parte din avantajele enumerate aparțin și forței axiale. Totuși foarte rar s-a admis ca mărimea de referință forță axială /50/ și numai pentru avantajul că poate fi măsurată cu mai multă ușurință, în comparație cu momentul de torsion.

Se consideră că, deși în literatura de specialitate forța axială este puțin folosită în CA, totuși acestuia mărime este necesară pentru realizarea unor funcții de limitare, protecție sau comandă a procesului de prelucrare.

5.2. Algoritmul comenzi adaptive a avansului funcție de criteriul capacitatii de producție maxima.

La stabilirea algoritmului se caută ordonarea unor dependențe între parametrii reglabili și mărimea de referință. De asemenea algoritmului se va face pe baza relațiilor dintre parametri tehnologici și de forță la găuriere. Se va căuta determinarea modului de variație a momentului de torsion de referință, astfel încât acesta să țină cont de restul mărimilor care influențează procesul prelucrării.

La stabilirea algoritmului trebuie avute în vedere caracteristicile concrete ale utilajului pe care se instalează CA pentru stabilirea limitărilor referitoare la mașina-uncală.

Pentru mașina GP 45 NC/AC principalele date sunt :

$$n_{\min} = 56 \text{ rot/min} \quad n_{\max} = 2500 \text{ rot/min}$$

$$s_{\min} = 4 \text{ mm/min} \quad s_{\max} = 4000 \text{ mm/min}$$

$$P_{\max} = 2000 \text{ daN} \quad M_{t_{\max}} = 25.000 \text{ daN} \cdot \text{mm}$$

$$P_{\max} = 4 \text{ kw}$$

$$d_{\min} = 3 \text{ mm} \text{ (limită de accesoriile cu care este dotată mașina)}$$

$$d_{\max} = 63 \text{ mm}$$

5.2.1. Momentul de torsion maxim admis de către burghiu

Așa cum s-a arătat în paragraful 3.1.1. regimul de măriere poate fi stabilit funcție de rezistență burghiului, precizia lucrării prelucrate etc.

Momentul de torsion la ruperea gurghiului se determină conform /55/ cu relația:

$$M_{rb} = w_p \cdot \sigma_t [daN.m] \quad (5.1)$$

în care:

$w_p = 0,02D^3$ [mm³] este modulul de rezistență polar;

$$\sigma_t = \frac{\sigma_r}{1,75} \quad \begin{array}{l} \text{- efortul admisibil la forfecere} \\ (\sigma_r = 210 \text{ daN/mm}^2 \text{ pentru oțel rapid}) \end{array}$$

D - diametrul buștei lui

Rezultă că :

$$M_{rb} = 0,04 D^3 [daN.cm] \quad (5.2)$$

Dacă se admite un coeficient de siguranță c = 2.5..., momentul de torsion Mb la burghiu este :

$$Mb = \frac{M_{rb}}{c} = \frac{0,04 \cdot D^3}{c} [daN.cm] \quad (5.3)$$

După alți autori /39/ momentul la rupere se determină prin relația :

$$M_{rb} = 1,3 D^{2,7} [daN.cm] \quad (5.4)$$

Prin adăugind un coeficient de siguranță c = 1...7 rezultă momentul de torsion Mb la burghiu va fi :

$$Mb = \frac{M_{rb}}{c} = \frac{1,3 \cdot D^{2,7}}{c} [daN.cm] \quad (5.5)$$

Relațiile (5.3) și (5.5) conduc la valori corespunzătoare ale momentului de torsion, pentru diametre D cuprinse între 15...35 mm. Se va adopta în continuare relația (5.5).

Pentru diametrii de variajii acceptati și diametrii D la burghiu, variajia momentului de torsion Mb este prezentată în diagrame din figură 5.1.

Acest moment de torsion la burghiu nu poate fi sănătosat în formă progresivă, și există perioade de intensitate nesimilabile.

- restricție axială - producă un simbol de către magina de cearărit;
- restricție laterală axiale - produsă la măsură ce se limită la axiale (lărgirea);
- există și alte restricții - produse de apărarea regimului, tururile de măsură și de apăsare și încălzire și scăzută a tensiunii la 10%.

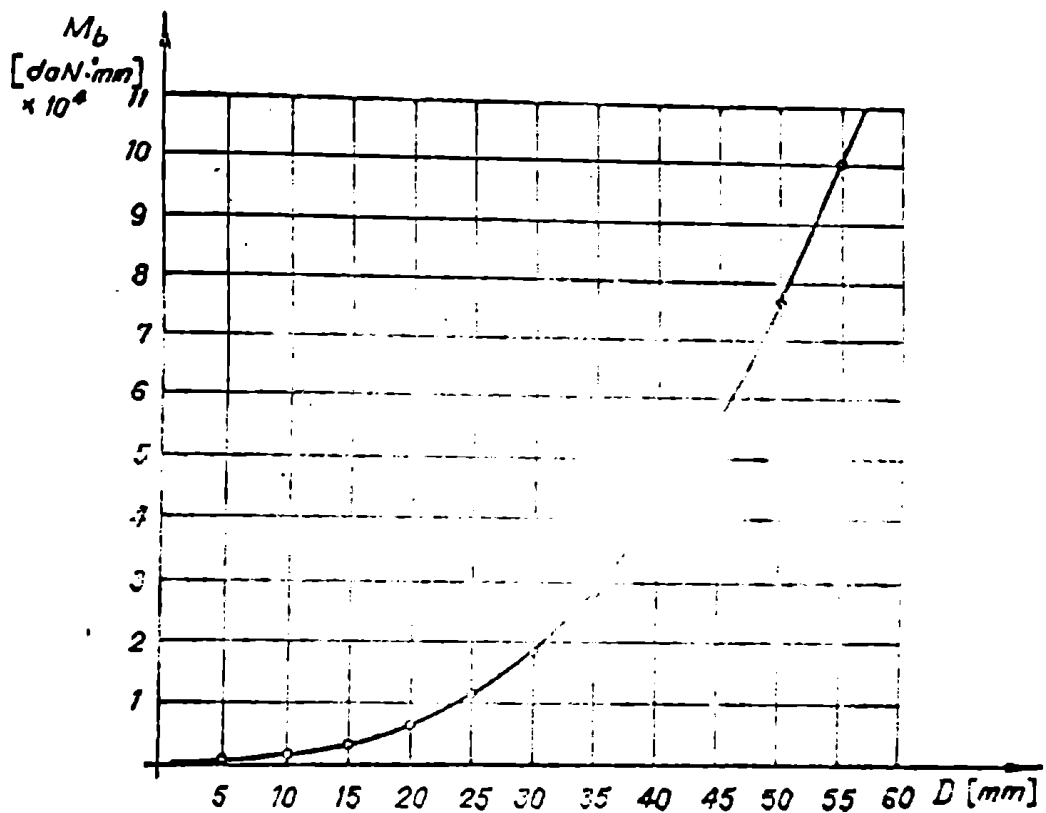


Fig.5.1. Momentul de torsiune la care rezistă burghiul.

5.2.2. Influența momentului de torsiune maxim admis de către mașina de găurit.

Fiecare mașină-uncoltă, prin construcția ei, asigură un anumit moment de torsiune maxim la arborele principal.

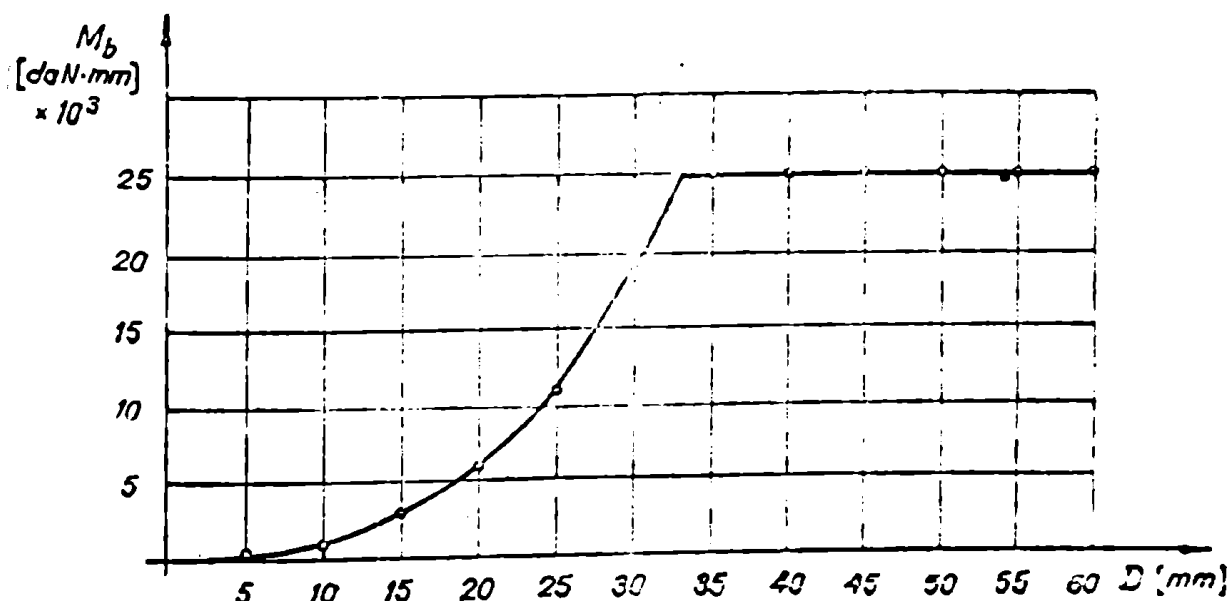


Fig.5.2. Momentul de torsiune limitat de către mașină. În cazul mașinii GP 45 KC/AC, acest moment este limitat la

$M_{max} = 25.000$ [daN.mm]. Rezultă că momentul de torsiune din procesul prelucrării nu trebuie să depășească această valoare și ca atare diagrama de variație a M_b funcție de D va avea forma din figura 5.2.

Pentru această variație a M_b , avansul de găuri se determină conform /65/ din relația :

$$M_b = C_M \cdot D^{x_M} \cdot s^{y_M} HB^n \quad [\text{daN.mm}] \quad (5.6)$$

în care:

C_M este coeficient funcție de materialul prelucrat
(Tab.12.39 /65/);

$x_M; y_M; n$ - exponenți funcție de materialul prelucrat
(Tab.12.40 /65/);

în unde: HB → duritatea materialului prelucrat (Tab.12.40/65/)

$$s = \sqrt{\frac{M_b}{C_M \cdot D^{x_M} HB^n}} \quad [\text{mm/rot}] \quad (5.7)$$

Pentru câteva materiale, avansurile calculate cu relația (5.7) sunt prezentate în diagrama din figura 5.3.

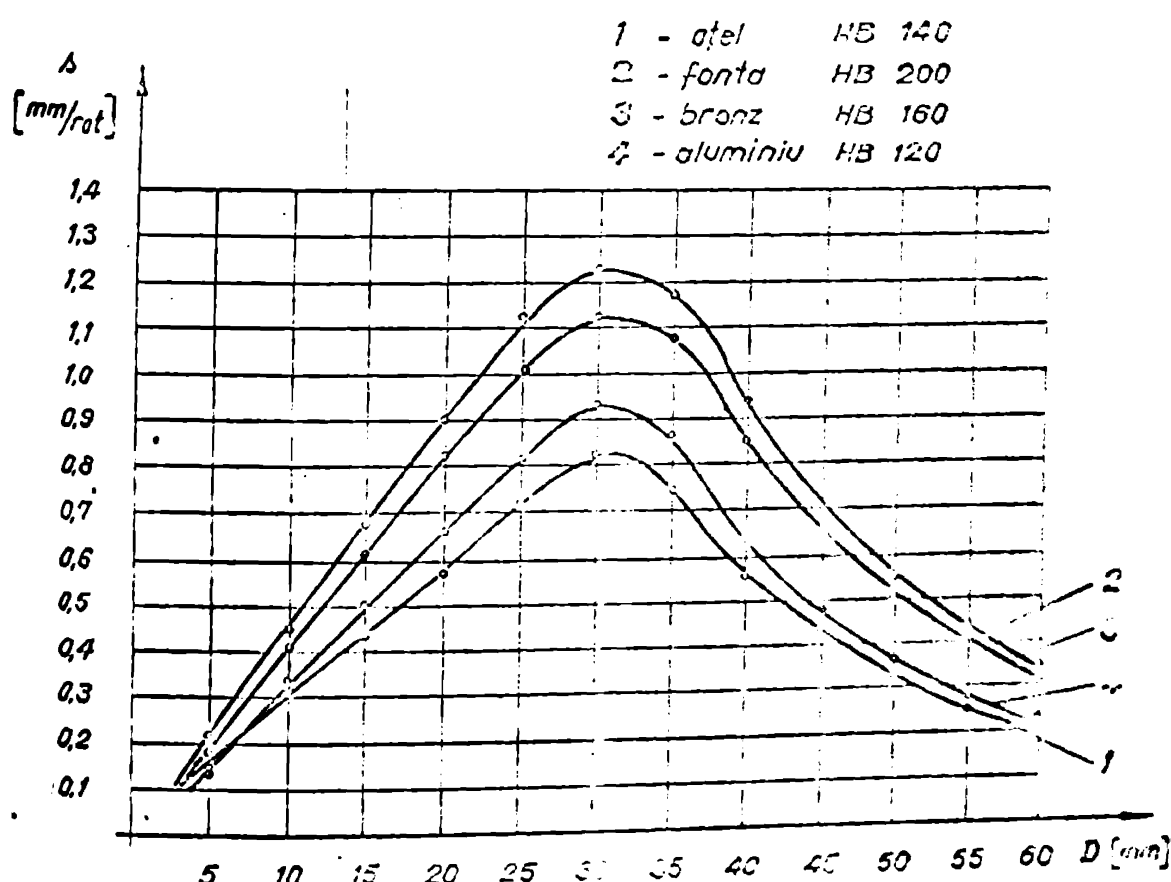


Fig.5.3. Variația avansului pentru momentul de torsiune limitat.

Din comparația valorilor avansurilor prezentate în tabelul 3.1 cu cele din diagrama 5.3 rezultă că acestea din urmă sunt mai mari cu cca 25...35% pentru diametrele ale burghielor de 25...30 mm. Pentru valori mai mari ale diametrelor burghielor avansul scade datorită momentului de torsie al mașinii de găurit, limitat la o valoare constantă (fig.5.2).

5.2.3. Influența forței axiale

Valorile avansurilor calculate cu relația (5.7) conform Nb prezentate în figura 5.3, nu pot fi acceptate dacă nu verifică condiția forței axiale limitată de mașina de găurit și a condiției de stabilitate la flambaj a burghiului.

Pentru a verifica dacă forța axială F_a maximă în procesul de prelucrare nu depășește valoarea forței axiale maxime admisă de către mașina de găurit, se vor determina forțele axiale conform avansurilor din figura 5.3. Forța axială se calculează /65/ cu relația:

$$F_a = C_p \cdot D^{x_p} \cdot s^{y_p} \cdot n^{\eta} \quad [\text{daN}] \quad (5.3)$$

în care: C_p este coeficient (Tab.12.39 /65/)

$x_p; y_p; \eta$ – exponenți (Tab.12.40 /65/)

Variatia forțelor F_a pentru câteva materiale de prelucrat este prezentată în figura 5.4.

Se observă din diagramă că pentru anumite diametre cuprinse între 27...48 mm forța axială admisă de mașină este depășită și ca atare se impune corectarea momentului de torsion Nb pentru acest material. Corectarea se face recalcând valoarea avansului pentru care $F_a = 2.000 \text{ daN}$ și recalculând momentul Nb pentru acest avans.

Deoarece aceste calculi ar trebui făcute pentru foarte multe materiale (și pentru unele dintre acestea nu există în literatura de specialitate date asupra coeficienților și exponenților din relațiile de calcul pentru forță și moment) s-a impus realizarea sistemului de comandă astfel încât forța axială în care să se întrerupă procesul prelucrării să fie reglabilă.

In acest fel se asigură protecția mașinii, realizându-se întreruperea prelucrării și retragerea burghiului, dacă forța axială din procesul prelucrării depășește 2000 daN precum și

protecția burghiului prin intreruperea prelucrării dacă forța axială din proces depășește forța de flambaj a sculei.

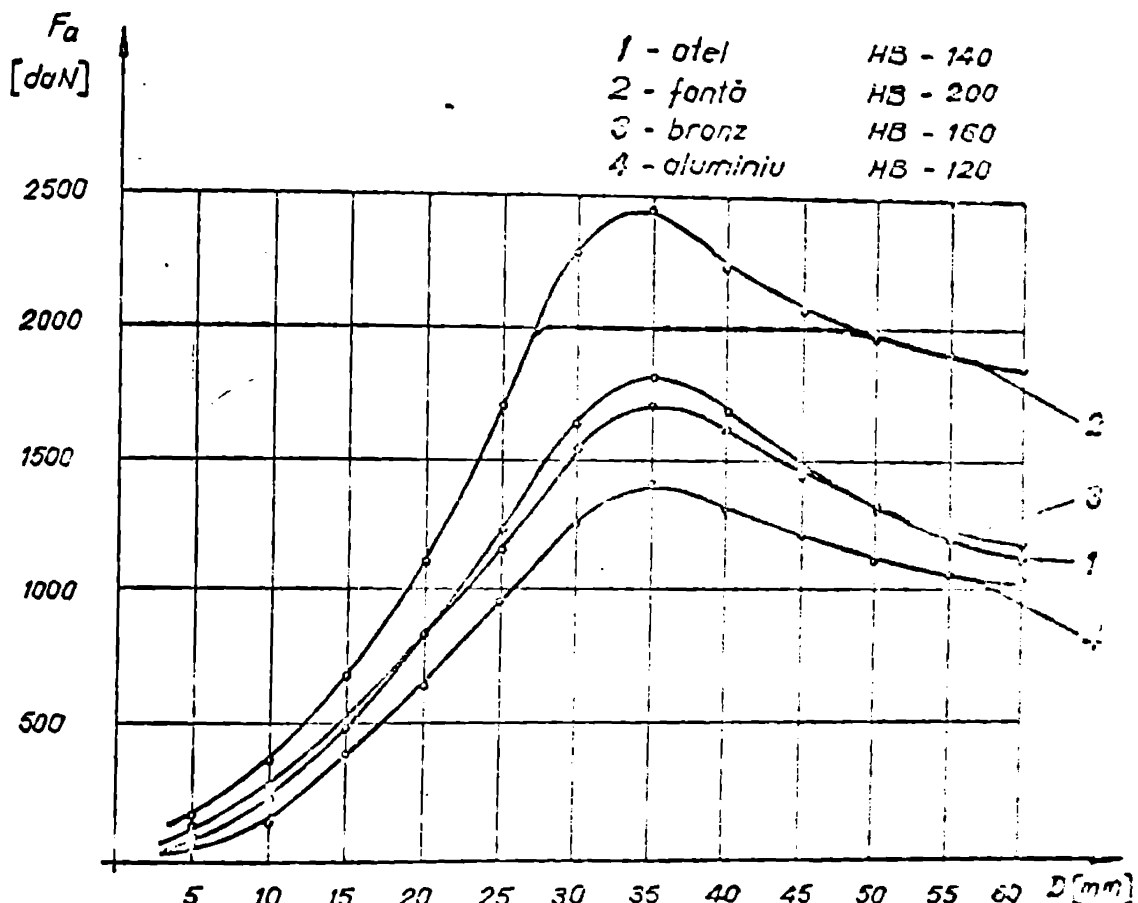


FIG. 5.4. Variatia forței axiale pentru momentul de torsiune limitat

Burghiul prin construcție sa, are o stabilitate axială redusă (tendință de flambaj) în special pentru diametru sub 12 mm. Este nevoie deci să se țină cont la stabilirea momentului de torsiune a burghiului și de această solicitare.

Se știe că pentru o bară articulată la ambele capete forța critică de flambaj F_f se determină cu relația:

$$F_f = \frac{K \cdot E \cdot I_{min}}{l_f^2} \quad (5.9)$$

în care: K este coeficient de stabilitate (pentru burghie $K = \bar{\rho}^2$),

E – modulul de elasticitate (pentru oțel $E = 20.000$ [daN/mm²]);

I_{min} – momentul de inerție minim (pentru burghie

$$I_{min} = 0,0043 D^4 [\text{mm}^4];$$

l_f – lungimea de flambaj.

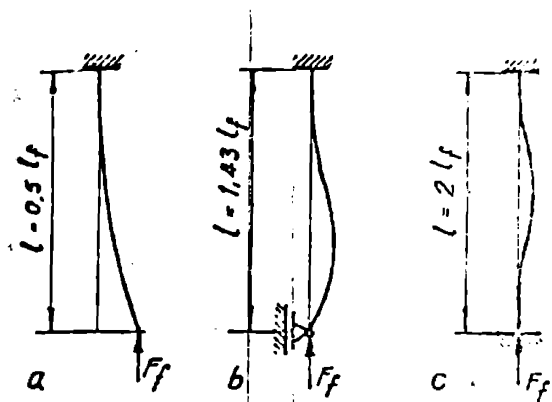


Fig. 5.5. Cazurile de flambaj b, c, sunt prezentate în tabelul 5.1. pentru trai timuri de burghiu :

- burghiu elicoidal lung cu coadă eliptică (STAS 574-73);
- burghiu elicoidal cu coadă conică (STAS 575-73);
- burghiu elicoidal lung cu coadă cărăpată (STAS 577-73).

Din comparația datelor din tabelul 5.1 cu cele din diagramele din figura 5.4, rezultă că pentru cazul a trei tipuri de burghiu semnificative ale momentului de torsion, precum și de vîrfurilor depășiri ale forței axiale critice de flambaj. Se poate constata evansul, care să nu producă depășirea forței axiale critice și continuarea momentului de torsion.

Dacă la prelucrare se folosește o bucată de ghidare pe segmentul de flambaj al burghiului unor număr de învelișe sub 10 : diametru.

Tabelul 5.1

Diam. burghiu inert. <i>D</i> [mm]	Mom. burgh. <i>I</i> [mm ⁴]	Burghiu STAS 574-73			Burghiu STAS 575-73			Burghiu STAS 577-73		
		Lung. burgh.	Forța de flambaj <i>F_{fa}</i> [daN]	Forța de flambaj <i>F_{fb}</i> [daN]	Lung. burgh.	Forța de flambaj <i>F_{fa}</i> [daN]	Forța de flambaj <i>F_{fb}</i> [daN]	Forța de flambaj <i>F_{fc}</i> [daN]	Forța de flambaj <i>F_{fa}</i> [daN]	Forța de flambaj <i>F_{fb}</i> [daN]
5	2,687	87	5,58	44,2	89,2	-	-	-	-	-
10	43	121	46,1	356,1	738,1	102,5	64,3	510,1	102,5	102,5
15	217,7	144	165	1308	2638	132	106,3	1557,3	-	125
20	688	166	392	3112	-	158	433	-	235	106
25	1620	-	-	-	-	162	797	6321	-	250
30	3483	-	-	-	-	137	1110	1110	-	275

Momentul de torsiune obținut prin metoda prezentată reprezintă momentul de torsiune de referință M_r funcție de către care se conduce procesul de prelucrare.

Diagramele momentului de torsiune de referință M_r se trasează deci ținând cont de restricțiile precizate anterior. Astfel pentru cazul b de flimbaj și caracteristicile magazinii GP 45 NC/AC, pentru cîteva materiale de prelucrat, diagramele au forma din figura 5.6.

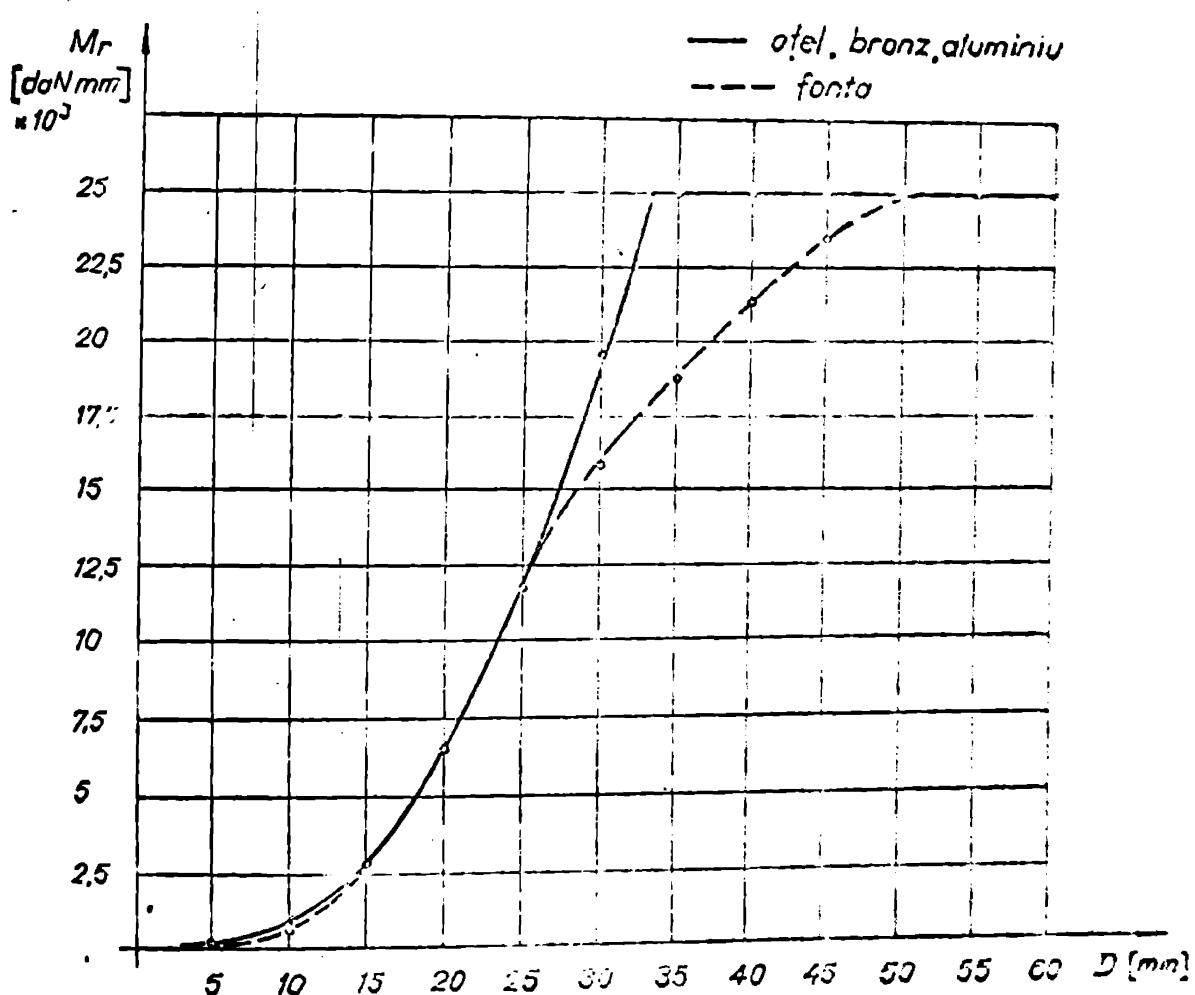


Fig. 5.6. Momentul de torsiune de referință

Conform acestor diagrame se reglează pe magazinul valoarea momentului de torsiune de referință funcție de diametrul burghiului și de materialul de prelucrat.

Deoarece calculurile necesare pentru stabilirea momentului de torsiune de referință sunt relativ laborioase necesitând un volum mare de muncă, s-a elaborat un program de calcul folosind calculatoarea electronică.

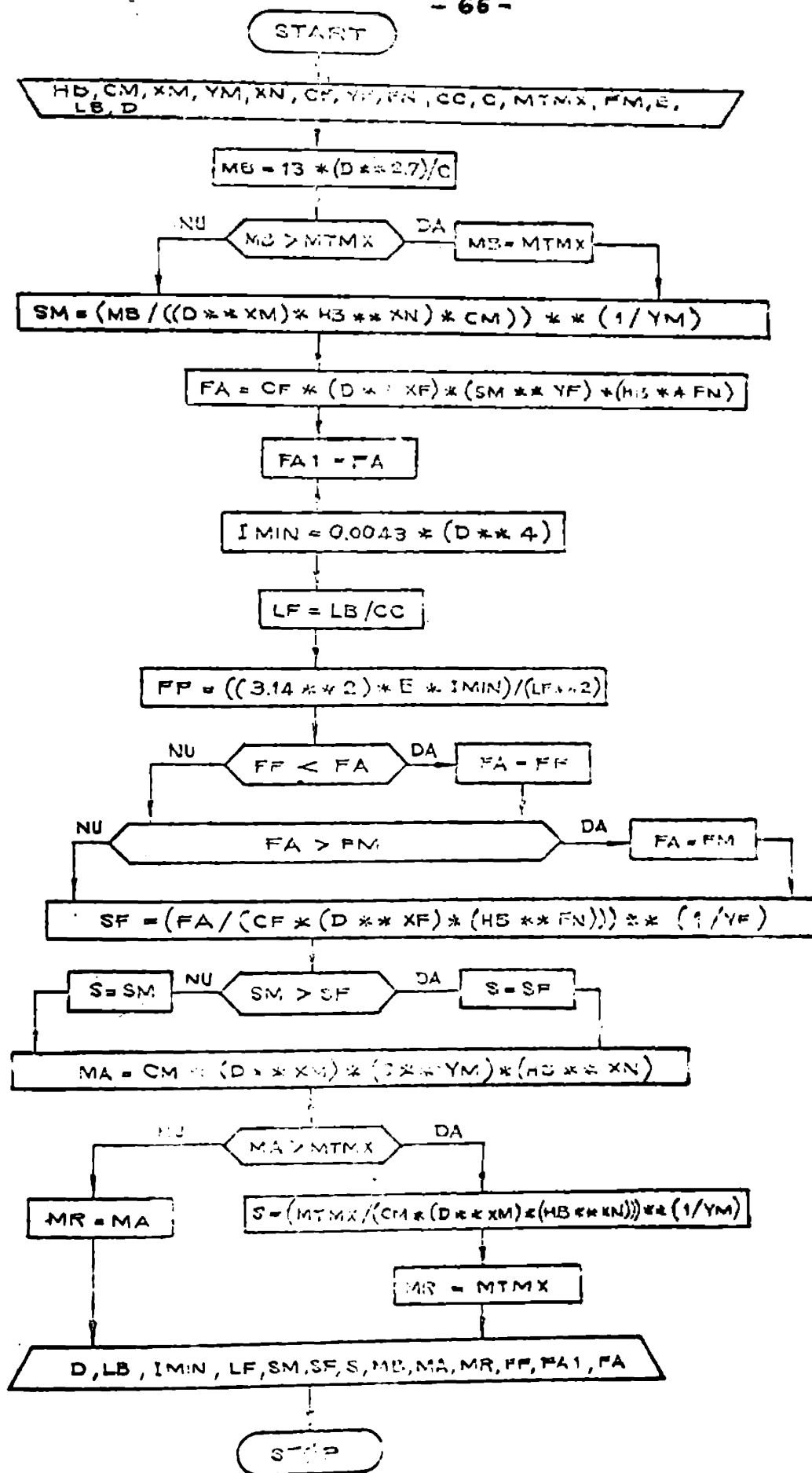


Fig.5.7. Organigramma programului pentru calculul momentului de torsiune de referință.

Organograma prezentată în figura 5.7 cuprinde etapele descrise mai sus.

Pentru întocmirea programului trebuie definite de către utilizator următoarele mărimi, simbolizate după cum urmează :

- MTMX = momentul de torsiune maxim admis de către magina de găurit [daN-mm] ;
FM = forță axială maximă admisă de magina de găurit [daN] ;
D = diametrul burghiului [mm] ;
LB = lungimea burghiului [mm] ;
HB = duritatea materialului în unitate Brinell ;
C = coeficient de siguranță din expresia momentului de torsiune admis de la rulaj ;
CC = coeficient critic de rulaj ;
E = modulul de elasticitate al materialului burghiului [daN/mm²] ;
CM = constantă de material din expresia momentului de torsiune la găurire ;
XM = exponent al diametrului burghiului din expresia momentului de torsiune la găurire ;
YM = exponent al avansului din expresia momentului de torsiune la găurire ;
XN = exponent al durității materialului de prelucrat din expresia momentului de torsiune la găurire ;
CF = coeficient de material din expresia forței axiale la găurire ;
XF = exponent al diametrului burghiului din expresia forței axiale la găurire ;
YF = exponent al avansului din expresia forței axiale la găurire.

Mărimele calculate de către calculator în urma rulării programului (și notările utilizate) sunt :

- MB = momentul de torsiune maxim admis de către burghiu [daN-mm] ;
SM = avansul calculat din mărimea momentului de torsiune la burghiu [mm/rot] ;
FAL = forță axială calculată utilizând SM [daN] ;
ININ = momentul de inerție minim al burghiului [mm⁴] ;
LF = lungimea critică de rulaj [mm] ;
FP = forță critică de flexiune [daN] ;

- PA - forță axială curentă la burghiu [daN];
- SF - avansul calculat din mărimea forței axiale [mm/rot];
- S - avansul de lucru adoptat [mm/rot];
- MA - momentul de torciune la găuriro [daN.mm];
- MR - momentul de torsiune de referință [daN.cm].

Folosind acest program de calcul electronic se poate stabili într-un timp foarte scurt mărimea de referință M_r a momentului de torsiune.

5.2.4. Variatia avansului și modul de comandă al retragerilor periodice pentru curățirea și răcirea burghiului.

Procesul de prelucrare decurge astfel încât momentul de torsiune din proces să se păstreze cît mai constant și cît l cu momentul de torsiune de referință M_r .

Se poate scrie egalitatea :

$$M_r = M_a + \sum M_f$$

în care:

M_a este momentul de eșchicre;

$\sum M_f$ - suma momentelor de fricare dintre burghiu și orificiu și dintre eșchii, burghiu și orificiu.

Pentru cazul $\sum M_f = 0$ (5.6)

$$M_b = M_a = C_M \cdot D^{X_M} \cdot s^{Y_M} \cdot H B^n \quad [\text{daN} \cdot \text{mm}]$$

rezultă că:

$$M_r = C_M \cdot D^{X_M} \cdot s^{Y_M} H B^n + \sum M_f \quad (5.11)$$

iar avansul să va avea valoarea variabilă :

$$s = \sqrt{\frac{M_r - \sum M_f}{C_M \cdot D^{X_M} \cdot H B^n}} \quad [\text{mm/rot}] \quad (5.12)$$

îndând maxim la începutul prelucrării și scăzând pe măsură ce $\sum M_f$ crește.

Variatia avansului să funcție de D stabilită pe baza momentului de torsiune de referință M_r pentru cazul cînd $\sum M_f = 0$ și într-o cîteva materiale de prelucrat este prezentată în figura 5.3. În modică față de diagrama din figura 5.3 se va produce pentru burghiie sub 10 mm diametru și pentru fante pentru burghie între 25...50 mm diametru.

Din relația 5.12 se observă că dacă $\sum M_f$ tinde la M_r , s tinde la 0.

Se pune deci problema cît se poate admite scăderea avansului față de valoarea inițială pentru a stabili momentul în care se comandă retragerea sculei pentru curățire și răcire.

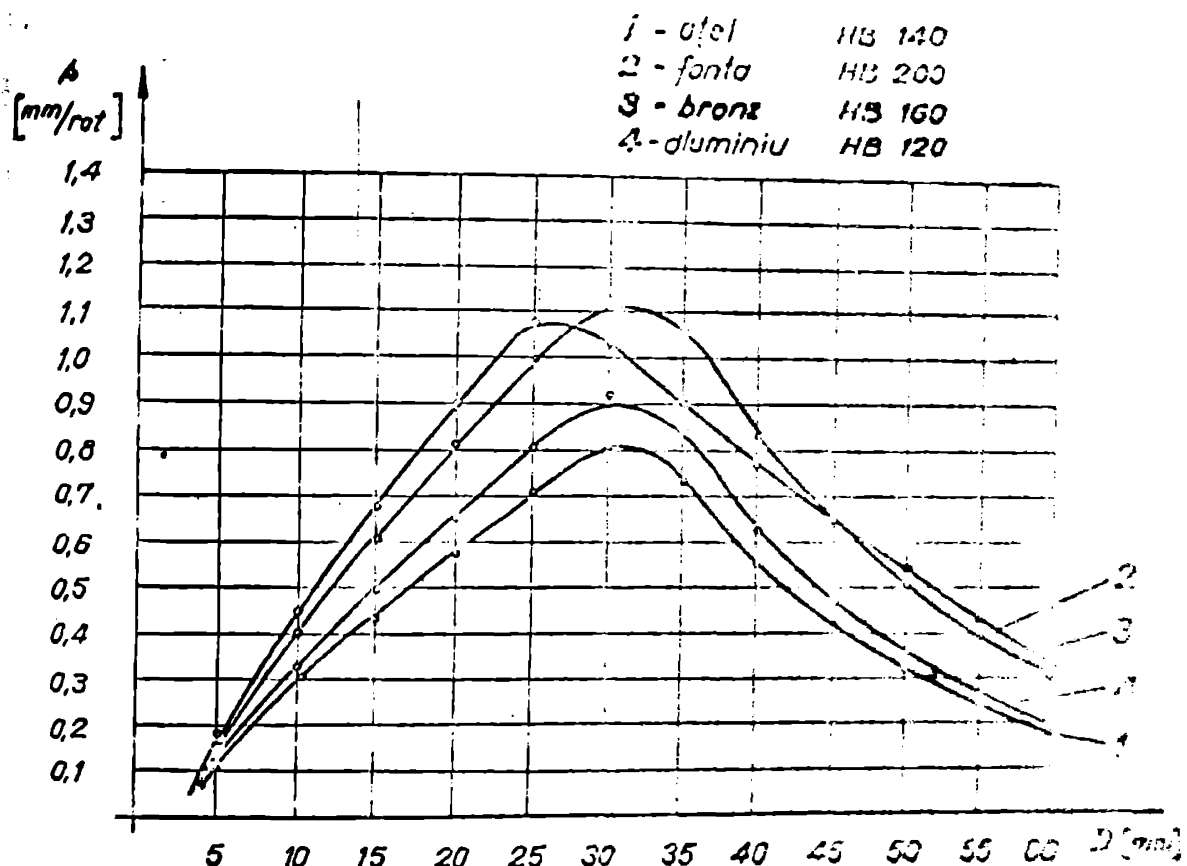


Fig. 5.8. Variația avansului pentru momentul de torsion de referință

In literatură de specialitate sunt rutine indicatii referitoare la avansul minim admis s_{min} funcție de di metru. O recomandare este redată în tabelul 5.2

Tabelul 5.2								
Diametrul burghiului D [mm]	2÷3	3÷4	4÷7	7÷10	10÷13	13÷16	16÷25	25÷35
Avans: minim admis s_{min} [mm/rot]	0,03	0,04	0,05	0,08	0,1	0,12	0,15	0,18

Din compararea valorilor din tabelul 5.2 cu cele din tabelul 3.1 se observă că scăderea avansului este acceptabilă pînă la cca 20...25% din valoarea avansului inițial.

Pentru a putea face comanda retragerilor periodice trebuie să se compare s [mm/rot] cu s_{min} [mm/rot].

Deoarece mașina pe care se instalează CA trebuie că să își avansă regabil continuu acesta este realizat sub forma unei viteze de avans s_v [mm/min] cu lărță cinematic independent și pentru a se putea realiza compararea, s_v trebuie transformat în s [mm/rot]. Transformarea se poate face determinându-se cu un tachogenerator tensiunca U_{av} proporțională cu turările la arborele principal și cu un alt tachogenerator tensiunca U_{av} proporțională cu viteza de avans și efectuându-se împărțirea tensiunilor respective :

$$s = \frac{s_v}{n} = \frac{U_{av}}{U_n} \quad [\text{mm/rot}] \quad (5.13)$$

Realizarea unei împărțiri electronice cu tensiuni analogice s-a dovedit mai scumpă în realizare și complicată deci parte electronică a comenzi adaptive. Din această cauză s-a încercat realizarea retragerilor pe baza comparării forței axiale inițiale F_{ai} corespunzătoare începutului procesului de prelucrare, cind avansul este maxim, cu forță axială finală F_{af} corespunzătoare avansului minim admis (la retragerea burghiului împotriva curățire-răcire). Valorile forței axiale inițiale F_{ai} în funcție de diametrul burghiului și câteva materiale de prelucrat sunt prezentate în figure 5.4 și respectiv în tabelul 5.4.

Pentru avansurile minime admise s_{min} de 25% din valoarea avansului inițial, se determină cu relația (5.6) forța F_{af} . Valorile s_{min} și F_{af} sunt prezentate în tabelul 5.3. Deoarece memorizarea electronică a valorii F_{ai} (necesară pentru compararea cu F_{af}) este relativ complicată, s-a recurs la folosirea valorii momentului de torsion din procesul curent în rulmă staționar este egal cu momentul de torsion de referință M_r . Dependențele dintre F_{ai} și M_r se obțin din figurile 5.4 și respectiv 5.6 și sunt prezentate și în tabelul 5.3.

Rezultă că retragerile periodice se stabilesc pe baza comparării semnalului electric corespunzător momentului de torsion (și indirect a forței axiale F_{ai}) cu semnalul electric corespunzător forței axiale curente din procesul prelucrării și la atingerea valorii forței F_{af} care corespunde avansului minim admis s_{min} se comandă retragerea împotriva curățirea-răcirea burghiului.

In acest fel se simplifică parte electrică a sistemului de comandă, calculul acestuia fiind prezentat în graficul 6.2.4.5.

Diam. burghiu D [mm]	Materialul de prelucrat											
	Otel HB 140			Fierba HB 200			Bronz HE 150			Aluminiu HB 120		
	Amin [mm/rot]	Faf [daN]	Fai [daN]	Mf [daN]	Amin [mm/rot]	Faf [daN]	Fai [daN]	Mf [daN]	Amin [mm/rot]	Faf [daN]	Fai [daN]	Mf [daN]
5	0,025	23	45	0,076	0,04	23,7	25	0,374	0,035	16	25	0,103
10	0,075	95	200	0,8	0,1	99	200	0,6	0,09	67	200	0,8
15	0,11	195	520	3,0	0,17	227	682	3,0	0,15	152	480	3,0
20	0,145	316	825	6,5	0,22	372	1140	6,5	0,2	255	800	6,5
25	0,18	459	1200	12,0	0,28	563	1720	12,0	0,25	381	1273	12,0
30	0,2	593	1592	19,5	0,26	637	2000	16,85	0,3	529	1678	19,5
35	0,19	668	1762	25	0,216	643	2000	18,77	0,27	567	1858	25
40	0,135	601	1585	25	0,165	647	2000	21,23	0,22	550	1653	25
45	0,1	548	1470	25	0,155	647	2000	23,53	0,16	480	1491	25
50	0,08	520	1343	25	0,14	647	1934	25	0,13	452	1350	25
55	0,06	488	1271	25	0,11	587	1780	25	0,1	493	1245	25
60	0,05	450	1186	25	0,09	545	1616	25	0,08	565	1142	25

5.2.5. Verificarea unghiului de aşezare funcţional al burghiului

Prin ascuţirea burghielor se asigură un unghi de aşezare α . Unghiul de aşezare funcţional α^* este determinat ca de mărimea avansului cu care se execută prelucrarea. Având în vedere că prin comanda adaptivă se asigură avansuri mai mari la burghiu, este necesară verificarea acestui unghi pentru a nu se ajunge la situaţia $\alpha^* \leq \alpha$ ceea ce ar rezulta o anomalie.

Conform notatiilor din figura 5.9 unghiul de aşezare funcţional se calculează cu relaţia :

$$\alpha^* = \alpha - \theta = \alpha - \arctg \frac{s}{T D_0} \quad (5.14)$$

În care: θ este unghiul de înclinare al traiectoriei în procesul de aşchierare;

s – avansul [mm/rot];

D_0 – diametrul microului burghiului

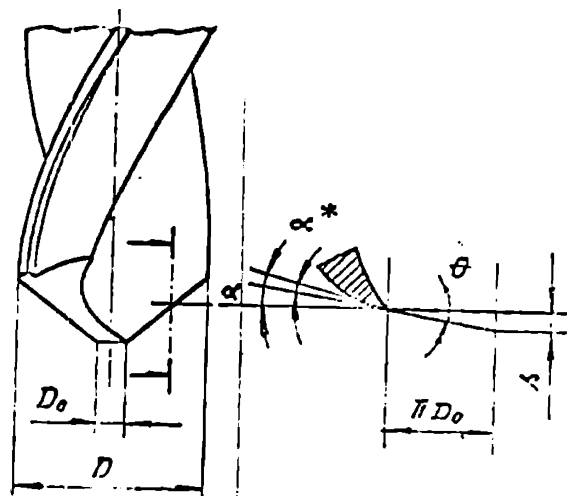


Fig. 5.9. Unghiiurile de aşezare ale burghiului. Cu aceste valori se determină unghiiurile α^* pentru avansurile maxime (conform fig. 5.7) rezultările fiind prezentate în tabelul 5.6.

Unghiuul α este recomandat /50/, /55/, /60/ funcție de diametrul burghiului ca în tabelul 5.4.

Diametrul miezului burghiului D_0 are valorile medii prezentate în tabelul 5.5.

Cu aceste valori se determină unghiiurile α^* pentru avansurile maxime (conform fig. 5.7) rezultările fiind prezentate în tabelul 5.6.

Se observă că $\alpha^* > \alpha_{\min} = 2...3^\circ$ și deci condiția unghiuului de asezare funcțional este îndeplinită în situația comenzi adaptive.

Tabelul 5.4

Diam. burgh. [mm]	≤ 16	$16 \div 30$	> 30
Diam. burgh. [mm]	$14 \div 11$	$12 \div 9$	$11 \div 8$

Tabelul 5.5

Diam. burghiu [mm]	≤ 12	$13 \div 80$
m. miez. h. D ₀ [mm]	$(0,19 \dots 0,15)D$	$(0,145 \div 0,125)D$

Tabelul 5.6

Diam. burgh. [mm]	Unghii de aşezare α	Avans maxim A	Diam. miez burgh. D ₀ [mm]	Unghii de aşezare α^*
5	14	0,15	1	$16,3$
10	13	0,35	1,7	22
15	12	0,60	2,2	$26,3$
20	11	0,9	2,9	30
25	10	1,03	3,6	34
30	10	1,15	4,2	37
35	9	1,05	4,8	40
40	9	2,84	5,6	43
45	9	0,65	5,65	46
50	8	0,65	6,5	50
55	8	0,44	7,1	54
60	8	0,33	7,5	57

5.3. Algoritmul comenzi adaptive a avansului
funcție de criteriul preciziei orificiului
prelucrat.

Prelucrarea găurii cu avans mare, conform criteriului capacitatei de producție maxime, poate avea ca efect o diminuare a preciziei orificiului prelucrat (abaterea axei găurii, calitatea a suprafeței prelucrate în special dacă nu se face o ghidare bună a burghiului la începutul prelucrării. Dacă se impune o anumită precizie a găurii și o calitate mai bună a suprafeței prelucrate, este necesară limitarea mărimea avansului (la valori mai mici decât cele stabilite conform criteriului capacitatii de producție maxime).

Deși în literatura de specialitate nu se găsesc date suficiente pentru stabilirea dependenței dintre mărimea avansului și precizia găurii prelucrate, totuși /65/ se fac unele recomandări. Tabelul 3.1. conține valorile avansurilor funcție de precizia prelucrării pentru câteva materiale.

Pentru acestea se calculează cu relația (5.6) momentul de torsion de referință M_r' (care în acest caz nu mai este limitat do către rezistență burghiului, dar poate fi limitat do momentul maxim admis de către mașină și respectiv de forță axială) și se obțin diagramele din figura 5.10.

În această situație prin comanda adaptivă se asigură diminuarea avansului inițial pe măsura pătrunderii burghiului în materialul de prelucrat, pînă la atingerea valorii avansului minim admis, apoi retragerea pentru curățirea - răcirea burghiului și roluarea așchielei etc.

Desigur că în acest caz capacitatea de producție este diminuată, în special pentru burghie având diametre cuprinse între 10 ... 40 mm și acest mod de conducere a procesului de așchierare se recomandă numai pentru piese cu rigiditate mică cu pereti subțiri sau în cazul unei ghidări insuficiente a burghiului la pătrunderea în material.

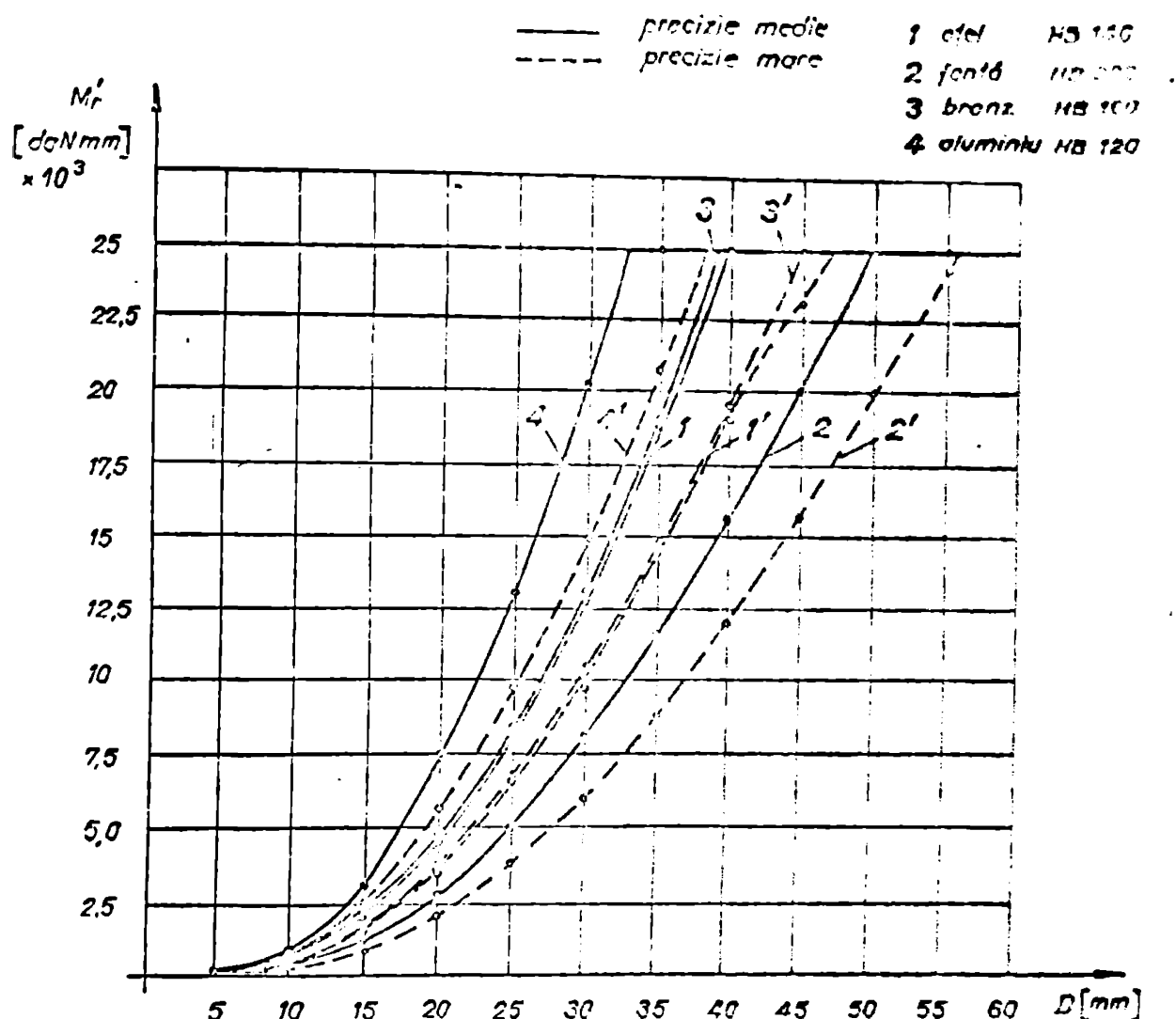


Fig. 5.10. Momentul de torsiune de referință funcție de criteriul preciziei de prelucrare.

5.4. Modelități pentru comanda regimului transitoriu la pătrunderea burghiului în material în condițiile comenzi adaptive

Faza de pătrundere a burghiului în material este un moment important al ciclului de prelucrare. În această fază, la atingerea burghiului cu piesa forță axială crește brusc (datorită tășugului transversal al burghiului) la o valoare ce reprezintă 40...60 % din valoarea maximă și în continuare crește relativ liniar pînă la forță axială maximă. Momentul de torsiune la atingerea rispei de către burghiu se datorătă numai frecările dintre tășugul transversal și materialul piesei și crește la valoarea maximă pentru cazul concret, pe măsură ce peretea așchiectoare nătrunde în materialul lui piesei.

Deoarece variația momentului de torsion este mai lentă și are valoare mică în faza de știngere a burghiului cu materialul, comanda adaptivă în mod normal, introduce un avans mare care conduce la creșterea peste valorile admise ale forței axiale (la ruperea burghiului prin flambaj sau supracolicitarea legăturilor arborelui principal și a acționării de avans).

Se pune problema modului de conducere a procesului de aschicare în faza de pătrundere astfel încât să nu apară inconvenientul prezentat.

5.4.1. Limitarea vitezei de apropiere a burghiului la valoarea avansului tehnologic maxim admis.

Această modalitate pentru comanda regimului tranzitoriu este dintre cele mai simple. La acționarea de avans (sau prin comanda adaptivă) se realizează limitarea valorii vitezei mari de apropiere la avansul tehnologic maxim s_{vm} .

Valoarea acestuia se determină cu relația :

$$s_{vm} = n_p \cdot s \quad [\text{mm/min}]$$

în care:

n_p este turăția burghiului în faza de pătrundere

s - avansul maxim posibil (precizat în fig. 5.3 sau prin programul de calculator)

Dacă turăția burghiului nu se reglează adaptiv rezultă că n_p este turăția n instalată în burghiu în vederea prelucrării. Astfel în cazul unei acționări electrice cu motor de curent continuu alimentat printr-un variator cu tiristori ca în cazul mașinii GP 45 NC/1C, se limitează tensiunea de comandă a variatorului cu tiristori (acăciu valoarea maximă este de $+10 V_{cc}$). Sistemul a fost utilizat și de autor prin introducerea unui potențiometru P4 serie cu potențiometrul de comandă al avansului în comanda adaptivă P5 așa cum se vede în figura 5.11 (a se vede și paragraful 6.2.3 și figurile 6.10 și 6.23).

Se observă că tensiunea de comandă Ucd a variatorului cu tiristori depinde de poziția cursorului potențiometrului P4 de limitare a avansului maxim s_{vm} și de poziția cursorului P5 pentru instalarea avansului prin comanda adaptivă. Dacă se stabilește prin reglaj inițial valoarea lui P4 rezultă că la începutul prelucrării se realizează un avans limitat s_{vm} (poziția

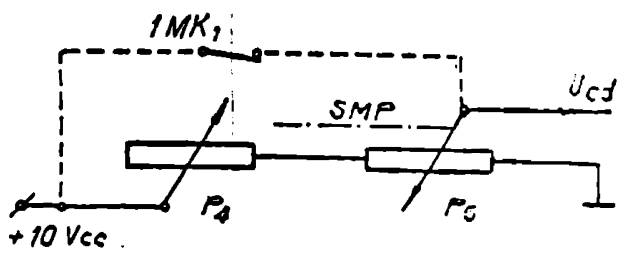


Fig. 5.11. Limitarea valorii maxime a avansului.

cursoarului lui P_5 este la limite din stinge decarece momentul de torsiune la un borde principal la rotirea în gol a acestuia este mai mic decât momentul de torsiune de referință (a se vedea paragrafele 6.2.3 și 6.2.4.4.).

Limitarea valorii maxime a avansului se poate face și prin alte metode de exemplu prin elegerea factorului de amplificare al unui circuit amplificator, metodă aplicată de autor la micromotorul cu comandă adaptivă (a se vedea paragr. 6.1.2).

Limitarea vitezei maxime de apropiere a burghiului față de piesă la valoarea avansului s_{vm} este însă o măsură deficentă pentru cazul prelucrărilor găurilor adânci în care se neconisită retrageri repetate ale burghiului pentru curățire-recire, datorită creșterii timpilor auxiliari.

5.4.2. Limitarea vitezei de apropiere a burghiului la valoarea avansului s_{vm} numai la finele curselor de apropiere.

Pentru a obține o capacitate de producție cît mai mare este necesar ca timpi auxiliari (pentru apropiere și retragere burghiului) să fie minimi, adică viteza de instalație să fie cît mai mare.

Rezultă că nu și ideal ca deplasarea burghiului să se facă cu viteză de apropiere maximă și la atingerea piesei că se realizează schimbarea extrenă de raport și acesteia cu avansul maxim admis s_{vm} . Dacă s-ar admite ca deplasarea burghiului la schimbarea avansului să fie de cca 0,1 mm ar rezulta că durata transitorie ar trebui să nu depășească 3 m.s. Această durată transitorie cîntă imposibil de obținut chiar pentru motorul electric singur (unde se pot realiza durete transitorii de cca 10 ms / 9 / pentru motoare electrice cu inerție foarte mică) fără să mai țină cont de inerțiile restului subansamblaelor deplasabile. Înăși impactul burghiului cu piesă este periculos pentru integritatea acestuia sau a mașinii.

În acest motiv s-a căutat o soluție pentru comanda ciclului de prolucreare cu retragori periodic prin care să se realizeze apropierea rapidă a sculei pînă la o anumită distanță dintre virful burghiului și piesă, (reglată printr-un limitator de durată) după care să se instaleze valoarea avansului maxim admisiv și aceasta să se realizeze, indiferent de momentul retragerii (pozitia burghiului), care se stabilește prin comandă captivă. Ciclul de prolucreare să se reia în același condiții (adică apropiere rapidă a burghiului pînă la distanță preestabilită de fundul găurii urmată de schimbarea la valoarea s_{vn} etc.)

Sistemul realizat reprezintă o contribuție originală a autorului.

Schematic sistemul de comandă este prezentat în figura 5.12.

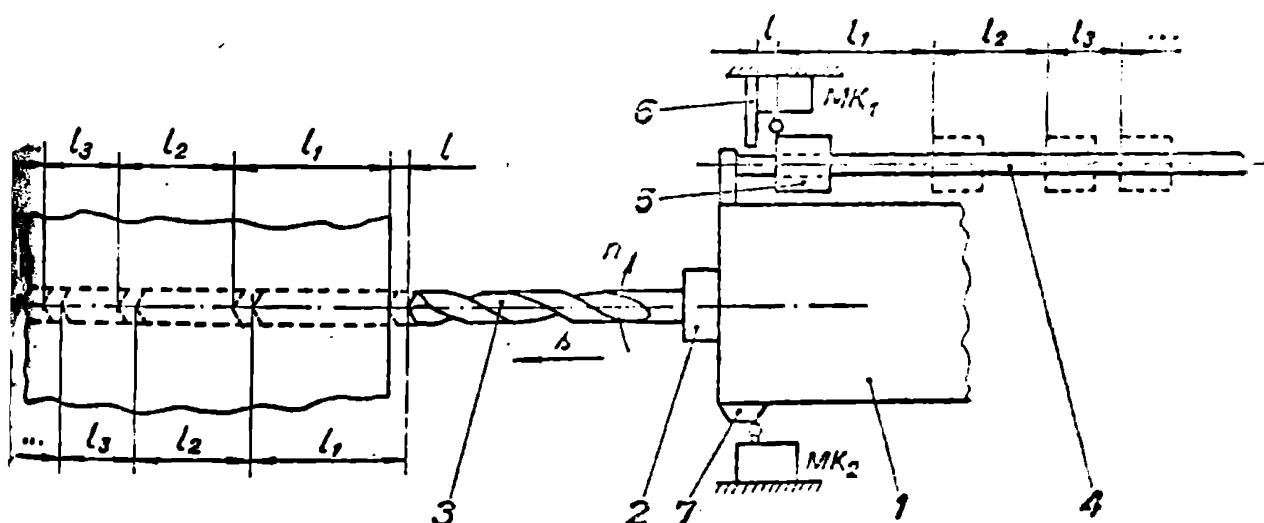


FIG. 5.12. Limitarea vitezei de avans rapidă numai la finele cursei de apropiere.

Față de capul găuritor 1 care susține arborele principal 2 cu burghiul 3 și realizează mișcarea de avans este fixat un element de ghidare 4 (tijă) pe care se călăzesc o bucață (camă) 5 alunecătoare dar cu fricție foarte mică între 5 și 4 trebuie să fie suficientă ca 4 să nu se deplaceze față de 5 cînd funcționează limitatorul de cursă MK₁).

Față de subansamblul fix este montat limitatorul de cursă MK₂ și opriitorul 6 avînd posibilitatea reglajului distanței l pînă la MK₁.

Cursa de apropiere rapidă a burghiului se execută pînă cînd 5 atinge MK₁. În acest moment se comandă schimbarea vitezei de deplasare rapidă cu avansul maxim admis s_m. Schimbarea se face pe lungimea de cursă 1 (stabilită la valoarea minimă funcție de dinamica regimului transitoriu) astfel încît la atingerea piesei burghiul are valoarea avansului s_m.

La finalul cursiei 1 cînd 5 se sprijină pe opriitorul 6 și alunecă față de tija 4.

În continuare prelucrarea se desfășoară în condițiile comenzi adaptive (avansul curent micșorindu-se față de valoarea s_m pe măsura creșterii adâncirii găurii).

La atingerea avansului minim admis se comandă retragerea burghiului (prin sistemul de comandă al ciclului de prelucrare al comenzi adaptive) iar 5 se deplasează solidar cu 4 pe lungimea l₁ pînă cînd 1 ajunge în poziția inițială cînd cînd 7 comandă limitatorul de cursă MK₂ pentru relua rotirea ciclului. Se produce apropierea rapidă pe cursa l₁ pînă cînd 5 atinge MK₁, etc.

Dacă lungimea bugei 5 este mai mare decât l implementarea sistemului în schema de comandă a magazinilor dotate de elitor cu comenzi adaptive este foarte ugoară. Astfel pentru GP 45 NC/AC se introduce contactul normal închis al MK₁ între borna de +10 Vcc și cursorul potențiometrului P5 reprezentat cu linie intreruptă în figura 5.11.(a se vede și figurile 6.10 și 6.23) iar pentru micromagine de găurit, contactul normal închis al limitatorului de cursă MK₁ se conectează paralel cu contactele butonului B_j (conform figurii 6.7).

5.5. Creșterea capacitatei de producție în condițiile comenzi adaptive la găuriere.

Capacitatea de producție la găuriere se exprimă fără exceptie în mm/min de orificiu prelucrat avînd diametrul ca parametru. Pentru a aprecia capacitatea de producție este necesar să se normalizeze evoluția vitezei de avans s_v [mm/min] în condițiile CA.

Viteza de avans este:

$$s_v = n \cdot s \quad [\text{mm/min}] \quad (5.14)$$

Din relațiile (5.5) și (5.6) se determină :

$$s = \left(\frac{13 \cdot D^{2,7-x_m}}{C_v \cdot C_M \cdot H^m} \right)^{\frac{1}{y_m}} \text{ [mm/rot]} \quad (5.15)$$

și pentru $s = 6,5$

$$s = \left(\frac{2 \cdot D^{2,7-x_m}}{C_v \cdot H^m} \right)^{\frac{1}{y_m}} \text{ [mm/rot]} \quad (5.16)$$

Din relația (3.3) a vitezei de agchieră și știind că :

$$n = \frac{1000 v}{\pi D} \text{ [rot/min]} \quad (5.17)$$

rezultă :

$$n = \frac{1000 C_v \cdot D^{z_v-1} K_{vp}}{\pi T^m \cdot s^{y_v}} \text{ [rot/min]} \quad (5.18)$$

Deci :

$$s_v = \frac{318 \cdot C_v \cdot D^{z_v-1} K_{vp}}{T^m \cdot s^{y_v}} \cdot \left(\frac{2 D^{2,7-x_m}}{C_M \cdot H^m} \right)^{\frac{1}{y_m}} \text{ [mm/min]} \quad (5.19)$$

Inlocuind s din (5.16) în (5.19) și operând se obține :

$$s_v = \frac{318 C_v D^{z_v-1} K_{vp}}{T^m} \left(\frac{2 D^{2,7-x_m}}{C_M \cdot H^m} \right)^{\frac{1-y_v}{y_m}} \text{ [mm/min]} \quad (5.20)$$

relație din care se observă că viteză de avans depinde de diametru, durabilitatea impusă burghiului și materialul de prelucrat. Aceasta este valabil în situație în care prin CA se asigură și reglarea turățicii conform modificării avansului și a durabilității burghiului. Relația (5.20) este valabilă pentru domeniu de variație al diametrului burghiului între cca 10...25 mm, domeniu în care nu sunt depășite valorile restrictive pentru momentul de torsion și/sau forța axială a mașinii. Pentru a ține cont și de influența acestor restricții se consideră ayansul realizat și condițiile CA (ca cel prezentat în Figura 5.8) și ținând cont de exponenția (5.13) se poate scrie că :

$$s_v = \frac{318 C_v D^{z_v-1} K_{vp} \cdot s^{1-y_v}}{T^m} \text{ [mm/min]} \quad (5.21)$$

Variatia vitezelor de avans functie de diametru pentru unele materiale de prelucrat in conditiile existentei CA comparativ cu conditiile clasice (fara CA) sunt prezentate in figura 5.13. Regimurile fara CA sunt stabilite tindand cont de limiturile impuse de catre masina-unoaltă.

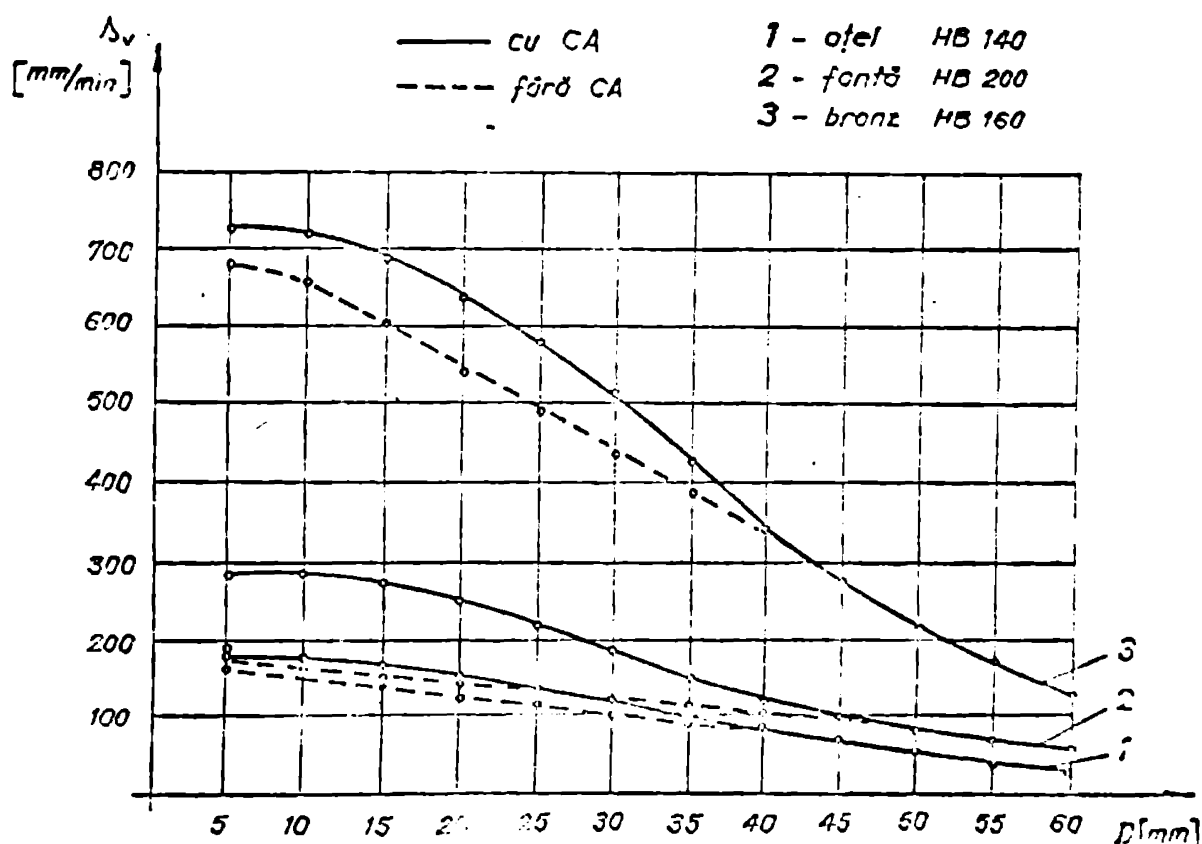


Fig. 5.13. Variatia vitezei de avans in conditiile clasice si utilizand sistemul de comanda adaptivă.

Se observă că diferența între vitezele de avans (proporționale sau identice cu capacitatea de producție) este cu atât mai mare cu cît diferența dintre avansul s stabilit prin comanda adaptivă și cel stabilit prin calculele tehnologice convenționale este mai mare și respectiv valoarea exponentului ($1-y_v$) este mai mică (y_v mai mare).

In conditiile în care adâncimea orificiului prelucrat nu impune retrageri periodice (cu diminuarea avansului) creșterea capacitatii de producție este de până lacca 30% pentru oțel, 70% pentru fontă și 20% pentru bronz.

5.6. Concluzii

Pentru stabilirea algoritmului CA a evansului de găuri se ales ca mărimi controlată momentul de torsiune la burghiu. Pentru a ține cont și de limitările datorită forței axiale în proces, precum și pentru comanda ciclului de prelucrare, ca să controlează și valoarea curentă a forței axiale.

S-a găsit o metodologie de determinare a momentului de torsiune de referință prin care se ține cont de influențele factorilor restrictivi ai procesului de prelucrare (momentul de torsiune maxim admis de burghiu sau de mașină-uncle, stabilitatea axială a burghiului și forța axială maximă admisă de mașină). Metodologia constă în determinarea valoarei momentului de torsiune admis de către burghiu limitat de momentul maxim admis de către mașină și stabilirea evansului și a forței axiale ce ar rezulta la prelucrare. Dacă forța axială depășește forța critică de flambaj sau forța admisă de mașină, se limitează această forță și se recalculează evansul și respectiv momentul de torsiune care devine moment de torsiune de referință.

Dacă unii dintre factorii restrictivi sunt specifice mașinii de găuri sau burghiului folosit în calculul pentru determinarea momentului de torsiune de referință, și relativ laborioase, s-a întocmit un program de calcul pentru determinarea lui Mr. În felul acestuia Mr poate să stabilească ușurință, introducindu-se datele corespunzătoare (diametrul burghiu, materialul de prelucrat și mașina de găuri).

Prin metoda de stabilire a Mr prezentată se pot lua în considerare diverse criterii de optimizare a prelucrării, final stabilindu-se valoarea Mr funcție de diametrul burghiu și materialul de prelucrat, la care trebuie reglată comanda adaptivă.

Crescerea capacitatei de producție în condițiile economiei adaptive este în general importantă și este limitată de posibilitățile sculei sau mașinii-uncle.

În procesul aşchierii apar și alte limite (de ex. puterea mașinii). Asupra modului de reglare a turăției în burghiu conform criteriului costului minim al operației și ținând cont de limitarea puterii se referă /39/.

6. REALIZARI DE COMENZI ADAPTIVE PENTRU AVANS LA MASINI DE GAURIT

In vederea verificării funcționalității unei comenzi adaptive a avansului conform algoritmilor prezentate anterior sau alte algoritmuri similare (la care mărimea controlată să fie momentul de toraiune și/sau forța axială, iar parametrul reglat să fie avansul) au fost proiectate, executate și încercate două sisteme de comandă adaptivă a avansului :

- sistem de comandă adaptivă pentru prelucrarea găurilor mici ($0,3\dots 1\text{ mm}$);
- sistem de comandă adaptivă pentru prelucrarea găurilor având diametre cuprinse între 3 și 63 mm.

6.1. Micromășină pentru prelucrarea găurilor de diametru mic ($0,3\dots 1\text{ mm}$)

Pentru realizarea și experimentarea unui sistem de comandă adaptivă a avansului la prelucrarea găurilor mici a fost necesară proiectarea și execuția unui micromășini de găurit adecvate. Dintre cerințele de bază ale unui astfel de mașini se consideră :

- necesitatea realizării unui avans reglabil continuu fără anumite limite;
- necesitatea funcționării mașinii în ciclu automat.

Micromășina de găurit realizată are componența clasice a unei mașini de găurit cu moțor, având mașă în coordonate, ceea ce se prezintă în figura 6.1.

Atât acționarea principală cît și cea de avans sunt realizate cu olectromotoare de curent continuu. Turația la arborele principal este constantă.

Caracteristicile tehnice de bază sunt :

- diametrul de găurire maxim $\varnothing 1,2[\text{mm}]$;
- puterea acționării principale 15 [W];
- turația la arborele principal 8500 [rot/min];
- puterea electromotorului pentru acționarea de avans 2 [W];
- intervalul de reglare al avansurilor $0\dots 120\text{ [mm/min]}$

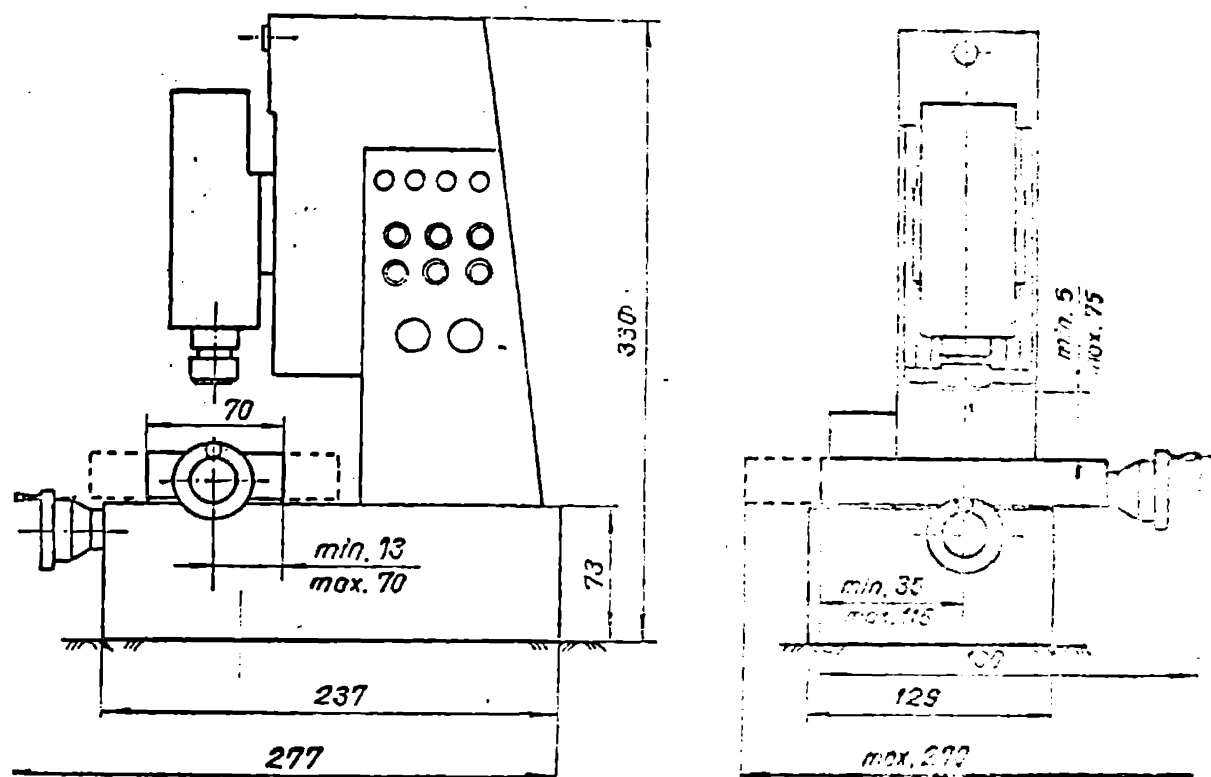


Fig.6.1. Micromășina de găurit.

- cursa capului găuritor 70 [mm];
- cursa sonici longitudinale 80 [mm];
- cursa soniei transversale 57 [mm];
- dimensiuni de gabarit 190x280x330 [mm];
(longitudinal, transversal, vertical)
- grăutare 5 [kg.]

6.1.1. Acționare electrică pentru mișcarea de avans la micromășina de găurit.

Pentru a se putea face o comparație între prelucrarea găurilor în condiții convenționale (cu parametrii și regimului de măchiere constanți) și în condițiile comenzi adaptive, a fost proiectată, realizată și experimentată o acționare electrică care să asigure reglarea turării la motorul electric de avans și menținerea constantă a turării regulate la variații ale momentului de torsion rezistent (la erboarele motorului electric), în vederea realizării unui avans reglabil.

Schema bloc a acestei acționări este prezentată în figura 6.2, iar schema electronică concretă în figura 6.3.

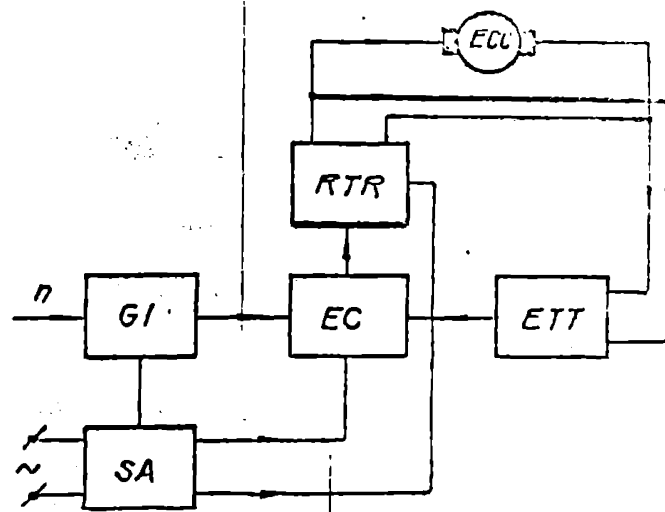


Fig. 6.2. Schema bloc a actionării cu motor de curent continuu.

Într-oțul principal al acestei scheme este că nu necesită un element transductor de turăție (talogenerator) suportat prin care să se introducă reacție, în vederea comparării cu turăția reglată (dorită). Ca transductor de turăție este folosit chiar clectromotorul de acționare ECC care în perioadele dintre impulsurile tiristorului Th funcționează ca talogenerator pentru asigurarea semnalului de reacție.

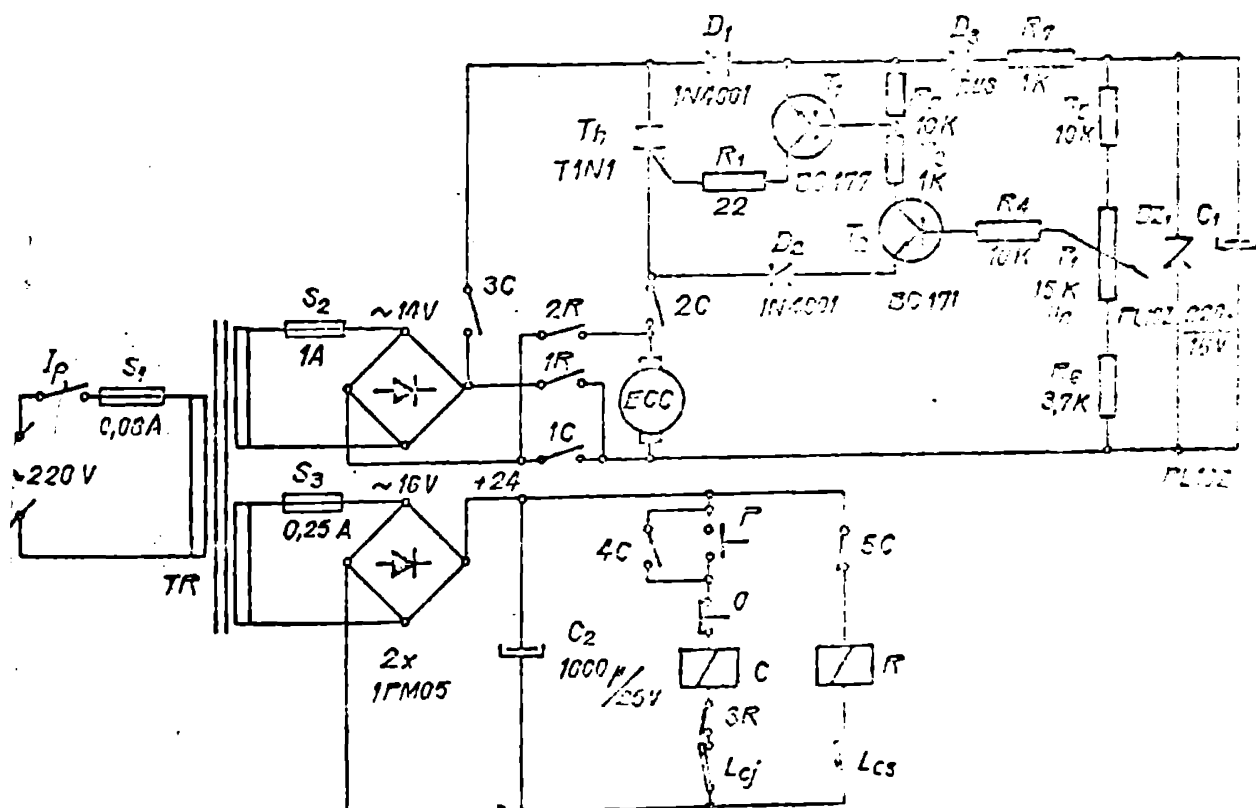


Fig. 6.3. Schema electronică a actionării.

Caracteristicile mecanice artificiale /52/ $n = f(M)$ pentru această acționare au fost determinate pe un stand a cărui schema bloc este prezentată în figura 6.4. Măsurarea turățicii la ECC se

înce cu un tahogenerator TG iar variația momentului rezistent la arborele motor al ECC cu ajutorul unui generator de curent continuu GCC având ca sarcină variabilă rezistorul PI.

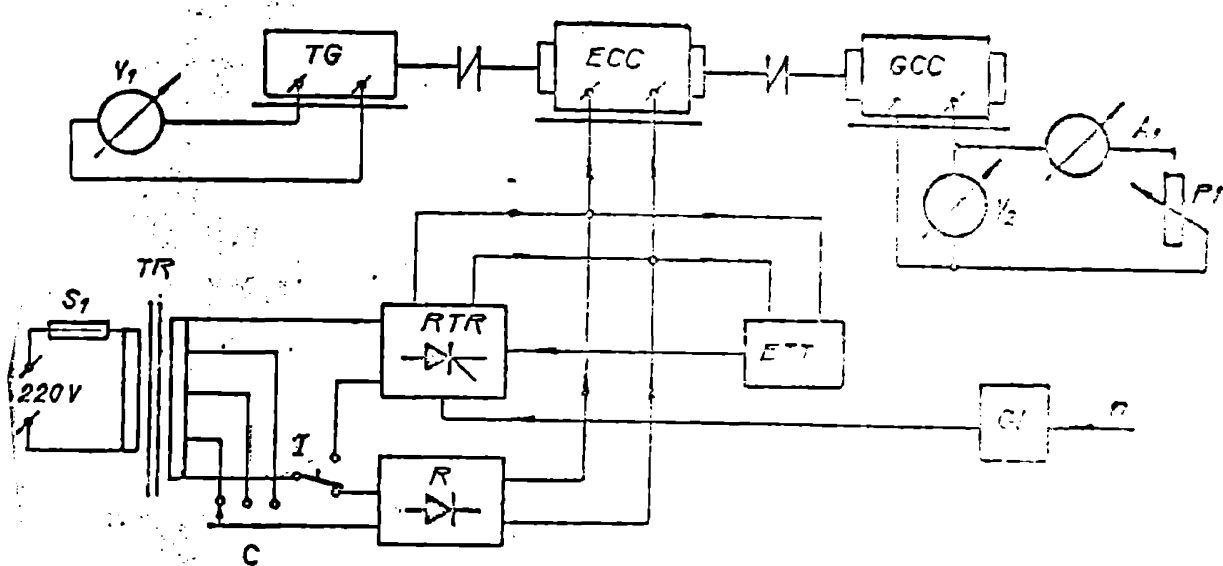


Fig. 6.4. Schema bloc a standului pentru determinarea caracteristicii $n = f(M)$.

Pentru a putea compara caracteristicile s-a făcut experimentări atât în condițiile alimentării ECC de la o sursă de tensiune continuă (nestabilizată) cât și în condițiile acțiunii prezentate mai sus.

Rezultatele experimentale obținute sunt prezentate în tabelul 6.1, iar caracteristicile mecanice artificiale în figura 6.5.

Panta caracteristicii se apreciază /52/ prin coeeficien-
tul m :

$$m = \frac{d n}{d M} = \frac{d \Omega}{d M} \quad \text{sau}$$

$$m = \frac{n_0 - n}{M} = \frac{\Omega_0 - \Omega}{M}$$

în care:

n_0 ; n - sunt turările de funcționare în gol și respectiv în sarcină a ECC;

Ω_0 ; Ω - viteza de unghiulare în același condiții;
 M - momentul de torsie.

Se observă că turările la ECC se menține constantă în limite relativ largi de variație a momentului de torsie și într-un domeniu suficient de mare de reglare a turării la ECC.

pentru acționarea proiectată în comparație cu alimentarea cu trepte de tensiune constantă a ECC.

Tabelul 6.1

ECC fără circuit de reglare automată a turatiei				ECC cu circuit de reglare automată a turatiei			
Tensiunea la ECC	Mom. de tors. rez. M	Tens. la tahogen. TG	Turatie la ECC	Tensiunea la ECC	Mom. de tors. rez. M	Tens. la tahogen. TG	Turatie la ECC
[V]	[daNm]	[V]	[rot/min]	[V]	[daNm]	[V]	[rot/min]
1,61	0,03	0,95	545,2	1,65	0,032	0,98	552
1,60	0,04	0,93	534,7	1,73	0,041	0,97	551,7
1,60	0,05	0,9	517,5	1,81	0,052	0,95	549,2
1,58	0,07	0,85	486,7	1,87	0,07	0,98	562
1,57	0,09	0,8	460	1,95	0,095	0,95	559,2
1,56	0,12	0,74	425,5	2,03	0,13	0,93	558
1,55	0,17	0,58	333,5	2,12	0,18	0,81	468
1,55	0,21	0,49	281,7	2,23	0,23	0,85	440,2
1,54	0,26	0,40	230	2,33	0,29	0,95	452
1,52	0,3	0,3	192,5	2,44	0,35	0,97	552
3,6	0,26	3,33	1914,7	3,61	0,265	3,35	1913,2
3,6	0,263	3,31	1903,2	3,63	0,268	3,34	1902,2
3,58	0,265	3,3	1897,5	3,63	0,27	3,34	1897,5
3,57	0,271	3,21	1845,7	3,81	0,275	3,53	1844,7
3,55	0,28	3,1	1782,5	3,85	0,29	3,85	1782,5
3,5	0,34	2,85	1638,7	3,9	0,36	3,85	1638,2
3,42	0,41	2,6	1495	3,96	0,43	3,85	1495,2
3,30	0,47	2,2	1265	4,2	0,46	3,84	1265,2
3,15	0,56	1,8	1035	4,6	0,55	3,82	1035,2
2,96	0,79	1,4	905	5,2	0,82	3,81	905,2
6,4	0,33	6,5	3137,5	6,4	0,31	6,51	3136,2
6,4	0,336	6,48	3126	6,55	0,345	6,49	3131,7
6,38	0,348	6,45	3108,7	6,7	0,354	6,59	3099,5
6,35	0,362	6,4	3680	6,85	0,371	6,43	3701,7
6,3	0,451	6,0	3450	6,9	0,47	6,50	3451,2
6,22	0,51	5,9	3392,5	7,05	0,54	6,53	3477,5
6,11	0,59	5,4	3105	7,18	0,61	6,48	3426,2
5,99	0,71	4,8	2760	7,4	0,72	6,45	3408,7
5,91	0,62	4,1	2357,5	7,5	0,68	6,3	3322,5
5,78	7,11	3,18	1828,5	7,5	1,2	6!	25275

Constanta tahogeneratorului [575 V/rot.mn]

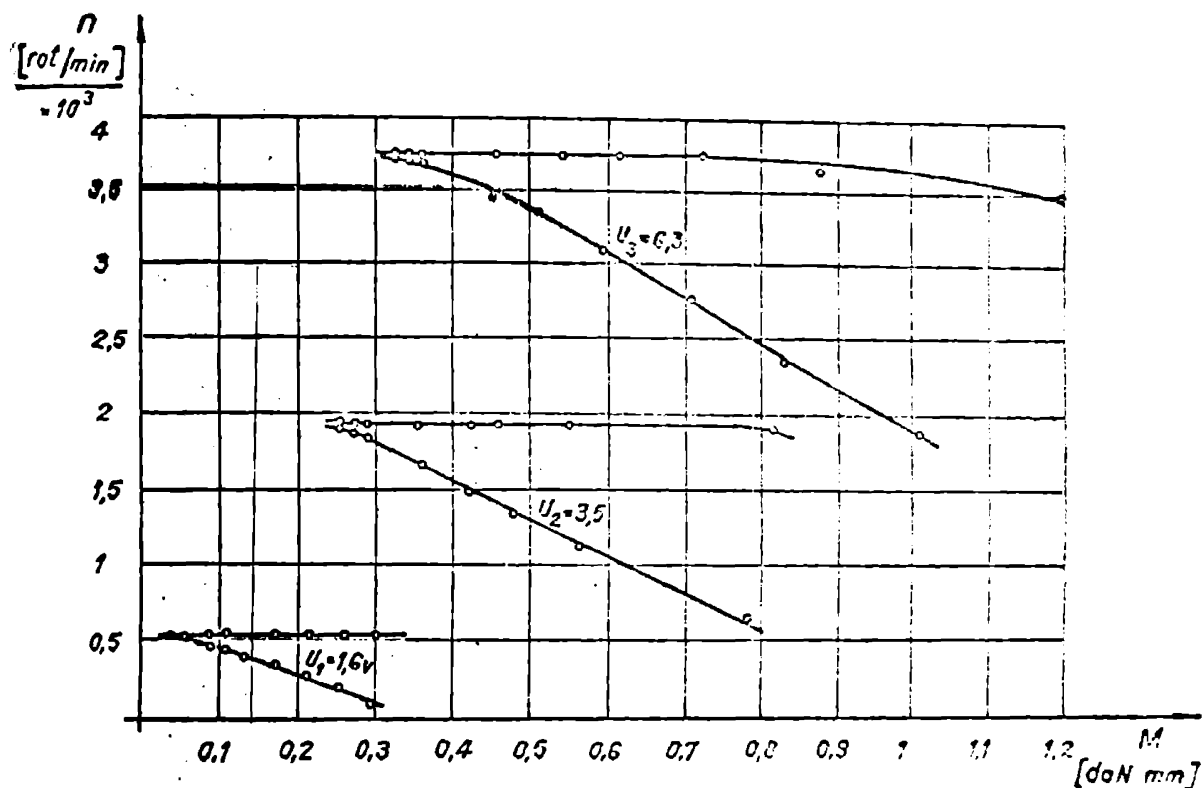


Fig.6.5. Caracteristicile mecanice artificiale $n=f(M)$.

6.1.2. Sistem de comandă adaptivă a avansului pentru prelucrarea găurilor mici.

Schema bloc a sistemului realizat este prezentată în figura 6.6.

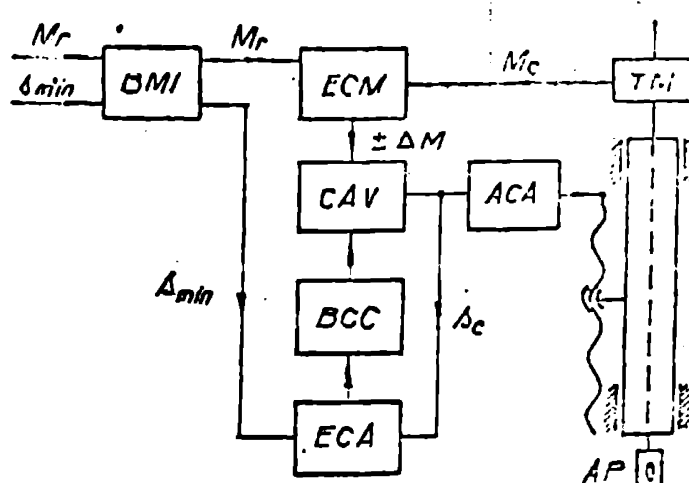


Fig.6.6. Schema bloc a CA pentru micromasini.

In blocul mărimilor inițiale PMI se introduc valoarea momentului de torsion de referință Mr (funcție de diametrul burghiului) și valoarea avansului minim s_{min} la care să se realizeze retragerea sculci pentru curățire - răcire.

Momentul de torsion din proces Mc măsurat de către traductorul de moment TM este

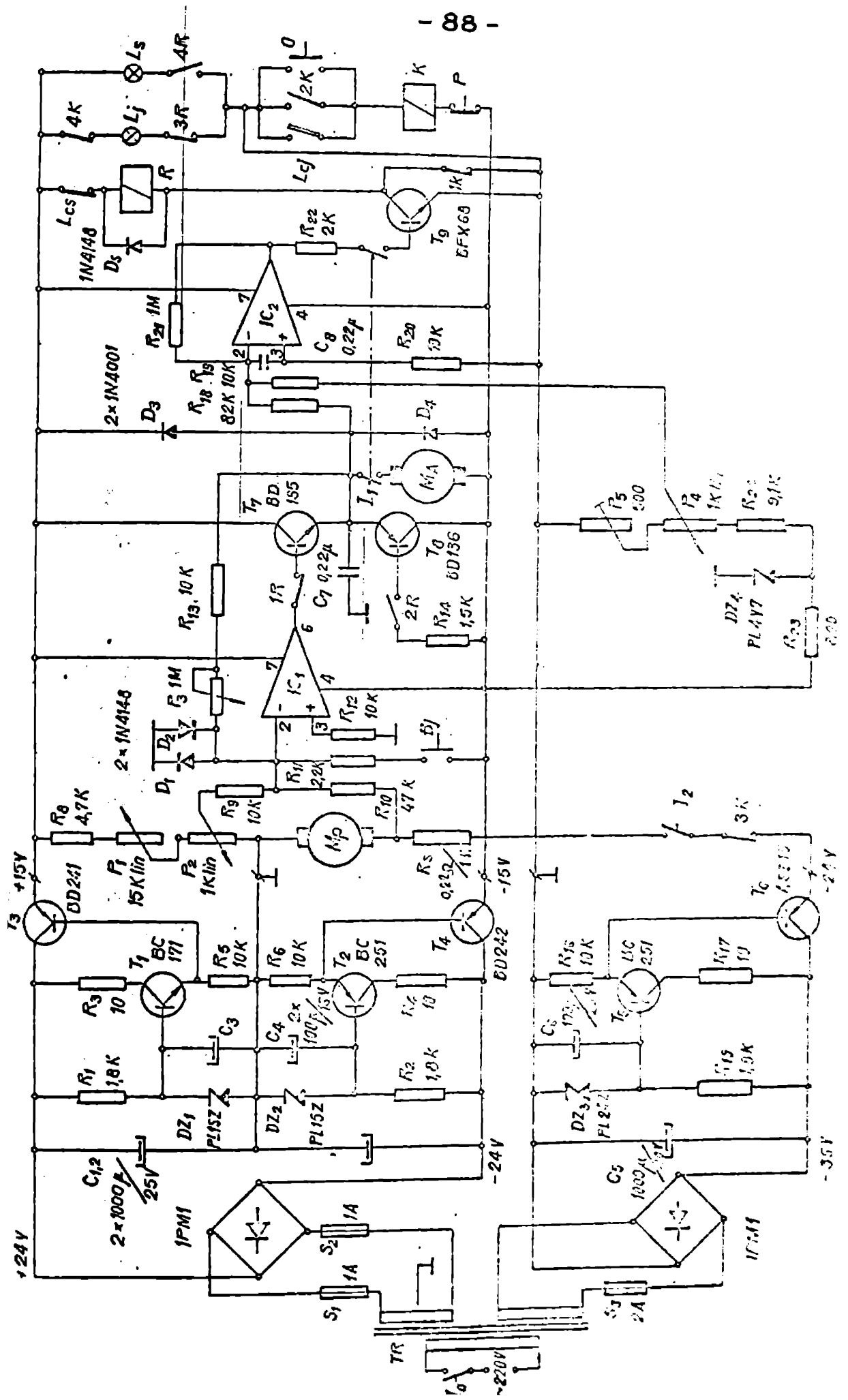


Fig. 6.7.

comparat în elementul de comparație pentru momentul de torsiune ΔM . Semnalul rezultat din comparație $\pm \Delta M$ servește pentru comanda acționării de avans CAV și respectiv a acționării de avans ACA, modificindu-se avansul în sensul păstrării relativ constante a M_c .

Valoarea avansului curent, din proces s_c , se compară în elementul de comparație al avansurilor ECA cu avansul minim s_{min} . Astfel $s_c - s_{min}$ { > 0 se continuă procesul prelucrării = 0 se comandă blocul de comandă al ciclului de prelucrare BCC care comandă acționarea de avans realizând retragerea periodică pînă la un limitator de cursă după care înapoi se reia pînă la terminarea prelucrării găurii. Încăierea prelucrării este sesizată de un limitator de cursă inferior.

Schema electronică a sistemului de comandă adaptivă a avansului pentru micromășina de găurit este prezentată în figura 6.7.

Deoarece turăția la arborele principal este constantă, măsurarea momentului de torsiune la arborele principal se poate face (cu unele aproximății) prin curentul absorbit de motorul electric principal M_p (curent dependent de momentul de torsiune rezistent – a se vedea cap. 4.3.3) respectiv prin căderea de tensiune pe un rezistor serie R_s cu M_p . În acest fel elementul ECM constituie din amplificatorul operațional IC_1 compară M_p , introdus prin potențiometrele P_1 și P_2 (grosier și fin) sub formă unei tensiuni pozitive cu M_c introdus sub formă unei tensiuni negative. Amplificarea (sensibilitatea) elementului ECM este reglabilă prin P_3 .

Semnalul de la ieșirea din IC_1 comandă T_7 (care constituie CAV conform fig. 6.6) și respectiv M_A (care constituie ACA) realizindu-se mișcarea de avans.

Avansul inițial (la pîtrunderea burghiu lui în material) poate fi reglat prin modificarea factorului de amplificare al circuitului respectiv manevrîndu-se potențiometrului P_3 .

Semnalul despre avansul din proces s_c se preia sub formă tensiunii pozitive de alimentare a M_A . Cu anumită aproximăție se poate admite că această tensiune este proporțională cu turăția la M_A , deci cu avansul. Această tensiune se compară cu tensiunea negativă avînd valoarea stabilită prin poziția cursorului potențiometrului P_4 și care reprezintă mărimea avansului s_{min} .

Compararea se face în comparatorul BCA (fig.C.6) constituit din amplificatorul operational, respectiv circuitul integrat IC₂. În caz cū $s_c \leq s_{min}$ la ieșirea din IC₂ se obține o tensiune pozitivă care comandă tranzistorul T₉ punând sub tensiune releeul R (limitatorul de cursă "sus" L_{ES}, fiind normal închis). Releeul R, care face parte din BCC (fig.C.6) întrerupe sensul pentru avansul de prelucrare prin contactul normal închis 1R și comandă retragerea sculoi prin schimbarea sensului de rotație la \pm (prin polarizarea corespunzătoare a tranzistorului T₈ la închiderea contactului 2R). Retragerea se produce pînă la comanda limitatorului L_{CS}, cînd ciclul de prelucrare se reia (R revine în poziția normală).

La atingerea adîncimii de prelucrare dorite limitatorul de cursă "jos" L_{CJ} pună sub tensiune releeul K care se automențează (prin contactul 2K), întrerupe mișcarea la M_P (prin 3K) și realizează retragerea rapidă pînă la L_{CS}.

Initializarea unui nou ciclu de prelucrare se face prin comanda butonului P, iar oprirea procesului de prelucrare la comanda operatorului indiferent de fază existentă, prin comanda 0.

Intreg sistemul este alimentat prin intermediul a trei surse stabilizate serie care asigură tensiunile +16; -15 și -24 V.

6.2. Sistem de comandă adaptivă a avansului pentru prelucrarea găurilor avînd diametre cuprinse între 3 ... 63 mm

Elaborarea sistemului de comandă adaptivă s-a făcut în concordanță cu algoritmul comenzi adaptive a avansului și cu cerințele unui astfel de sistem, prezentate anterior.

Deoarece una din cerințele mașinii-unclte pe care se implementează un astfel de sistem este de a dispune de avans reglabil continuu între anumite limite și la solicitarea I.IIS.Înfrățirea Oradea, s-a ales ca mașină de găurit, mașina GP-45-NC.

6.2.1. Caracteristicile de bază ale mașinii de găurit GP-45-NC/AC

Mașina GP-45-NC face parte dintr-o familie modulară de mașini alături de mașinile GPR-45-NC.

Mașina dispune de masă deplasabilă în coordinate pe

directiile x, y și având un cap de găuriro vertical cu deplasare în direcția w pe ghidajele verticale ale montantului. Pinola, împreună cu arborul principal, se deplasează pe direcția verticală z față de capul găuritor.

Mașina dispune de echipamentul de comandă numerică NUMEROX 310-1 cu poziționare succesivă pentru axele x, y și cu introducere manuală a datelor.

Schela cinematică a mașinii este sărbătorită în figura 6.8.

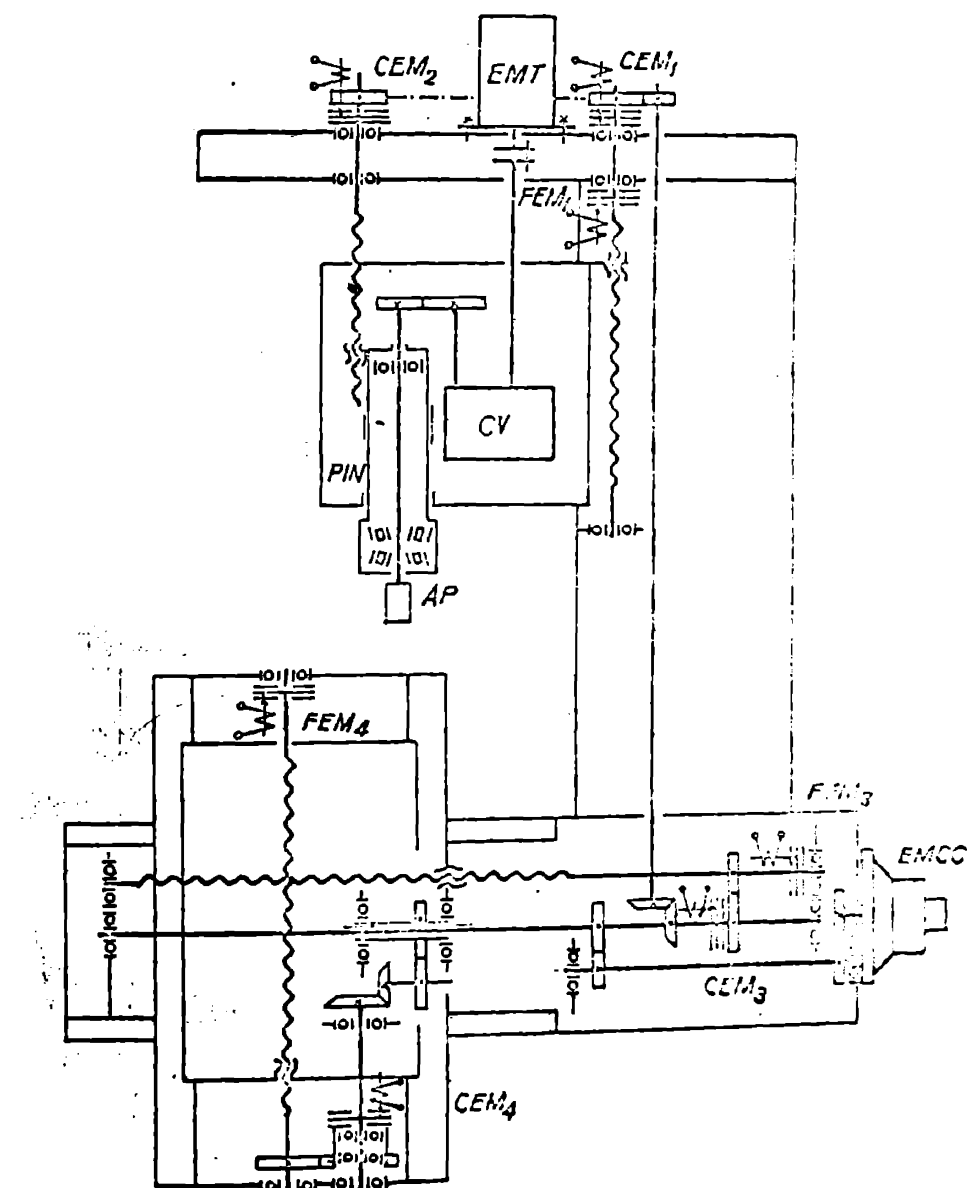


Fig. 6.8. Schema cinematică a mașinii GP 45 NC

Mașina are avantajul unei construcții robuste pinola putind fi blocată pe perioada cft nu se utilizează mișcarea pe axa z . Avansul mecanic se realizează de către capul găuritor (pe axa w). La această mașină au fost efectuate o serie de transformări

legate de schimbarea cutiei de viteza pentru a face posibila schimbarea turatiilor la arborele principal, din nera si sub sarcina obiect ce constituie o parte din tesa de doctorat a Ingegnerului Macedon /39/.

De asemenea a fost introdus sistemul de reductor pentru măsurarea forței axiale și a momentului de torsion, prezentat în cap. 4.3 /44/.

Noua mașină, realizată pe bază de contract între IP"TV" Tătăraș T.C.M și I.I.S. Infrațirea Oradea a primit denumirea GP-5-NC/AC după introducerea sistemului de comandă adaptivă.

Caracteristicile tehnice mai importante ale mașinii sunt:

- cursa verticală a păpușii 450 [mm]
- cursa longitudinală a mesei 420 [mm]
- cursa transversală a saniei 710 [mm]
- dimensiunile mesei. 500x300 [mm]
- intervalul turatiilor la arborele principal 22,44-5500 [rot/min]
- intervalul vitezelor de avans 4-1000 [mm/min] (cu reglaj continuu)
- viteză de deplasare rapidă 4000 [mm/min]
- puterea electromotorului principal. 4 [kw]
- puterea electromotorului de avans 3 [kw]
- dimensiuni de gabarit 1990x2035x2770 [mm]
- greutate. 5000 [kg]

Sistemul de comandă adaptivă realizat a fost implementat pe această mașină.

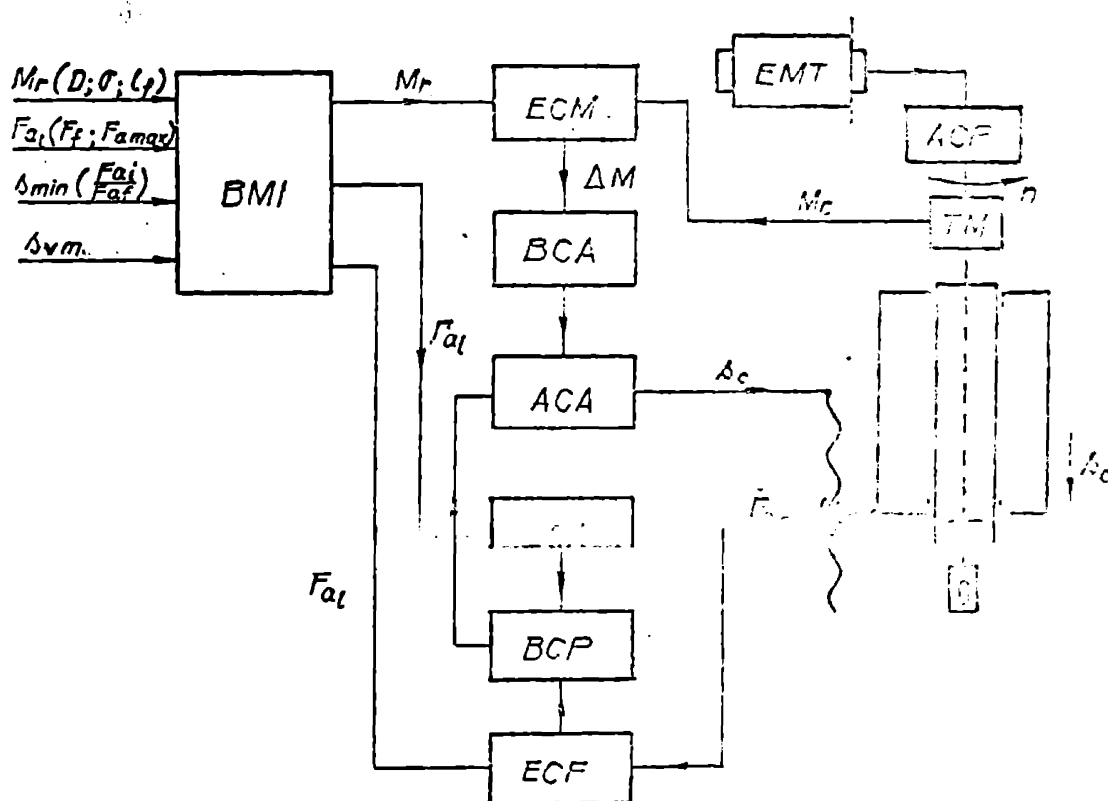
6.2.2. Schema de principiu a comenzi adaptive a avansului

Schema de principiu a comenzi adaptive a avansului la elurire a fost elaborată pe baza analizei anterioare a procesului tehnologic de găuri și a funcțiilor auxiliare pe care acesta trebuie să le îndeplinească. S-a ținut cont de posibilitățile de realizare ale blocurilor de comandă electronică și de corință ca acestea să fie cât mai simple.

Schema de principiu concepută este prezentată în figura 6.9.

In blocul mărimilor initiale BM se introduc : valoarea momentului de torsion de referință Mr prin care se ține cont de diametrul burghiului, materialul de prelucrat, condițiile de fierbere

etc. (aşa cum a fost prezentat în paragraful 5.2), forţă axială maximă admisă în procesul prelucrării F_{a_1} , limitată de sculă sau de maşina unealtă, valoarea avansului minim la care să se producă retragerea pentru curătirea și răcirea sculei, respectiv raportul $\frac{M_0}{F_{a_1}}$ conform valorilor prezentate în paragraful 5.3.4. și valoarea avansului maxim admis (limitat) inițial s_{vm} la pătrunzerea burghiuului.



Mfig.6.9. Schema de principiu a CA pentru maşina GP 45 NC/AC.

Momentul de torsion din proces nu este măsurat de către trădutorul de moment TM (prezentat în paragraful 4.3.3) și semașul prelucrat electronic este comparat cu valoarea M_r în elementul comparator ECM și funcție de rezultatul comparării este comandat blocul de comandă al avansului BCA și respectiv acțiunea de avans ACA.

Deoarece în faza de apropiere valoarea momentului $M_c \leq 0$, avansul trebuie să ia valoarea maximă posibilă, realizabilă de către mașină-unealtă (în cazul GP-45 NC/AC aceasta este 4000 mm/min). Pentru a se evita acest lucru, se limitează avansul de pătrunzere la valoarea vitezei avansului tehnologic maxim admis s_{vm} .

întră burghiu respectiv.

Prelucrarea decurge la moment de torsiune relativ constant prin scăderea avansului odată cu creșterea adâncimii de prelucrare, înă la atingerea avansului minim admis. Odată cu scăderea avansului scade valoarea forței axiale curante F_{ac} , și căci valoarea comparată cu M_c (F_{ai}), în elementul de comparație ECA și funcție rezultatul comparării este comandat blocul de comandă al ciclului de prelucrare BCP care comandă ACA, determinând retragerea rapidă până la un limitator de cursă, după care ciclul se reia.

In caz cū forța din proces F_{ac} depășește forța axială limitată F_{al} (datorită uzurii sau ruperii accidentale a sculei) elementul comparator al forțelor ECF comandă BCP respectiv ACA, determinând retragerea sculei. In acest caz ciclul de prelucrare se reia decât după înălțurarea cauzei care a produs depășirea forței iar initializarea unui nou ciclu de prelucrare se face din comandă manuală.

6.2.3. Schema electronică bloc a comenzi adaptive a avansului

Pe baza schemei de principiu prezentată anterior a fost elaborată schema electronică bloc a cărei componere este redată în figura 6.10.

Generatorul de frecvență G alimentează punțile de traductori pentru măsurarea momentului de torsiune TM și pentru forță axială TF cu o tensiune sinusoidală avind frecvență de cca 5 KHz. Semnalurile provenind din diagonalele punților sunt introduse în blocurile de redresare, filtrare compensare și amplificare F_{A_M} și F_{A_F} . Compensările sunt necesare deoarece impedanțele rezultante ale acestora nu pot fi rigurose egale pentru toți traductorii conformăză o punctum datorită imposibilității procomprimării perfect uniforme la montajul acestora și datorită existenței unor armonici a tensiunii de alimentare a punții cu traductori. Compensarea se face prin introducerea unei tensiuni negative re-labile de la potențiometrele P_1 și respectiv P_2 . (a se vedea și paragraful 6.8.4.3).

La ieșirea din blocurile F_{A_M} și F_{A_F} se obține un semnal electric U_{M_c} și respectiv U_{F_a} cuprins între 0...+10 V cc pentru domeniul de variație admis al parametrilor măsurati 0... M_c max și respectiv 0... F_{acmax} .

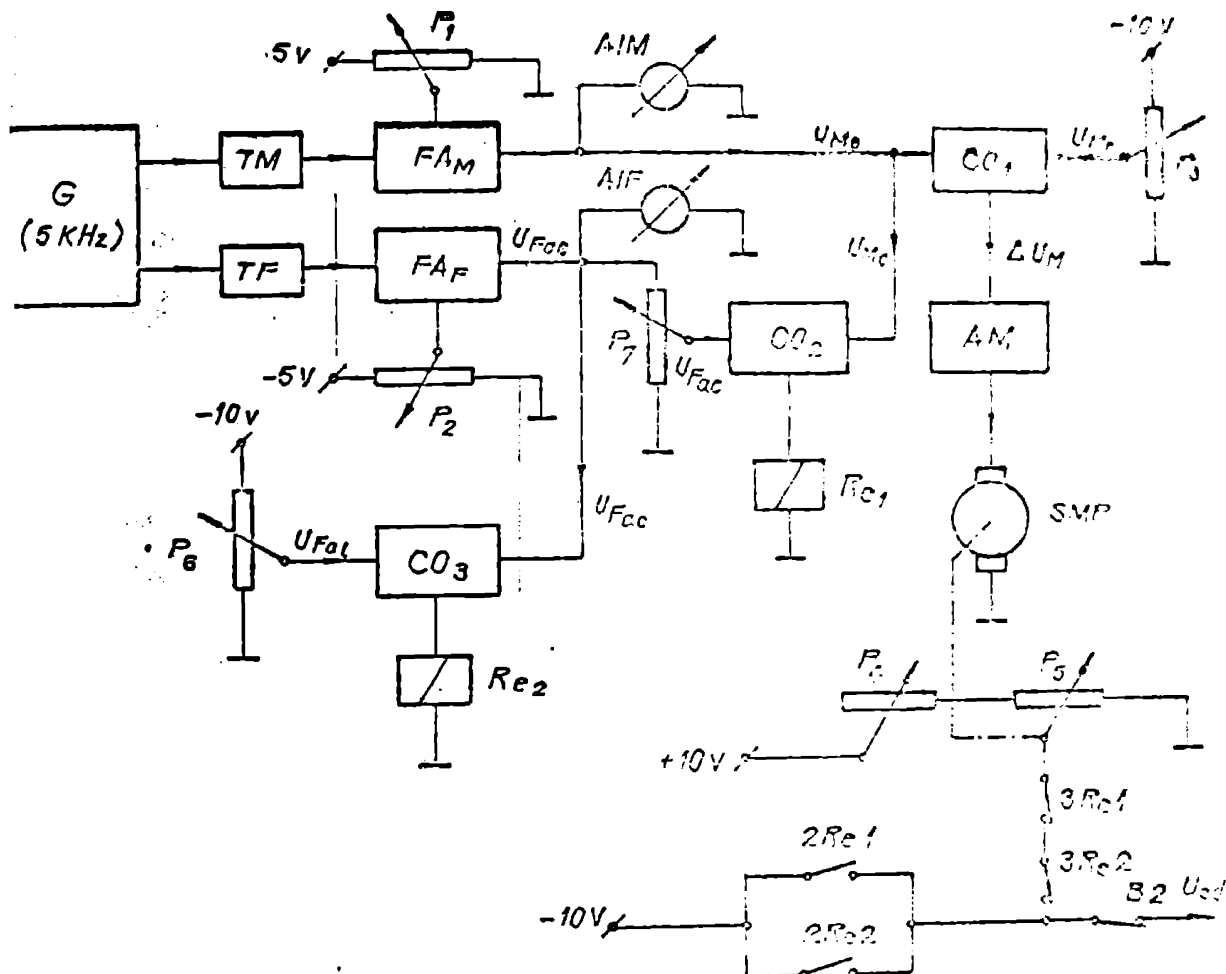


Fig.6.10. Schema electronică bloc a CA pentru mașina
GP 45 NC/AC.

Schimbarea domeniului de măsură se face relativ ușor prin schimbarea factorului de amplificare al blocului (c se vede și paragraful 6.8.4.3).

Valorile concrete ale parametrilor măsurării sunt vizualizate la aparatelor indicațoare AM și AIF (pentru momentul de torsion și respectiv pentru forță axială). Acestea arătate corecte trebuie totodată și pentru vizualizarea corectă a punctelor de traducere la reglarea acestora.

Semnalul în tensiune continuu U_{M_C} este comparat cu semnalul U_{M_R} introdus prin potențiometrul P_3 sub formă unei tensiuni negative 0... -10 Vcc în elementul comparator CO_1 și funcție de rezultatul comparării:

$$\Delta U_M = |U_{M_R}| - |U_{M_C}| \geq 0$$

to comandat blocul amplificator AM care alimentează grupul rvomotor-potențiometru SMP care comandă tensiunea U_{cd} pentru variatorul cu tiristori al mașinii GP 45 NC/AC prin potențiometrul P_5 . (Variatorul cu tiristori al mașinii GP 45 NC/AC se menține în tensiune continuă $0...+10 V_{cc}$).

Avansul crește dacă $U_M > 0$, se menține constant dacă $U_M = 0$ și scade dacă $U_M < 0$.

Pentru ca la pătrunderea sculci în material avansul să nu fie col maxim posibil realizabil de către mașină-muncită, (vezi graficul 5.3.1) s-a introdus potențiometrul P_4 care divizează minalul de comandă al variatorului asigurând reglarea acestuia între 100%...7,4% ceea ce corespunde vitezei de avans de la 0...296 mm/min (considerind impedanța de intrare a circuitului de comandă al variatorului cu tiristori de ordinul sutelor $K\Omega$).

Retragerile periodice se stabilesc prin compararea U_{Mc} și U_{Fac} (a se vedea și paragraful 5.2.4) în blocul comparator C_2 și funcție de rezultatul comparării este comandat releul R_{c_1} căruia contacte asigură comanda ciclului de retragere. Receptor între U_{Mc} și U_{Fac} , adică valoarea avansului minim, la care se produc retragerile se stabilește prin potențiometrul P_7 .

Valoarea tensiunii corespunzătoare forței oricărui curent ac se introduce și în blocul de comparație C_3 unde se compară valoarea tensiunii corespunzătoare forței oricărui curent maxim adăugit stabilității prin potențiometrul P_6 .

Funcție de rezultatul comparării este comandat releul R_2 ancloușează dacă $U_{Fac} > U_{Fal}$ determinând prin starea contactelor sale retragerea sculci și așteptare pînă la confirmarea eliminării defectului care a produs deplasarea.

6.2.4. Analiza blocurilor componente ale comenzi adaptive

In dorință de a realiza o schema electronică săt mai simplă, cu respectarea funcțiilor prezentate, au fost concepute realizate și experimentate, un număr de blocuri electronice avînd funcțiile corespunzătoare schemei bloc (Fig.6.1c).

Principalile blocuri sunt:

- Blocul de alimentare
- Blocul generator

- Blocul de redresare, filtrare, componere și amplificare a înnalului de la traductori

- Blocul de comparare și amplificare pentru comanda avansului

- Blocul de comparare a forței axiale și pentru stabilirea tragerilor periodice.

Pentru a putea folosi blocurile și la alte tipuri de comenzi adaptive (pentru alte mașini ușor) s-a efortat realizarea pe plăci electronice separate interconectate.

6.2.4.1. Blocul de alimentare

Este organizat pe două plăci electronice. Placa SA-1 a trei scheme este redată în figura 6.11 iar fotografia în figura 6.12 conține un redresor de tensiune cu filtraj adecvat care asigură la ieșire tensiunile de ± 22 Vcc și un redresor stabilizat pentru tensiune dublă de ± 15 Vcc. Această redresor asigură și alimentarea restului blocurilor, cu excepția blocului generator.

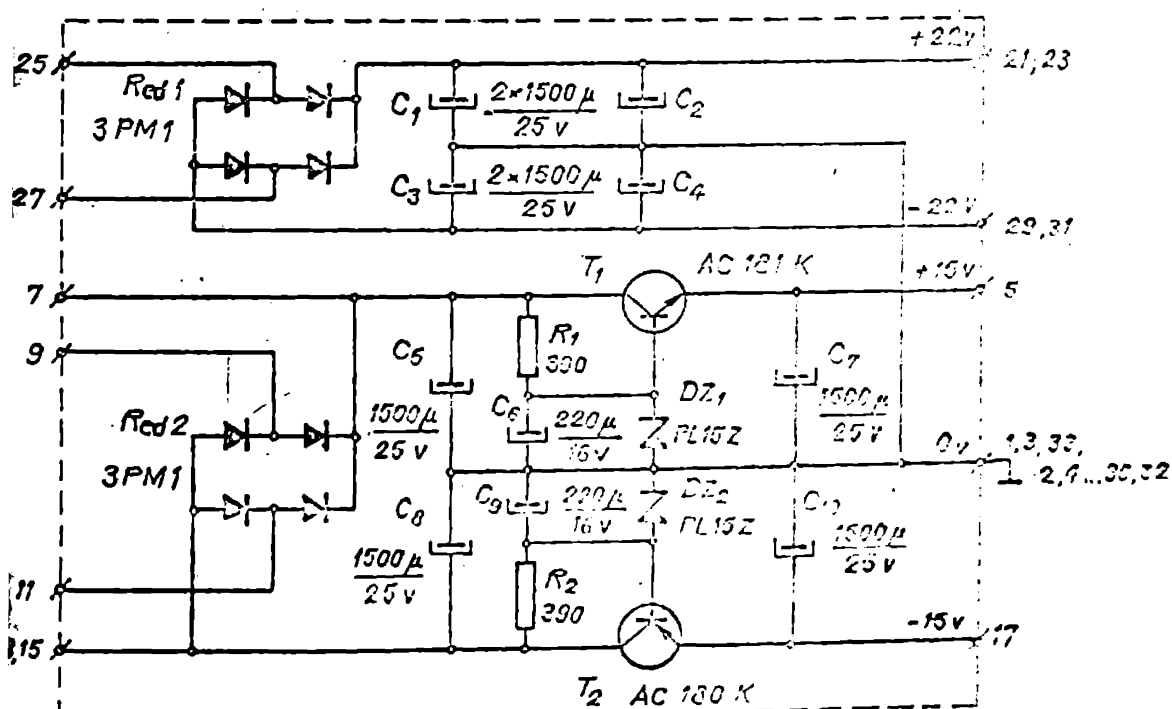


Fig. 6.11. Schema electronică a plăcii SA-1.

Dimensiunea stabilizatorului serie s-a făcut în funcție de la valoarea curentului de sarcină astăzi :

$$I_{\max} = I_{1 \max} + I_{2 \max} + I_{3 \max} \approx 0,25 \text{ [A]}$$

in care:

$I_{1\max}$; $I_{2\max}$ și $I_{3\max}$ sunt curenții absorbiti de blocoare CAA-1; CAA-2 și respectiv CAA-3 (a se vedea și figura 6.11).

Puterea maximă dissipată P_{diss} pe transzistorul serie va fi:

$$P_{dmax} = (E_{i_{max}} - U) I_{max}$$

în care:

$E_{i_{max}}$ este tensiunea maximă a sursei de alimentare a stabilizatorului (22 Vcc)

U – tensiunea de ieșire (15 Vcc)

$$P_{dmax} = (22 - 15) \cdot 0,05 = 1,75 \text{ [W]}$$

prin care se justifică alegera transzistorului regulator.

Placa SA-2 a cărei schema este redată în figura 6.13 și în fotografiea în figura 6.14, este

Fig.6.12. Placa SA-1

a stabilizator serie pentru alimentarea generatorului de frecvență.

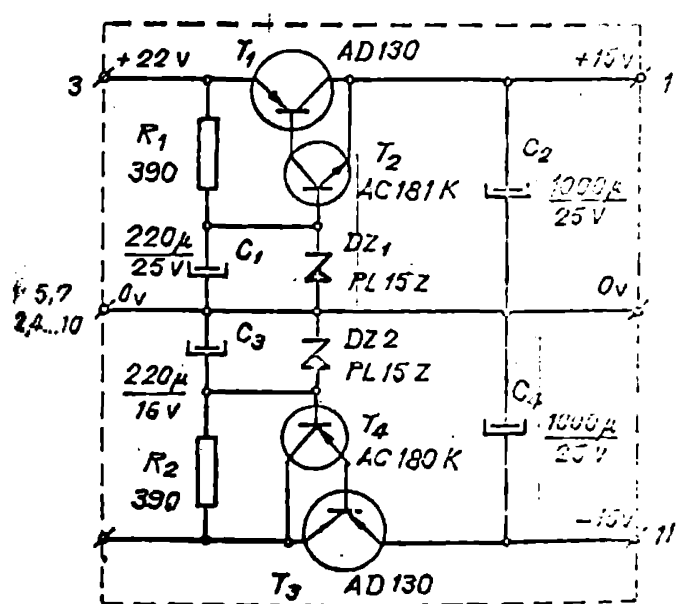


Fig.6.13. Schema electronică a plăcii SA-2

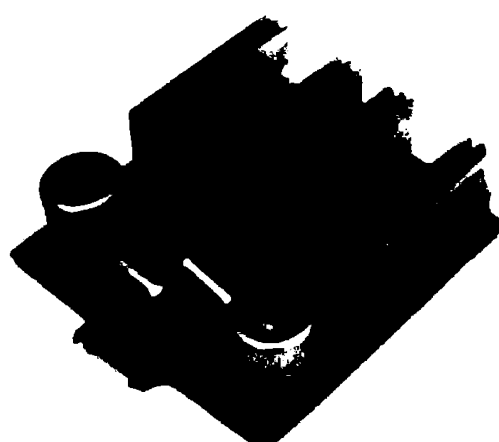


Fig.6.14. Placa SA-2

și în cazul precedent a fost stabilit tipul tranzistorului regulator, funcție de puterea dissipată, cunoșind curentul necesar alimentării generatorului (respectiv a punțiilor cu traducere)

6.2.4.2. Blocul generator (G)

Asigură alimentarea cu tensiune sinusoidală având frecvența de 5 kHz a punțiilor cu traductoare pentru momentul de forță și forță axială. Este constituit dintr-un oscilator cu unde Wien realizat cu circuitul integrat IC.1 ($\beta \approx 741$) și un amplificator tranzistorizat care să asigure puterea necesară semnalului P_s pentru punțile cu traductori, adică :

$$P_s = P_a + P_m$$

care: P_a , P_m reprezintă puterile semnalelor necesare pentru punțile de traductori pentru forță axială și respectiv pentru moment.

P_a și P_m depind de numărul traductorilor și respectiv tensiunea și curentul ce străbate un traductor (a se vedea § 6.4.3.1). În cazul de față $P_s \approx 6$ [W].

Schema electrică a generatorului este prezentată în figura 6.15 iar fotografiea acestuia în 6.16.

Pentru a alimenta ambele punți concomitent și cu tensiuni diferite s-a recurs la utilizarea transformatorului de ieșire (de adaptare) realizat pe miez de ferită.

6.2.4.3. Blocurile de redresare, filtrare, compensare și amplificare. (CAA-1).

Blocurile F_{AM} și F_{AF} care au compunere identică sunt plăcate pe aceeași placă CAA-1 (a se vedea și fig. 6.23).

Schema plăcii este prezentată în figura 6.17 iar fotografiea în figura 6.18.

Semnalul provenind din diagonala fiecărei punți cu traductori este redresat prin intermediul unei punți redresare și este filtrat, rezultând la ieșirea din circuitul integral operational IC₁ ($\beta \approx 741$) și respectiv IC₃ o tensiune continuu proporțională cu efortul din traductori.

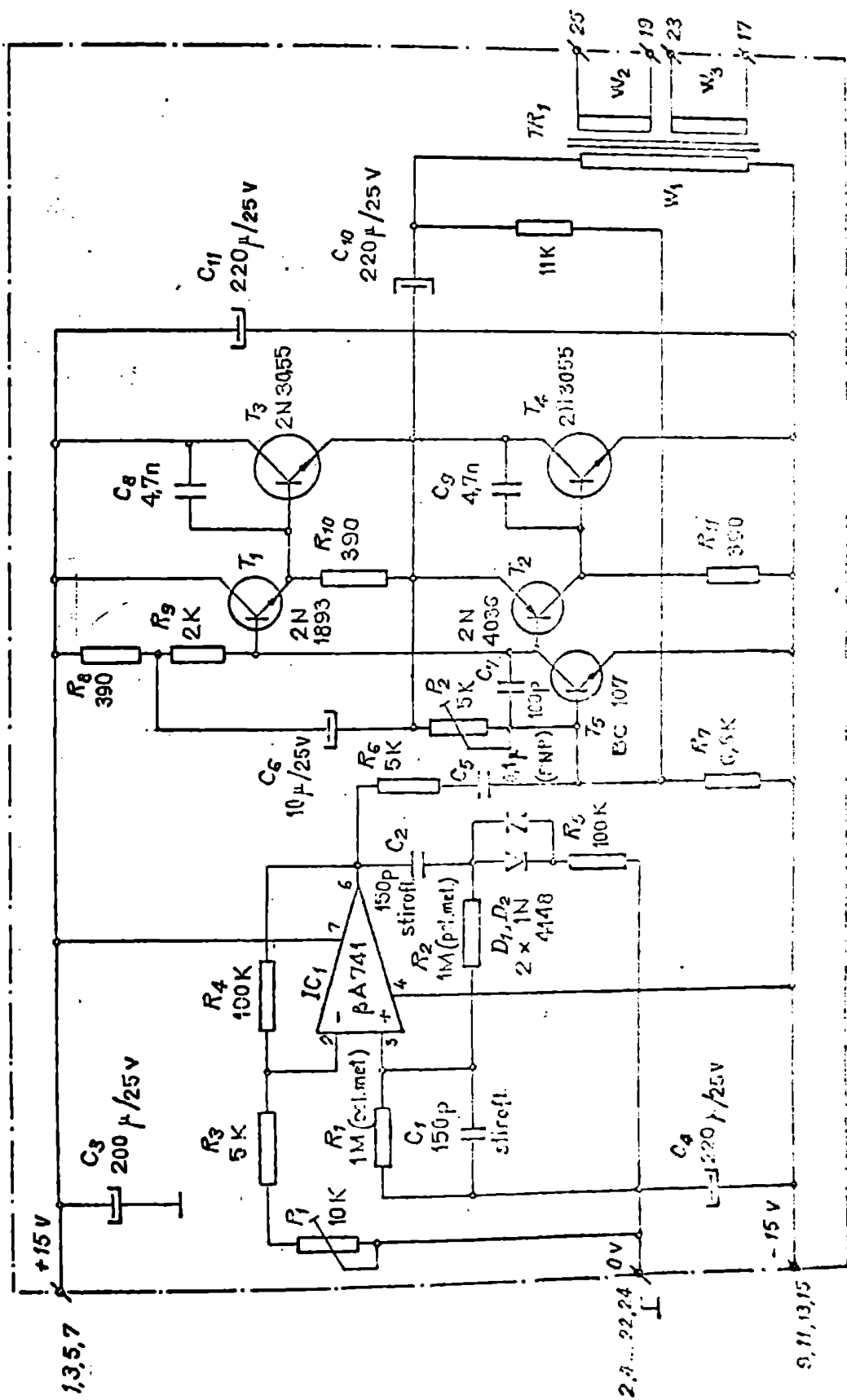
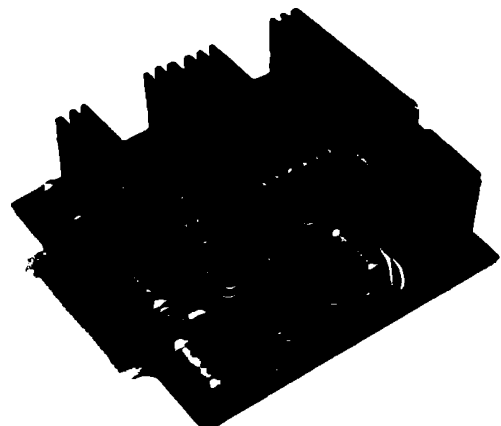


Fig. 6.15. Schéma elektronického pláště G.



Deoarece, în mod inevitabil, impedanțele trădutorilor ce formează o punte nu sunt perfect identice, iar forța de precomprimare nu poate fi ridată de aceeași valoare pentru toți trădutorii, precum și datorită armonicelor frecvenței de alimentare rezultă că și pentru un moment sau o forță de măsură nulă, se obține o tensiune pozitivă la ieșirea din IC_1 și respectiv IC_3 .

Fig.6.16. Placa G.

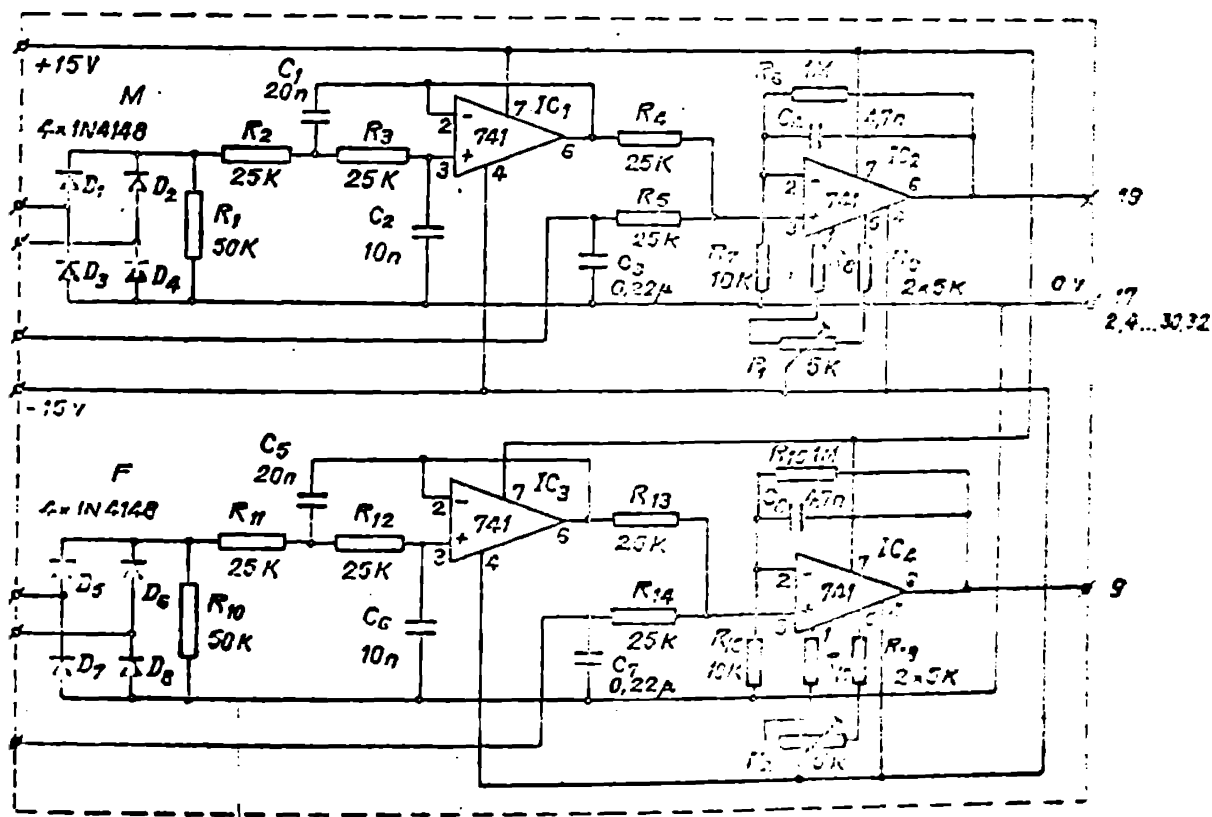
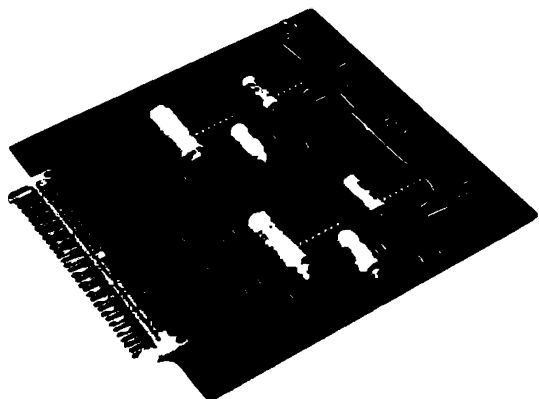


Fig.6.17. Schema electronică a plăcii CAA-1.

Pentru a putea compensa această tensiune, se introduce o tensiune egală și de semn contrar la intrarea neinvertoră a circuitului integrat operational IC_2 respectiv IC_4 . Introducerea acestei tensiuni se face printr-un potențiometru P_1 și respectiv P_2 .

se vede și figurile 6.10 și 6.23).



6.6.18. Placa CAA-1

Poate realiza cu ușurință corespondența dintre $M_{t, \text{max}}$ și $U_{e, \text{max}}$ respectiv $P_{a, \text{max}}$ și $U_{e, \text{max}}$. Pentru mașina GP 45 NC/AC aceasta înseamnă că la momentul de torsion maxim de 25.000 daNm va corespunde + 10 Vcc și respectiv la forță axială de 2000 dell va responde + 10 Vcc.

6.2.4.4. Blocul de comparare și amplificare pentru comanda avansului (CAA-3)

Să compună (fig.6.19) din elementul comparator realizat cu circuitul integrat operational IC_1 ($\mu A 741$) care la intrarea invertoră primește semnal de la blocul FA_M (a se vedea și figura 6.23) sub forma unei tensiuni positive 0...+10 Vcc corespunzător valorii momentului de torsion din proces, precum și semnal sub forma unei tensiuni negative 0... -10 Vcc de la potențiometrul P_3 prin care se introduce valoarea momentului de torsion de referință.

Funcție de rezultatul comparării acestor semnale este comandat preamplificatorul realizat cu circuitul integrat IC_2 ($\mu A 741$).

Amplificatorul final realizat cu transistoarele T_1, T_2, T_3, T_4 (în montaj Darlington) alimentează motorul servomecanismului potențiometrului SMP pentru instalarea valorii curente a avansului.

La ieșirea din IC_2 și respectiv IC_4 se obține un semnal în tensiune continuu, proporțional cu momentul de torsion sau forță axială măsurate. Amplificarea semnalului la amplificarea cu reacție negativă este:

$$A_M = \frac{U_e}{U_i} = \frac{R_6}{R_7} + 1 \text{ și respectiv}$$

$$A_F = \frac{R_{15}}{R_{16}} + 1.$$

Se observă că prin ajustarea valorii R_6 și respectiv R_{15}

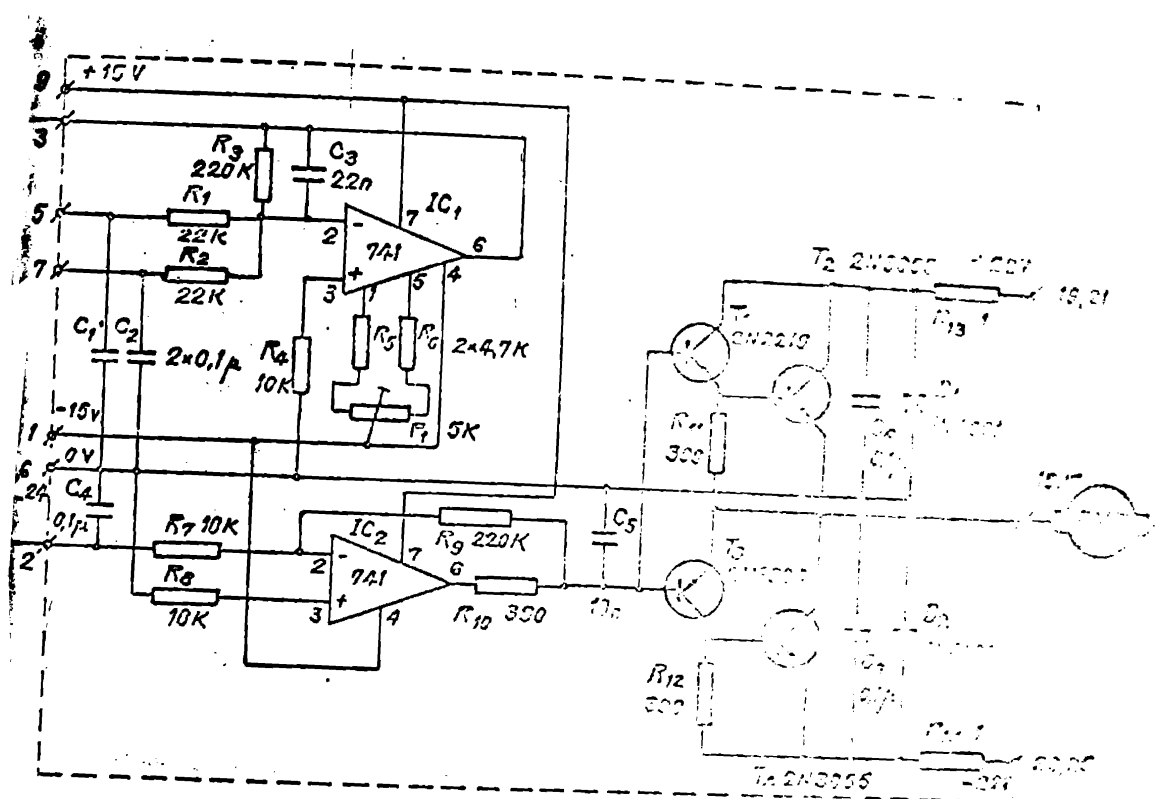


Fig. 6.19. Schema electronică a plăcii CAA-3

Photografia plăcii este prezentată în figura 6.20.

6.2.4.5. Blocurile pentru comanda retragerilor periodice și pentru limitarea forței ciocle minime.

Ambele blocuri sunt amplasate pe o singură placă (CAA-3) conform figurii 6.21.

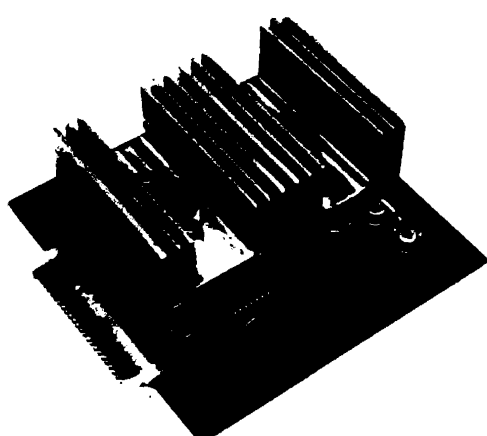


Fig. 6.20. Placa CAA-3

Placa conține două comutatoare realizate cu cirecuitele integrate operaționale CI₁ (βA 741) și respectiv CI₂ (βA 741).

Prințul comutator servește să comande retragerilor periodice pe baza comparării valorii momentului de torsion din proces M_c care în regim stabilitzat este egal cu momentul de torsion de referință M_r și care constituie un indiciu acoperă valorii inițiale a forței

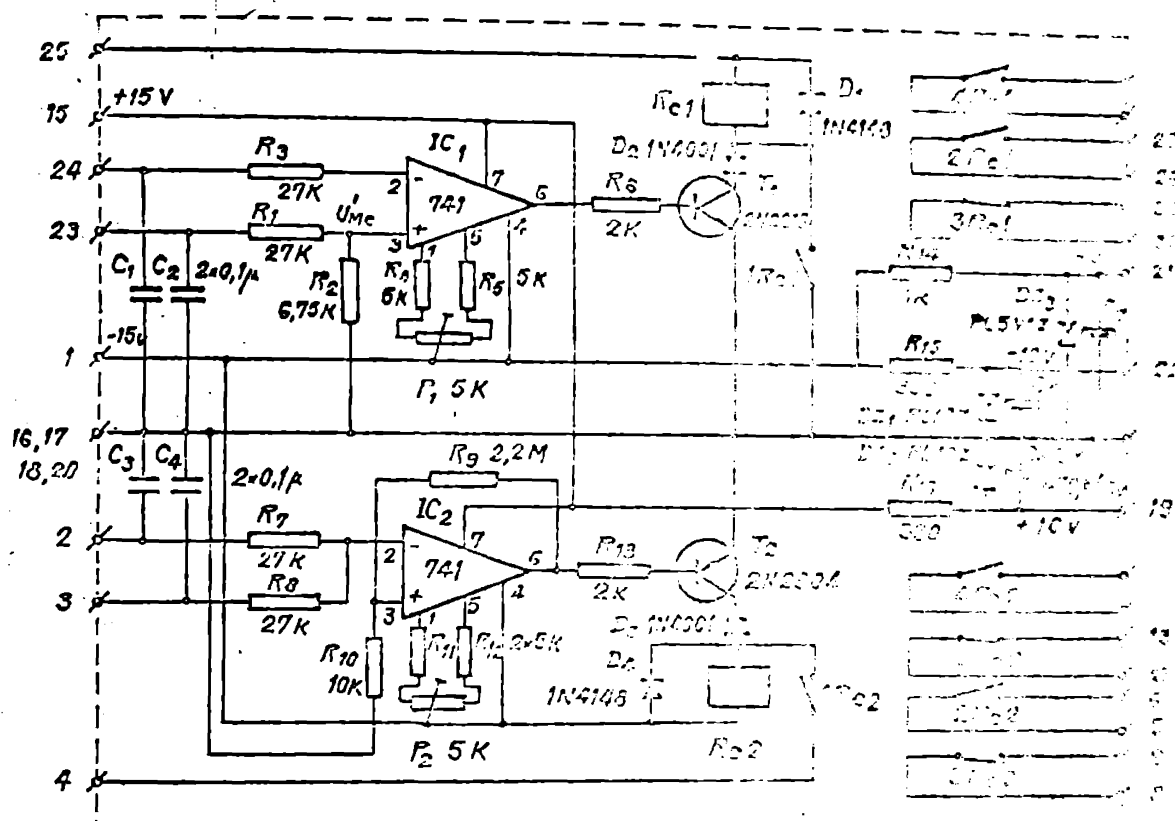


Fig.6.21. Schema electronică a plăcii GIM-2

xiale (a se vedea și paragraful 5.2.4.). Semnalul electric corespunzător momentului de torsion din proces este o tensiune pozitivă $U_{Mc} = 0...+10$ Vcc pentru domeniul $0...M_c$, și care este introdus la intrarea neinversoare a IC_1 , printr-un divisor de tensiune constituit din rezistorurile R_1 și R_2 .

Semnalul corespunzător forței emisiei din proces (forță curentă) U_{Fa} este divizat de către potențiometrul P_7 (a se vedea fig.6.10 și 6.23) prin care se stabilește valoarea reportură lui la care să se producă retragerea burghiului pentru curățire.

Pentru a stabili valorile rezistorilor divisorului pentru semnalul U_{Mc} și a celui pentru U_{Fa} se determină valorile tensiunilor de intrare funcție de M_c și respectiv a tensiunilor corespunzătoare lui F_{af} (a se vedea paragraful 5.2.4). Aceste valori sunt prezentate în tabelul 6.2.

Două rezistențe impodobnătoare de intrare a amplificatorului operational la intrarea neinversoare este suficient de mare ($\gg 1\text{M}\Omega$) să poate neglija curentul de intrare în IC_1 în comparație cu curentul i ce trece prin divisorul R_1 , R_2 .

Nr-D	Tensiunea U_{MS} [V]		Tensiunea U_{MC} [V]		Tensiunea U_{Faf} [V]		Tensiunea U_{Fe} [V]		Tensiunea U_{Fei} [V]			
	OL, Bz, Al	I_C	OL, Bz, Al	I_C	OL	I_C	Bz	I_C	Cf	I_C	I_{Fe}	I_{Fei}
1	0,03	0,03	0,006	0,006	0,43	0,46	0,22	0,16	0,01	0,02	0,02	0,02
2	0,32	0,24	0,064	0,048	1,35	1,64	1,13	1,22	0,31	0,42	0,44	0,47
3	1,24	1,24	0,248	0,248	2,6	3,41	2,4	2,2	0,96	1,23	0,91	0,87
4	2,62	2,62	0,524	0,524	4,12	5,7	4,08	3,4	1,82	2,11	1,81	1,72
5	4,8	4,8	0,96	0,96	6,0	8,6	6,95	6,0	3,21	3,8	3,29	3,22
6	7,8	6,54	1,56	1,308	7,96	10	8,2	6,8	3,72	4,28	3,62	3,58
7	10	7,5	2,0	1,5	8,81	10	8,3	7,9	3,84	4,32	3,67	3,63
8	10	8,5	2,0	1,7	8,02	10	8,2	8,7	3,61	4,11	3,44	3,44
9	10	9,4	2,0	1,88	7,55	10	7,9	8,4	2,93	3,48	3,21	3,27
10	10	10	2,0	2,0	6,71	8,67	6,6	7,1	2,64	3,32	3,07	3,07
11	10	10	2,0	2,0	6,35	8,9	6,2	6,0	2,61	3,27	2,97	2,97
12	10	10	2,0	2,0	5,93	8,1	5,7	5,0	2,2	2,8	2,5	2,5

Rezultă că .

$$U_{Mc} = (R_1 + R_2)i = U'_{Mc} + R_1 \cdot i$$

Pentru funcționalitatea sistemului trebuie să se aibă $U_{Faf} \geq U'_{Mc}$, ceea ce înseamnă că rezistența momentului de torsion minim (momentul de rezistență M_{max}) să îndeplinească condiția:

$$U_{Faf, min} \geq U'_{Mc, max}$$

Din tabelul 6.1 se observă că $U_{Faf, min}$ (la valoarea minima rezonanță) are valoarea 2,12[V] și pentru $R_2 = 27\text{ k}\Omega$ și $U'_{Mc, max} = 2,5$ rezultă:

$$i = \frac{U_{Mc} - U'_{Mc}}{R_1} = \frac{10 - 2}{27.000} = 0,2903 \cdot 10^{-3}[\text{A}] = 0,2903[\text{mA}]$$

iar:

$$R_2 = \frac{2}{0,2903} = 6,75 \text{ k}\Omega$$

Pentru stabilirea avansului minim în curs de realizare a retragorile periodice, se marchează în intervalul metriometricul 7 valorile corespunzătoare diametrului pentru diverse materii și pro lucrut în parte pentru care se reține $U_{Faf} \geq 4 U'_{Mc}$ în care U_{Faf} este tensiunea la intrare învertorului I_{C1} .

Cînd $U_{Faf} < U_{Mc}$ se polarizează transistorul T_1 în sensul
îndreptării acestuia, reful R_{e1} anclonănd și se răstreapte
în final retragerea sculei pînă la limitatorul de curîu
mai LC după care ciclul de proluare se refă (v. sezionele 6.
6.23).

Blocul pentru limitarea forței axiale este constituit din
variatorul cu CI_2 care compară tensiunea corespondătoare forțelor
axiale din proces $U_{Fa} = 0...+10$ Vcc cu tensiunea corespunzătoare
forței maxime admise ($0...-10$ Vcc) introdusă prin intervalul
potențiometrului P_6 (conf. fig.C.10 și C.23).

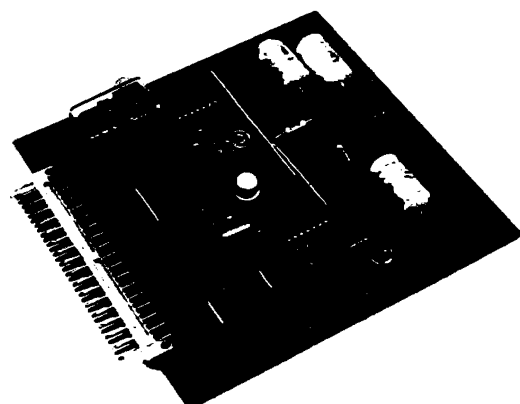


Fig. 6.22. Placa CAA-2.

Uzute cursele pentru tensiunile de referință: +5 Vcc, -10 Vcc, +
-10 Vcc, realizate cu diode zener.

6.2.5. Grupul servomotor - potențiometru.

Comanda variatorului cu tiristori se face în trepte
continuă $0...+10$ Vcc pentru sensul direct și acordind și re-
spectiv $0...-10$ Vcc pentru retragere. Introducerea în circuitului
variabil în tensiune la variator se face printr-un potențiome-
tru liniar bobinat avînd rezistență de $2\text{ k}\Omega$.

In cazul comenzi adaptive s-a recurs la folocirea ace-
uiași tip de potențiometru (care prin construcție are o rezis-
tență considerabilă la uzură) și s-a conceput un grup : servomo-
tor - reductor care să întreneeze acest potențiometru.

poarece viteza de variație a factorilor perturbatori la muri nu este deosebit de rapidă (cu excepția perioadei de mutare a burghiului) s-a admis ca durata schimbării avansului de $s_{\min} = 4[\text{mm/min}]$ la $s_{\max} = 4000 [\text{mm/min}]$ să fie de 1,5 [s].

Motorul electric de curenț continuu pentru acționare are caracteristicile :

- tensiunea de alimentare 24[Vcc];
- turăția $n_m = 4500 [\text{rot/min}]$;
- puterea cca 4[W].

Cunoscând că unghiul de rotație al potențiometrului este $\alpha = 300^\circ \approx 0,83 \text{ rad}$, prin scrierile cunoscutele:

$$n_i \cdot j = n_e$$

care: n_i este turăția de intrare;

n_e - turăția de ieșire;

j - produsul raportelor intermedii.

$$\text{Se determină raportul total } j = \frac{0,83 \cdot 62}{1} = 7,467 \cdot 10^{-3}$$

care s-au stabilit raportele intermedii a treptelor de multiplicare.

Grupul este dotat cu limitator de curățare înainte de unghiul de rotație al cursorului potențiometrului.

6.2.6. Schema de interconectare a placilor și a legăturilor cu mașina GP-45 NC/AC

In schemele prezentate pentru fiecare placă în parte sunt indicate numerele pinilor conectoarei pentru fiecare legătură a plăcii cu exteriorul. Conform acestor notări și respectiv a schemei bloc (fig.6.10) a fost elaborat schema de interconectare a placilor și aparatelor prezentată în figura 6.23.

Conform acestei scheme a fost realizat cablajul între plăci și cu restul aparatelor și respectiv s-a realizat legăturile cu mașina GP 45 NC/AC.

Dulapul de comandă și CA a avansului având carcasa de montare este prezentat în vedere din față și cap dinspre cablajul dintre plăci în fotografiiile din figura 6.24 a și b.

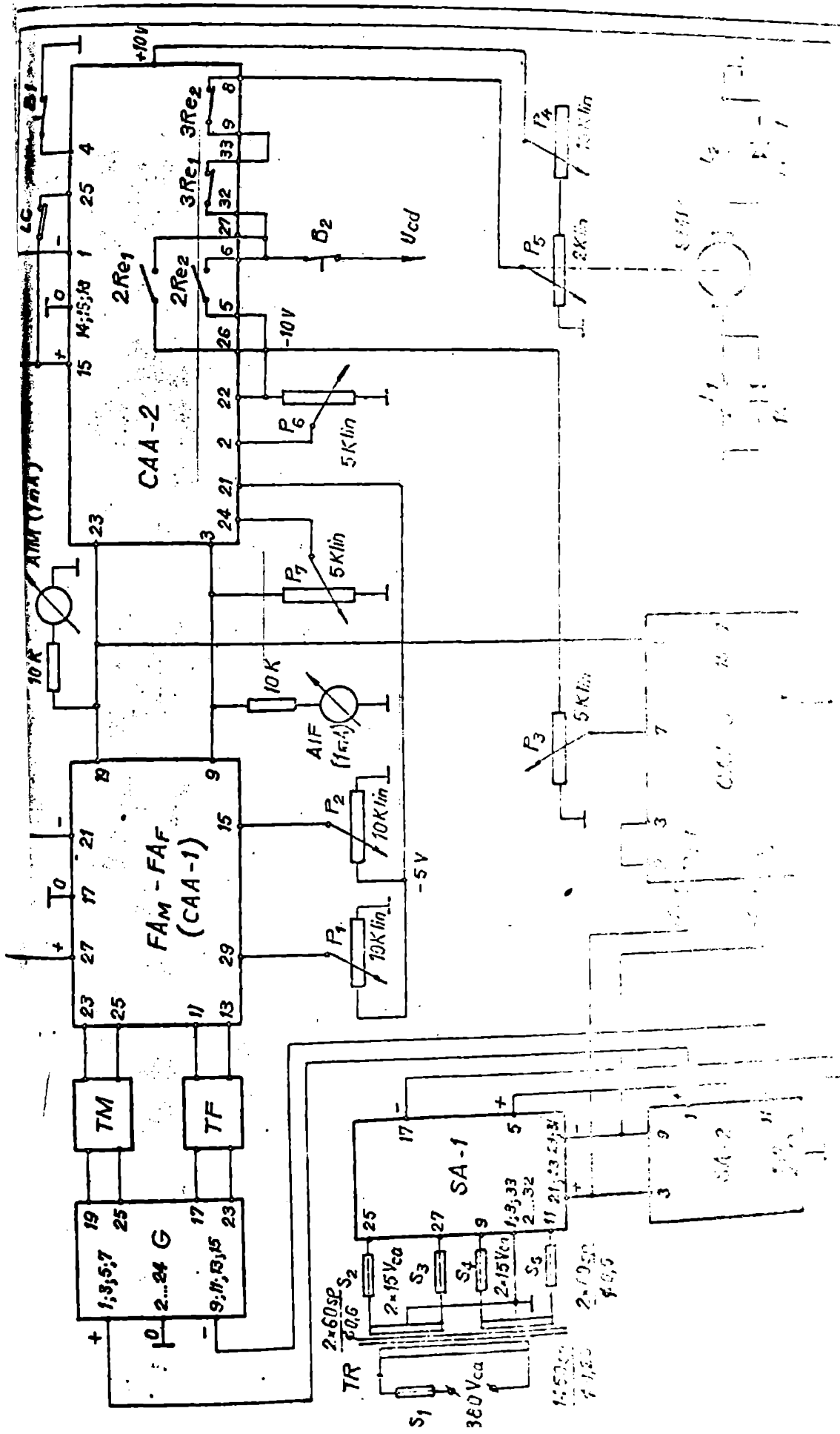


Fig. 625.



Fig.6.24. Dulapul de comandă.

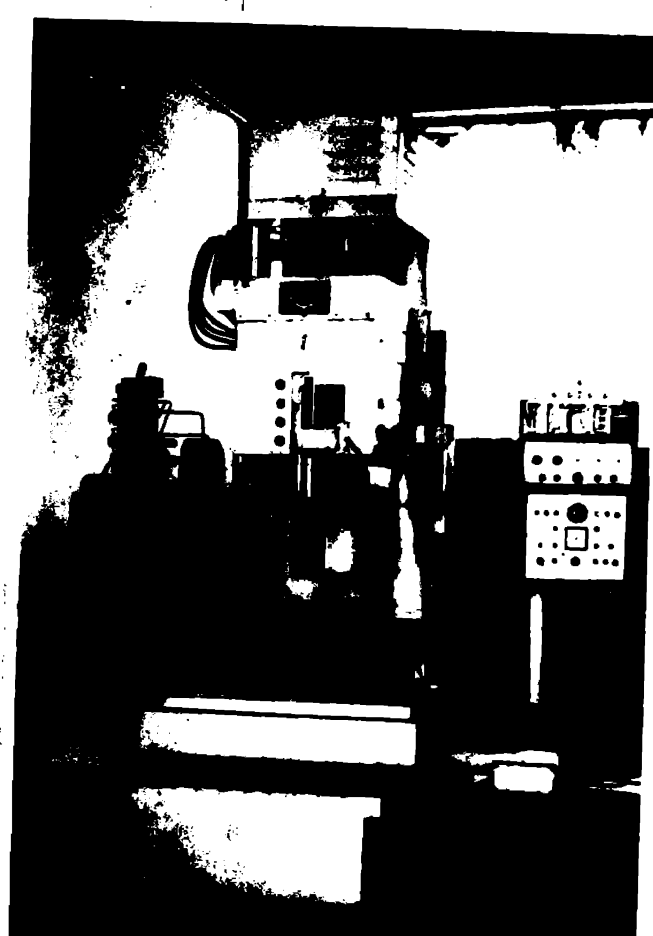


Fig.6.25. Mașina GP 45 NC/AC cu sistem de comandă adaptivă.

Legăturile cu rețeaua GP-45 NC/AC sălăt în număr redus, ceea ce constituie un avantaj major al sistemului, deoarece nu impune schimbări importante în schema de comandă electrică a mașinii, și constă în alimentarea dulapului (transformatorului) cu tensiune de 380 V c.c., legăturile (realizate cu cabluri corecte) spre grupurile de traductori, legătura la limitatorul de cursă LC (instanță suplimentară pentru comanda retragerilor periodice) și legătura pentru comanda varistorului cu tiristori el magazini prin tensiunea Ucd.

Pentru o cît mai ușoară manevrabilitate s-a luat un buton de comandă astfel realizat, deasupra parțialui de comandă și însinii propriuțise, realizându-se un dulap cu dimensiuni mici și care să se adapteze comandamentelor și nu afecteze niciunul designului general al mașinii.

Mașina de găurit GP 45 NC/AC cu dulapul de comandă integrată a avansului amplasat deasupra parțialui de comandă mașinii este prezentată în figura 6.25.

6.5. Concluzii

Au fost concepute și realizate două sisteme de comandă adaptivă. Un sistem este destinat prelucrării plăvăilor mici (p. a cca 1 mm) având o structură mai simplă. Pentru utilizarea acestui sistem a fost proiectată și realizată mașina de găurit care poate executa prelucrări atât în comandă clasică (fără comandă adaptivă) cât și cu comandă adaptivă. Pentru realizarea unui avans continuu reglabil în raport cu viteză și deosebit de proiectată, realizată și experimentată o acțiune curată cu micromotor de curent continuu având o lege de variație în funcție de caracteristicile mecanice $n = f(X)$.

Comanda adaptivă pentru prelucrarea plăvăilor mici se realizează prin simplitate și prin folosirea la excluderile a componentelor electronice de fabricație românească.

Sistemul de comandă adaptivă, proiectat și realizat și instalat pe mașina GP 45 NC/AC este de exceleță și are în cinste urmănd o serie de funcții de reglare și protecție a rândului și mașinii unele. Sistemul se bazează pe principiul prezentat în cap. 5 și este realizat în construcție de aluminiu (cu ilustrații funcționale) ceea ce își asigură o bună întreținere și facilitatea utilizării modulelor respective și la scurtă durată de comenzi adaptive.

In principiu sistemul reglează avansul funcție de un moment de torsionare de referință (care poate fi stabilit și pe baza altor algoritmuri) asigurând protecție la forțe axiale și posibilitatea retragerilor periodice pentru sursele și redirecționarea la atingerea unui avans minim și maxim.

Retragerile periodice se comandă printr-un sistem original al autorului.

• Sistemul de comandă adaptivă a avansului la găurire este realizat cu componente electronice de fabricație românească și poate fi instalat cu ușurință, pe orice mașină sau unitate de găurire, dacă aceasta dispune de roglare continuă a avansului și de un sistem adecvat de traductoare, pentru momentul de torsion și forță axială.

Ambele sisteme sunt originale ca și compunere fiind printre primele încercări de acest gen la noi în țară și având mari perspective de aplicare, atât pentru mașini de găurit cât și pentru centre de prelucrare și linii tehnologice flexibile.

7. INCERCARI EXPERIMENTALE ALE COMENZII ADAPTIVE A AVANSULUI

Prin încercările experimentale s-au urmărit o serie de aspecte legate atât de concordanța determinării teoretice cu cea experimentală a mărimilor de referință cît și de creșterea capacitatii de producție a mașinii dotate cu CA și în general a funcționalității sistemului.

Având în vedere realizările prezentate în cap. 6. au fost făcute o serie de experimentări atât pentru micromășina de găurit cît și pentru mașina GP-45 NC/AC.

7.1. Încercări experimentale ale comenzi adaptive a avansului la prolucrearea găurilor pînă la 1 mm.

Pentru realizarea acestor experimentări s-a folosit micromășina de găurit prezentată în cap. 6. Montajul de laborator realizat, este redat în fotografie din figura 7.1.

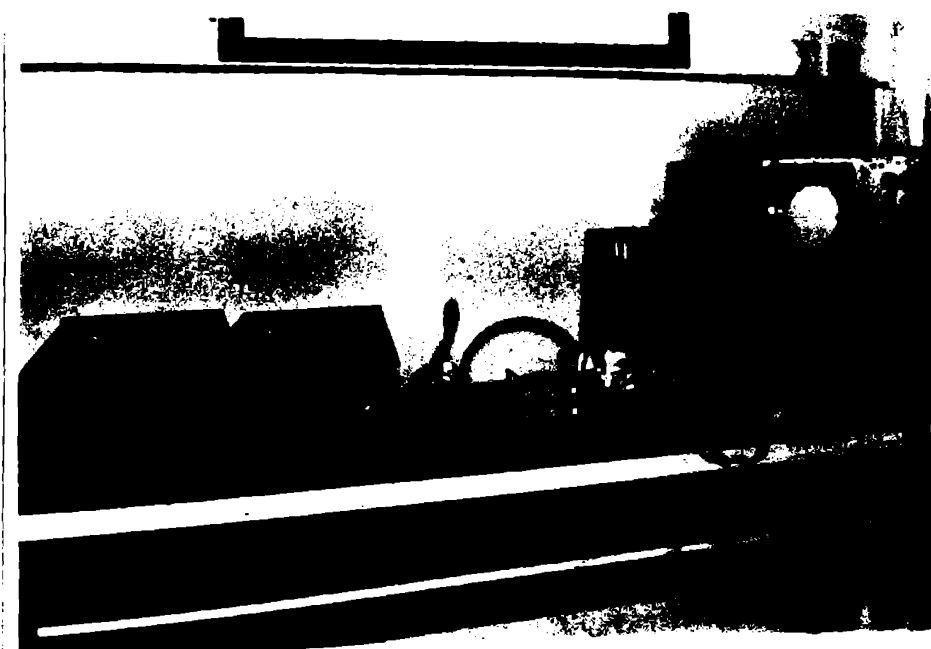


Fig. 7.1. Montajul de laborator pentru încercarea micromășinii.

Se observă că sunt folosite mijloace de măsură (ca aparat de indicatoare) precum și un oscilograf înregistrator al variației parametrilor în timpul procesului de prelucrare.

7.1.1. Obiectivele urmărite și metodica încercărilor

Așa cum s-a prezentat, scopurile principale ale unui sistem de CA a avansului este să asigure o eficiență maximă a procesului de prelucrare prin încărcarea maximă admisă de burghiu sau magină, concomitent cu protejarea burghiului împotriva rușorilor accidentale. Prin funcționarea sa, sistemul trebuie să asigure retragerile sculei pentru curățire de așchii și reluarea procesului așchierii.

Principalul obiectiv urmărit de prelucrarea găurilor mici prin sistemul CA a fost creșterea capacitatei de producție.

Pentru a putea face compararea capacitatii de producție între condițiile clasice și condițiile sistemului de CA s-a recurs la prelucrarea cu burghie de diferite diametre determinându-se valoarea capacitatii de producție exprimată în unitate de lungime de gaură prelucrată pe unitate de timp c.p₁ [mm/min] și în volum de material așchiat în unitate de timp c.p_v [mm³/min]. (Exprimarea se referă evident la un anumit diametru de burghiu).

7.1.1.1. Determinarea capacitatii de producție în cazul prelucrării fără CA.

In condiții de prelucrare clasice, folosind burghie elicoidale normale (conform STAS 573-73), ciclul de prelucrare trebuie să decurgă conform recomandării /70/ ca în figura 7.2.

Dacă se notează cu :

L - lungimea (adâncimea) găurii prelucrate ;

l_1 - lungimile curselor intermedii;

l_a - distanța dintre burghiul și picad la începutul prelucrării (poziția inițială)

n - numărul de retrageri,

se poate determina pe cale analitică timpul necesar prelucrării unei găuri t_m ca fiind :

$$t_m = t_b + t_a \text{ [min]} \quad (7.1)$$

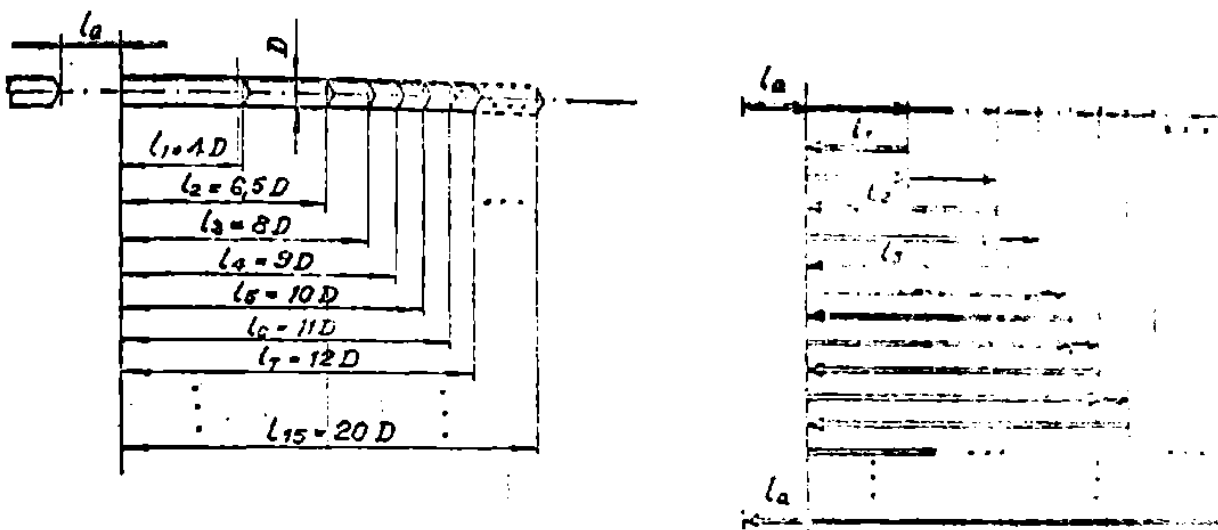


Fig. 7.2. Ciclul de prelucrare la găuri.

în care:

t_b este timpul de bază;

t_a - timpul auxiliar.

Timpul de bază se poate calcula suficient de precis cu relația:

$$t_b = \frac{L}{n \cdot s} = \frac{L}{s_v} \text{ [min]} \quad (7.2)$$

în care:

n este turăția burghiului [rot/min]

s - avansul [mm/rot]

s_v - viteza de avans a burghiului [mm/min].

iar

$$t_a = \frac{2(l_a + \sum_{i=1}^{n-1} l_i) + l_n}{v_g} \text{ [min]} \quad (7.3)$$

în care:

v_g este viteza mișcării de instalare (deplasare rapidă) a burghiului.

Rezultă că:

$$t_m = \frac{L}{s_v} + \frac{2(l_a + \sum_{i=1}^{n-1} l_i) + l_n}{v_g} \text{ [min]} \quad (7.4)$$

Dacă conform /70/ se admite lunginile:

$l_1 = 4D$; $l_2 = 6,5D$; $l_3 = 8D$ și în continuare

$l_j = l_{j-1} + D$ pentru $j \geq 4$ numărul de retrageri n pentru lungimi $L > 8D$ se poate calcula cu relația :

$$n = \frac{L - 8D}{D} + 3 \quad (7.5)$$

In condiții clasice de prelucrare (fără CA) se lucrează cu parametrii n, s, constanti pentru regimul de aşchierare.

Materialul prelucrat a fost ales alama CuZn 36- STAS 95-80 bară laminată de diametru 12 mm STAS 291/2-80 datorită faptului că este foarte frecvent utilizat în mecanică fină și se bucură de prelucrabilitate bună.

Conform recomandărilor /65/ și posibilităților micromășinii de găurit au fost folosite regimurile de aşchierare prezente în tabelul 7.1. S-a admis ca lungimile de prelucrare, pentru care se face analiza comparativă să fie $L = (8 : 10 : 12 : 15 : 20) D$.

Tabelul 7.1

Diam. burgh. D	Turația burghiului n	Viteza de așchierare v	Avansul burghiului λ	Viteza de avans λ_v	Durabilității econom. T
[mm]	[rot/min]	[m/min]	[nm/rot]	[m/n/min]	(min)
0,5	8500	13,5	0,003	25,5	1
0,65	8500	17,36	0,0055	29,75	2
0,8	8500	21,4	0,004	34,0	3
1,0	8500	25,7	0,0045	38,2	3

Deoarece compararea se face în condițiile menținerii constante a durabilității sculei, pentru aprecierea acesteia s-a recurs la măsurarea momentului de torsion la burghiu în timpul aşchieririi prin determinarea vitoriei (torsionul și curentul) motorului electric al acționării principale. Astfel s-a constatat experimental creșterea momentului de torsion la sfîrșitul perioadei de durabilitate /65/ de cca 30% față de valoarea momentului de torsion la burghiu proiectat respectiv.

Rezultatele experimentale obținute în condițiile prelucrării clasice sunt prezentate în tabelul 7.2.

Din tabel se observă că timpul de măgină determinat experimental t_{me} este mai mare cu 15,5...23,5% față de cel

determinat pe cale analitică, datorită aproximărilor făcute în relația analitică, aproximări legate de perioadele de reverberoare ale mișcării de burghiu.

Tabelul 7.2.

Diam. burghiu <i>D</i>	Rap. $\frac{L}{D}$	Lungimea găurii prelucrate <i>L</i>	Număr de retrageri <i>n</i>	Timpul de masaj (sensibilic) <i>t_{ma}</i>	Timpul de masaj (experiment) <i>t_{me}</i>	Capacitate de prod. lin <i>CP_l</i>	Capacitate de prod. vol. <i>CP_v</i>
[mm]	-	[mm]	-	[min]	[min]	[mm/min]	[mm ³ /min]
0,5	8	4,0	3	0,259	0,32	12,5	2,45
	10	5,0	5	0,4	0,5	10,0	1,96
	12	6,0	7	0,56	0,7	8,57	1,60
	15	7,5	10	0,84	1,04	7,21	1,42
	20	10,0	15	1,43	1,73	5,33	1,12
0,65	8	5,2	3	0,3	0,39	14,21	4,72
	10	6,5	5	0,475	0,575	11,3	3,75
	12	7,8	7	0,68	0,82	9,51	3,16
	15	9,75	10	1,04	1,24	7,66	2,61
	20	13,0	15	1,78	2,08	6,25	2,57
0,8	8	6,4	3	0,338	0,398	16,00	6,00
	10	8,0	5	0,545	0,645	12,4	4,22
	12	9,6	7	0,789	0,929	10,33	5,19
	15	12,0	10	1,22	1,42	8,45	4,25
	20	16,0	15	2,11	2,41	6,64	3,34
1,0	8	8,0	3	0,39	0,453	17,00	10,00
	10	10,0	5	0,64	0,735	15,00	10,00
	12	12,0	7	0,97	1,01	11,00	9,22
	15	15,0	10	1,48	1,57	8,33	7,01
	20	20,0	15	2,58	2,83	6,71	5,27

Variatia capacitatii de productie functie de adancimea găurii prelucrate avind ca parametru diametrul burghiului este prezentată în figura 7.3.

Se observă scăderea semnificativă a capacitatii de producție functie de creșterea raportului L/D, datorită retragerilor frecvente pentru curățirea burghiului.

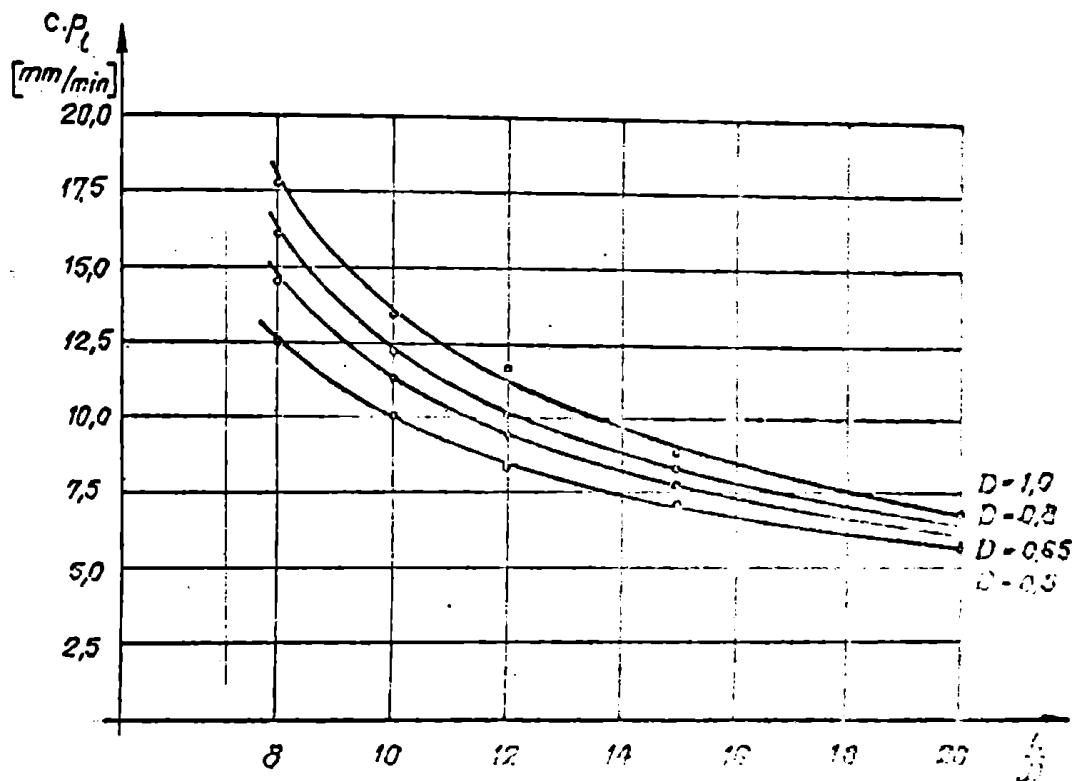


Fig. 7.3. Capacitatea de producție la prelucrarea găurilor mici fără sistem de CA.

7.1.1.2. Determinarea capacitatei de producție în condițiile utilizării sistemului de comandă adaptivă.

Pentru determinarea capacitatei de producție în condițiile conducerii procesului de așchierare prin comandă adaptivă, s-a reglat (prin încercări experimentale) un moment de torciune maxim admis de către burghiu, moment care conduce (conform schemei din fig.6.7) la o viteză de avans inițial maximă a_{vm} pentru fiecare diametru de burghiu. Valoarea a_{vm} derinde și de factorul de amplificare al părții electronice. Cunoscând această viteză s-a admis ca retragerile periodice să se facă atunci când avansul din proces ajunge la cca 25% din avansul inițial (conform paragrafului 5.2.4). Prin măsurarea periodică a momentului de torciune la burghiu s-a verificat dacă burghiu se află în perioada durabilității admisă (conform tabelului 7.1).

In urma experimentărilor s-au obținut rezultatele din tab. 7.3, ce reprezintă valorile medii pentru un număr de 5 încercări.

Tabelul 7.3

Diam. burgh. <i>D</i>	Rap. L/D	Lung. găurii prel. <i>L</i>	Viteză de avans initial <i>a_{vm}</i>	Vit. de av. minim admis <i>a_{vmin}</i>	Numebrul de retrageri <i>n</i>	Timpul de masină (experiment) <i>t_{me}</i>	Capacitatea de prod. lin. C.P.	Capacitatea de prod. vol. C.P.
[mm]	-	[mm]	[mm/min]	[mm/min]		[min]	[mm/min]	[mm ³ /min]
0,5	8	4,0	35	12,5	2,2	0,24	16,8	3,32
	10	5,0	50		3,5	0,33	13,0	2,73
	12	6,0	50		5,2	0,51	11,7	2,30
	15	7,5	50		6,6	0,69	9,4	1,85
	20	10,0	50		9,6	1,01	8,8	1,34
0,65	8	5,2	40	15	2,4	0,27	12,2	6,37
	10	6,5	60		3,8	0,42	15,5	9,15
	12	7,8	60		5,2	0,57	13,1	4,35
	15	9,75	60		7,2	0,92	10,6	3,52
	20	13,0	60		10,4	1,71	9,6	2,58
0,8	8	6,4	50	17,5	2,2	0,29	21,9	11,91
	10	8,0	70		4,0	0,46	17,3	8,72
	12	9,6	70		5,4	0,67	14,3	7,12
	15	12,0	70		7,6	1,04	11,5	5,75
	20	16,0	70		11,0	1,95	8,2	4,10
1,0	8	8,0	60	20	2,4	0,33	24,2	13,0
	10	10,0	80		4,2	0,52	19,2	15,1
	12	12,0	80		5,8	0,73	16,5	13,0
	15	15,0	80		8,4	1,13	12,6	9,7
	20	20,0	80		11,0	2,01	9,17	6,4

Se observă că valorile avansului inițial a_{vm} (la începutul aşchierii) sunt de cca 2 ori mai mari decât cele recomandate în literatura de specialitate /65/. Prin scăderea avansului în timpul prelucrării, valoarea avansului mediu realizat în timpul aşchierii este însă numai cu 22,5...30% mai mare decât avansul recomandat.

Reprezentând grafic capacitatea de producție funcție de raportul L/D și având ca parametru diametrul burghiului D s-au obținut diagramele din figura 7.4.

Se evidențiază că și în condițiile cononziilor adaptive capacitatea de producție scade cu creșterea adâncimii orificiului prelucrat datorită retragerilor periodice necesare puntrui curățirea burghiului, ea rămânind totuși în permanență superioară

alei obținute la prelucrarea fără CA.

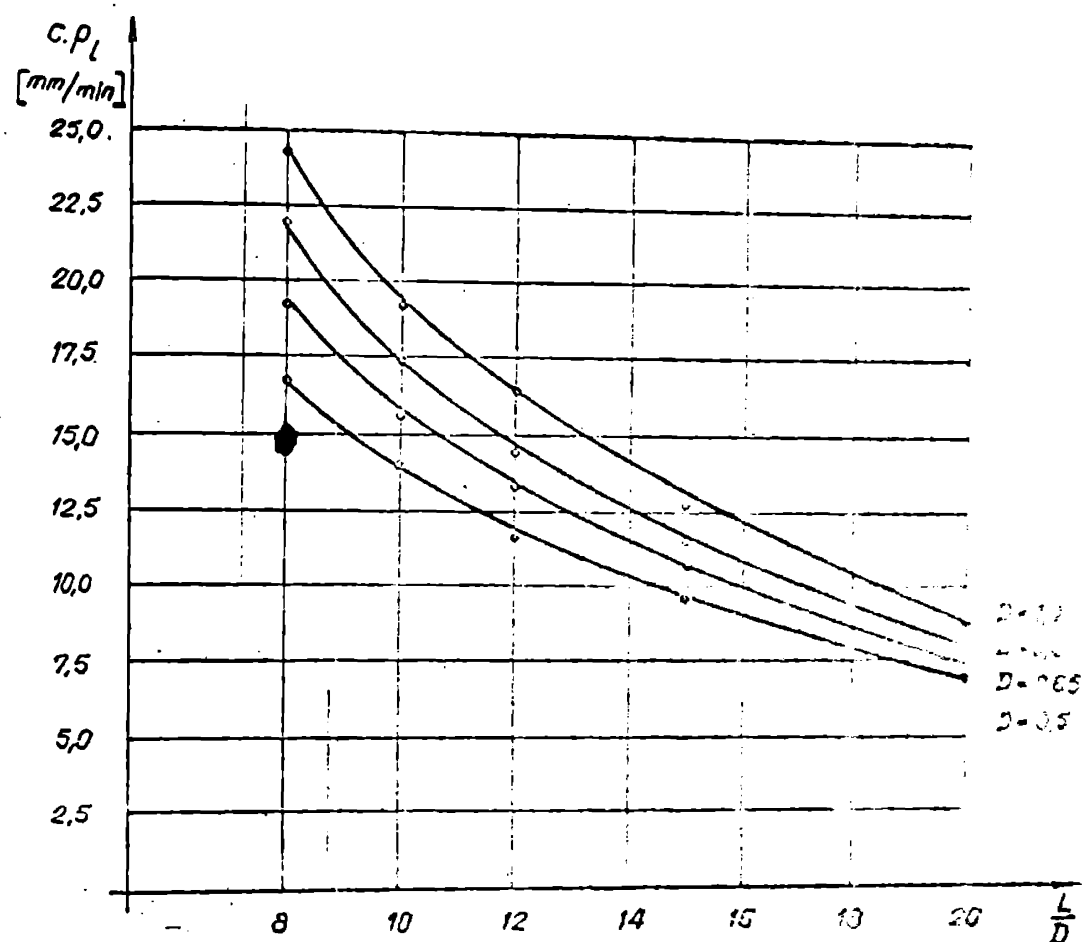


Fig. 7.4. Capacitatea de producție la prelucrarea plăutilor mici cu sistem de CA.

7.1.2. Creșterea capacitatii de producție în condițiile sistemului de comandă adaptivă.

Creșterea capacitatii de producție C [%] în cazul utilizării comenzi adaptive în raport cu prelucrarea cu parametrii regimului de aschicare constanti, s-a determinat prin raportul capacitatilor de producție, stabilite prin metodele anterioare, cu relația:

$$C = \frac{c.p_1 (C.A) - c.p_1 (C.C)}{c.p_1 (C.C)} \cdot 100 \quad [\%] \quad (7.6)$$

Variatia lui C functie de raportul L/D și avind ca parametru diametrul burghiului este prezentată în figura 7.5.

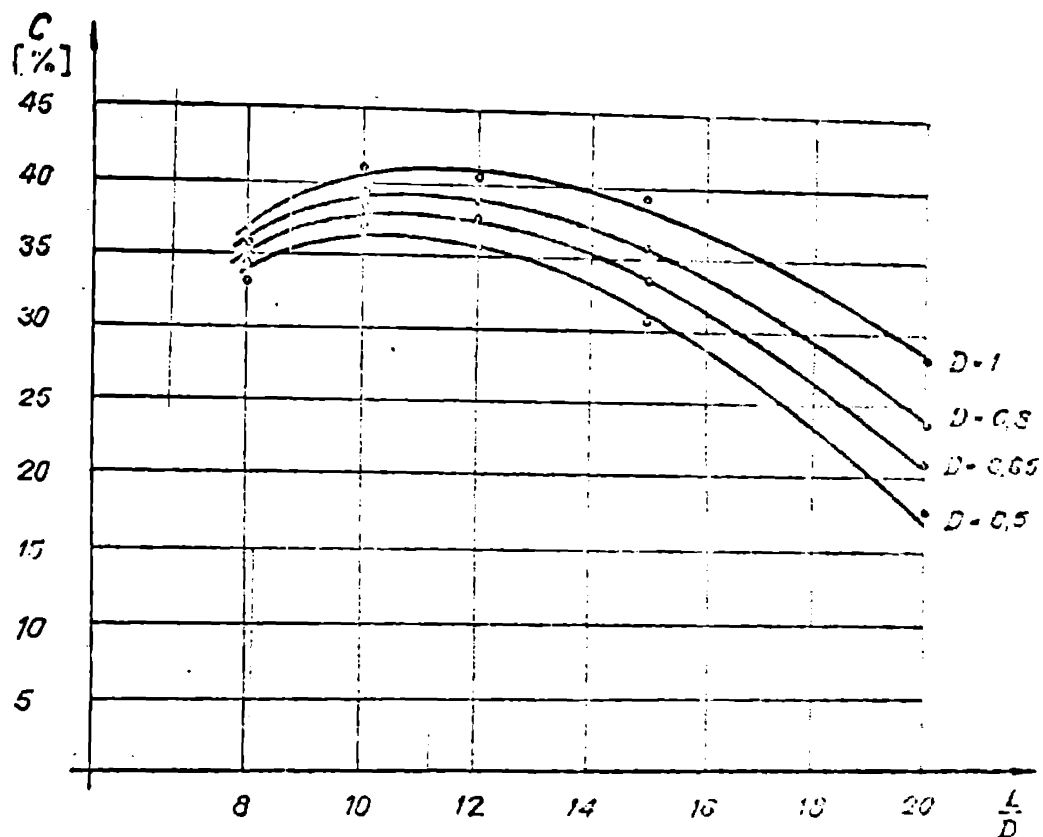


Fig. 7.5. Creșterea capacitatei de producție la prelucrarea găurilor mici.

Se menționează faptul că forma acestor curbe (inclusiv punctele de maxim) este valabilă pentru condițiile concrete în care s-a făcut experimentarea. Modificarea uneia din factorii care influențează c.p.₁ în condițiile comenzi adaptive (de ex. valoarea avansului minim la care se produce retragerea) conduce la modificări sensibile ale formei acester curbe.

Creșterea capacitatei de producție are tendință de diminuare pentru lungimi mari ale orificiului prelucrat datorită creșterii ponderii frecării dintre burghiu și orificiu chiar în absența așchierii fapt care diminuază valoarea c_{vag} . Totuși creșterea capacitatei de producție în condițiile comenzi adaptive atinge valori cuprinse între cca 20 ... 45 %.

Pentru lungimi mici ale găurii prelucrate, și în absența reglării vitezei de așchire (a turăjici burghiului) creșterea capacitatei de producție poate atinge valori de 80 - 90 % datorită diminuarea în oarecare măsură a durabilității.

Stiind că durabilitatea T este dată de relația

$$T = \sqrt[m]{\frac{Cv}{v \cdot D^{x_v} \cdot s^{y_v}}} \quad [\text{min}] \quad (7.7)$$

rezultă că raportul durabilităților T_1 (la prelucrare fără comandă adaptivă) și T_2 (cu comandă adaptivă) va fi :

$$\frac{T_1}{T_2} = \sqrt[m]{\frac{s_2^{y_v}}{s_1^{y_v}}} \quad \text{sau} \quad T_2 = \frac{T_1}{\sqrt[m]{\frac{s_2^{y_v}}{s_1^{y_v}}}} \quad [\text{min}] \quad (7.8)$$

în care: s_1 și s_2 sunt avansurile în condiții fără și respectiv cu comandă adaptivă;
 m – exponent al durabilității.

Pentru $m = 0,2$, $s_2 \approx 2s_1$ și $y_v = 0,4$

$$T_2 \approx \frac{T_1}{4} \quad [\text{min}] .$$

dică o diminuare实质ă a durabilității oculei ceea ce limitează avansul maxim utilizabil.

Din acest motiv a fost limitată valoarea avansului s_{vm} la $L/D \leq 8$ ceea ce are ca și consecință o diminuare a capacitatii de producție C .

Aventajele comenzi adaptive sunt maxime dacă se atrage concomitent cu schimbarea avansului și schimbarea turării masei încât să se realizeze optimul economic așa cum se prezintă în /39/.

In acest caz durabilitatea oculei este o suabilităț pînă riteriul de optimizare ales (de exemplu economic) sau poate fi întinută constantă.

Pentru a vizualiza modificarea parametrilor în timpul procesului de prelucrare s-a utilizat un osciloscop cu memorie I 37 (fabricație URSS) pe care au fost înregistrate:

- căderea de tensiune pe rezistorul R_g (conform fig.6.7) ca mărime aproximativ proporțională cu momentul de torciune din proces;
- tensiunea de alimentare a electromotorului de avans EA (conform fig.6.7) ca mărime aproximativ proporțională cu valoarea avansului curent.

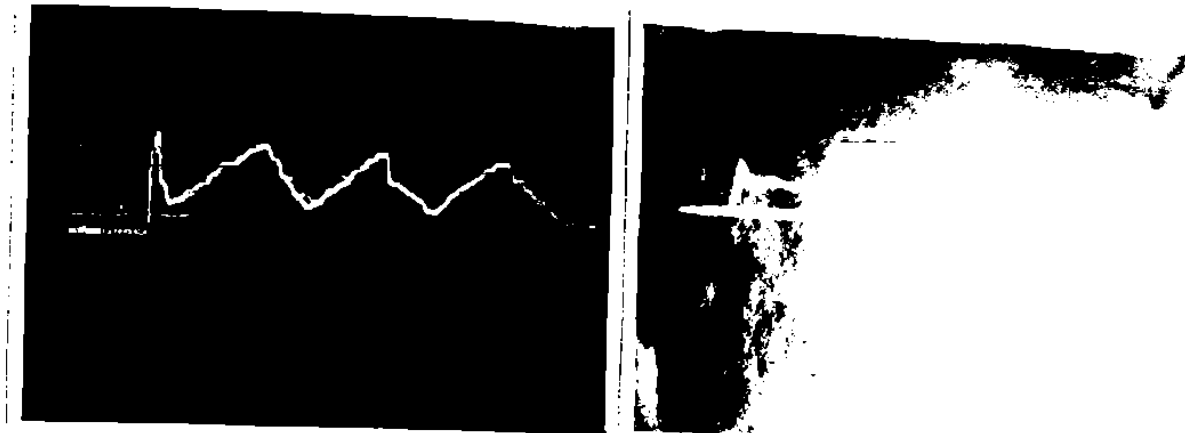


Fig. 7.6. Oscilogramele variației momentului de torsiune și a avansului în timpul procesului de producere.

Oscilogramele obținute pentru momentul de torsiune și pentru avans sunt prezentate respectiv în figurile 7.6.a,b.

Deoarece pentru a putea înregistra pe osciloscopul cu memorie un număr de retrageri periodice pînă la finele prelucrării, scara timpului a trebuit să fie suficient de mică și pentru o mai facilă interpretare s-a recurs la reprezentarea grafică ca în figura 7.7 a variației parametrilor moment de torsiune și avans, conform aspectului oscilogramelor.

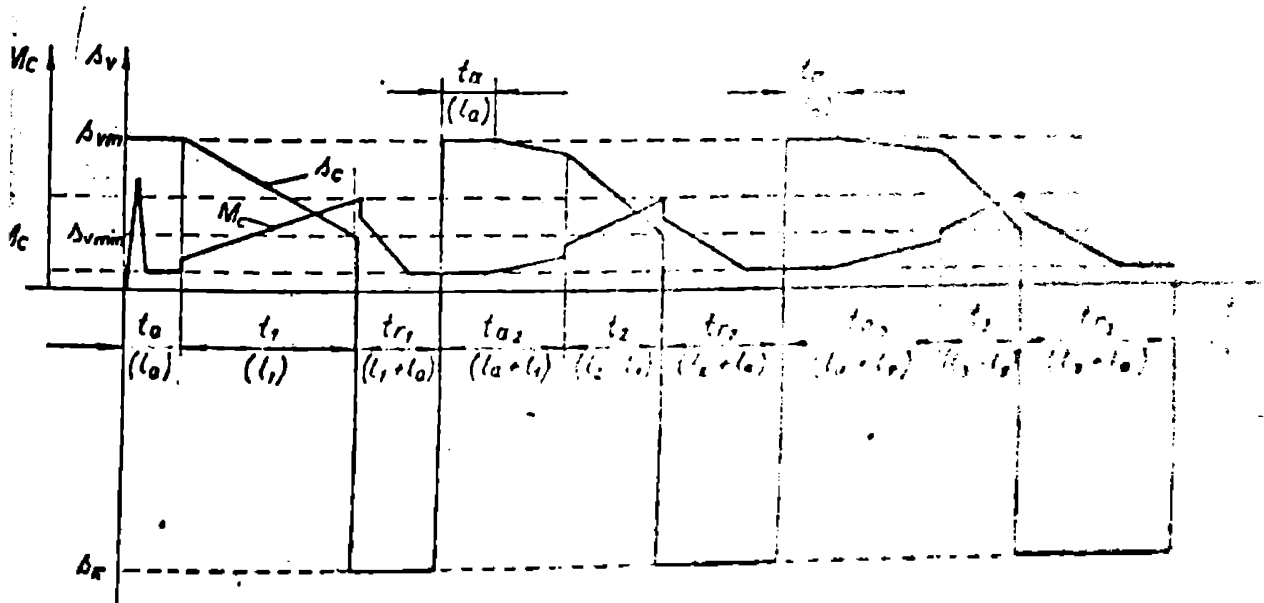


Fig. 7.7. Variația momentului de torsiune și a avansului la lucrarea mûrilor nici.

Se observă că la începutul procesului de prelucrare momentul de torsiune este minim și avansul are valoarea maximă

(limitată) s_{vm} și în continuare, avansul scade pe măsură creșterii momentului de torsion, pînă se atinge valoarea avansului minim s_{vmin} , apoi se produce retragerea burghiului pentru curățare și răcire, cu viteză de retragere rapidă s_r , ciclul se reină cu valoarea avansului s_{vm} etc.

În continuare se remarcă o sarcină diminuare a avansului la începutul aşchierii, datorită frecării burghiului cu orificiul deja prelucrat fenomen ce diminuază capacitatea de producție. Cresterea momentului de torsion este tot mai rapidă îdată cu creșterea adâncimii de prelucrat datorită dificultăților de eliminare a aşchiilor fapt care impune retrageri perioadice tot mai frecvente.

Avantajele majore și anume: retragerea burghiului numind avansul curent atinge o valoare minimă s_{vmin} respectiv momentul de torsion nu depășește creșterea cu ΔM_c , se întreține o anotă porioada prelucrării și reprezintă proprietăți deosebite de importanță ale CA.

7.2. Cercetări experimentale ale comandii adaptative a avansului la mașina CP-45 NC/AC

Comanda adaptivă realizată și implementată la mașina P-45 NC/AC a permis efectuarea unor cercetări referitoare și la concordanța parametrilor stabilisiți pe cale analitică cu ei determinați experimental cît și la funcționabilitatea de ansamblu a sistemului la prelucrarea găuriilor numind diametre cuprinse între 5 și 60 mm.

7.2.1. Determinarea experimentală a parametrilor "forță axială" și "moment de torsion".

Sistemul de traductori instalati pe mașină, permite determinarea valorii forței axiale și a momentului de torsion în procesul prelucrării. Pentru aceasta este necesar să se facă prelucrarea materialelor propuse spre studiere cu regimuri de aşchiecare adecvate (stabilite prin calcule tehnologice) și folosind burghie corespunzătoare și la aparatolele indicateurice pentru forță și moment ale sistemului de comandă adaptivă se citesc direct valorile acestor parametrii.

Pentru aceste determinări avansul nu se reglează prin comandă adaptivă ci este constant, stabilit de către acționarea ie avans a mașinii.

S-au efectuat un număr de 5 încercări pentru fiecare burghiu având ca material de prelucrat OL50 (STAS 500/2-50) rezultatele experimentale fiind prezentate în tabelul 7.4.

Diam. burg. <i>D</i>	Avansul <i>s</i>	Viteză de oschiere <i>v</i>	Turatia burghieru <i>n</i>	Viteză de avans <i>A_s</i>	Analitic		Experimen-	Abaterile % <i>E_F</i>	Abaterile % <i>E_T</i>
					Forță axială <i>F_A</i>	moment de torsiune <i>M_T</i>			
					[mm/rot]	[m/min]	[N/mm]	[Nm]	[N/mm]
10	0,25	21,4	600	170	231	73,8	150	-14,0	-32,7
15	0,4	18	380	152	47,2	67,0	310	-21,9	-31,5
20	0,5	17,7	280	140	75,1	56,05	400	-1,02	-22,7
25	0,65	16,5	210	136,5	112,3	122,47	810	-21,10	-41,3
30	0,75	16	170	127,5	142,6	181,60	1200	-1,00	-13,3
40	0,5	19,8	160	80	150,2	23,3,31	1700	-1,00	-11,4
50	0,25	26,2	130	45	110,6	103,67	1300	-3,30	-37,7

Folosind valorile medii pentru fiecare determinare experimentală s-au calculat abaterile față de forță axială și respectiv momentul de torsiune determinate analitic. Abaterile sunt cuprinse între -10,2...-30,7% ceea ce dovedește că stabilirea analitică a forțelor și momentelor este deosebit de aproximativă și justifică faptul că necesitatea unor sisteme de măsurare efectivă a parametrilor de forță în timpul procesului de prelucrare.

7.2.2. Verificarea sistemului de comandă al retragerilor periodice ale burghiului pentru curățire și răcire.

Retragerile periodice pentru curățirea și răcirea burghiului se fac conform celor prezentate în paragraful 5.2.4 prin compararea indirectă a avansului curent (din proces) cu avansul minim admis. Sistemul electronic al comandii adaptive compară tensiunea corespunzătoare valoarei momentului de torsiune (care reprezintă indirect valoarea forței axiale inițiale) cu forța axială curentă (dependentă de avansul curent).

Pentru verificarea sistemei, care certează că valoile forțelor axiale la prelucrare a burghiului CL 50 corespundătoare avansurilor inițiale și că este posibil să se obțină diferite diametre ale burghiului. În tabloul 7.7 sunt prezentate comparativ rezultatele experimentale și teorice și valoările stabilită pe cale analitică.

Num. burgh. D [m]	Avansul initial [mm/rot]	Avansul min.adm. [mm/rot]	Turotic burgh. n [rot/min]	Viteză de rotire [m/min]	Diametru burgh. [mm]	Valoare teoretică [mm]		Valoare experimentală [mm]		Raport valoare teoretică valoare experimentală
						Teoretică	Experimentală	Teoretică	Experimentală	
10	0,312	0,075	300	219,3	60	60	60	60	60	1,00
15	0,447	0,11	450	274,1	60	60	60	60	60	1,00
20	0,572	0,145	315	169,2	60	60	60	60	60	1,00
25	0,71	0,18	200	117,7	60	60	60	60	60	1,00
30	0,82	0,2	200	164	60	60	60	60	60	1,00
40	0,54	0,135	200	100	27	27	27	27	27	1,00
50	0,31	0,08	200	62	27	27	27	27	27	1,00

Se observă că doar căderea valoarelor este similară analitic și experimental, și deci, în ceea ce privește raportul forțelor se aplică și valoarea de 100%.

La efectuarea acestor determinări nu s-a făcut nici un presupunzător durabilității economice și valoare maximă nu se numește (între valoarea avansului inițial și valoarea avansului minim admis).

7.2.3. Determinarea creșterii comenzi de producție în condițiile economiei de costuri

Pentru determinarea creșterii comenzi de producție în condițiile comenzi adaptive comparațiv cu prelucrarea clasică și parametrii regimului de lucru conservatori menținând durabilitatea economică a burghiului și prezentând la prelucrarea orificii fără sistemul de comenzi adaptativ și cu același experimentările s-au făcut suprarematerialul CL 50 STAS 900 și prelucrat cu burghie elipsoidală normală DIN 575-73.

**7.2.3.1. Determinarea capacitatii de producție în
prelucrarea crifișilor cu $10 \dots 50 \text{ mm}$ în
parametrii regimului de lucru conform
(fără echipaj de adaptare).**

Determinarea se face pentru cinci diametre ale buleghiuului și adâncimi ale orificiilor produse conform tabelor prezentate în tabelul 7.6. Regimul de lucru a fost stabilit conform recomandărilor tehnice pentru prelucrările de presare valorile parametrilor c , v și n fiind prezentate în tab. 7.6.

Diam. burg. D	Fap. $\frac{L}{D}$	Adânc. găuri L	Avansul materialei a	Wsp. a turbina regim de lucru $w_{t,r}$	Timpul de lucru t_r	Tempera. tură ambientală t_a	Tempera. tură de lucru $t_{l,r}$	Tempera. tură de la încălzire $t_{l,i}$	Tempera. tură de la refrigerare $t_{l,f}$
[mm]	-	[mm]	[mm/it]						
10		10	0,301	115	170	20	30,5		
15		15	0,320	20,1	400	20	31,7		
20		20	0,360	22,2	110	20	31,9		
25	1	25	0,435	19,2	200	20	31,6		
30		30	0,465	12,0	200	20	31,6		
40		40	0,532	12,1	160	20	31,7		
50		50	0,304*	51,5	100	20	31,6		
10		30	0,170	21,40	170	20	30,5		
15		45	0,200	21,40	450	20	31,7		
20		60	0,342	21,30	215	20	31,9		
25	3	75	0,301	21,73	200	20	31,7		
30		90	0,436	20,23	224	20	31,6		
40		120	0,480	21,12	140	20	31,6		
50		150	0,305*	23,7	100	20	31,6		
10		50	0,213	17,34	500	20	30,5		
15		75	0,272	18,32	315	20	31,7		
20	5	100	0,304	16,92	200	20	31,7		
25		125	0,348	17,85	200	20	31,9		
30		150	0,366	16,68	170	20	31,7		
10		70	0,200	16,46	600	20	30,5		
15	7	105	0,256	14,53	300	20	31,7		
20		140	0,285	15,29	140	20	31,7		
10		100	0,200	11,93	310	20	31,6		
15	10	150	0,256	11,21	200	20	31,6		

Retragerile periodice pot fi realizate în funcție de
-cu efectuat conform recomandărilor /Tabel 7.6/ și urmăriți în figura 7.8.

In urma experimentărilor s-a determinat capacitatea de
productie c.p și dependența acestei în funcție de diametrul orificiului și
relucrat conform valorilor propuse în figura 7.8.

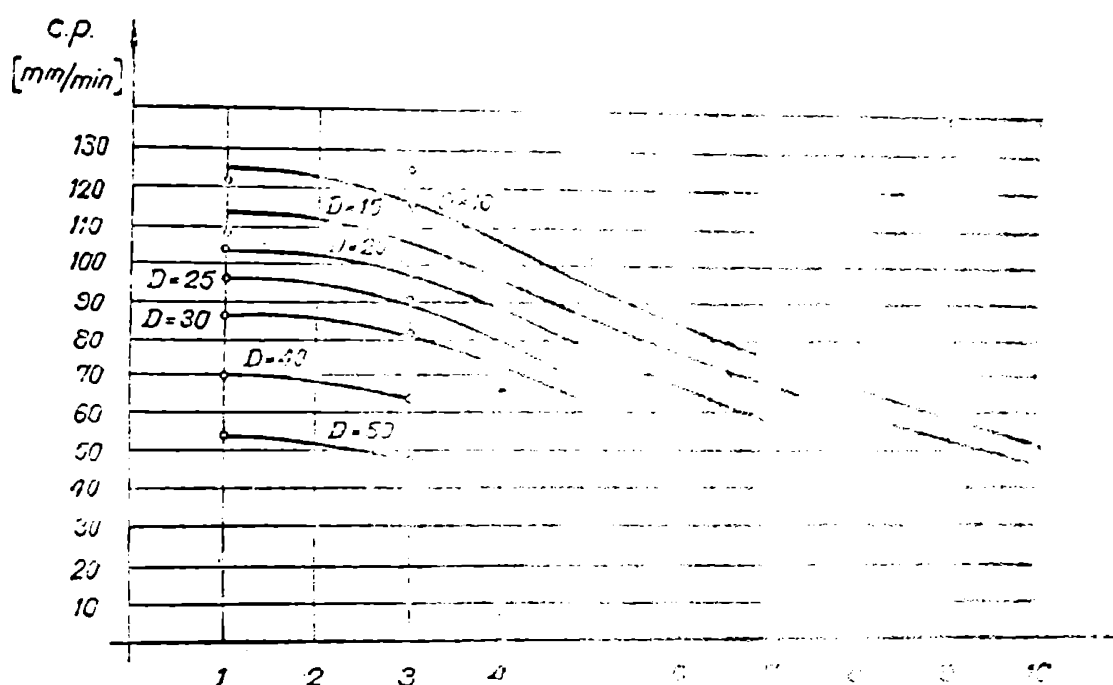


Fig. 7.8. Capacitatea de producție c.p. pe
între 10 și 50 mm în funcție de diametru.

Din analiza acestor date se poate observa că capacitatea de producție la prelucrare orificiilor este de cca 30% pentru $L = 5$ mm și de cca 60% pentru $L = 10$ mm.

7.2.3.2. Determinarea capacitatii de productie la prelucrarea orificiilor în funcție de conditiile utilizării și rezultatelor.

In acest caz valoarea având cel mai mare număr de cifre este
temul de comandă aderativă și se poate calcula capacitatea de producție
pe momentul de torsion de referință.

Conditii de lucru și măsurări
deosebite: 1) Măsurări
deosebite de
înțelegere și
de prelucrare.

2) Măsurări
deosebite de
înțelegere și
de prelucrare.

M_1 este stabilit conform paragrafului 5.2 și urmărește în rând prin potențiometrul P_3 conform figurilor 6.10 și 6.23.

Turatia burghiului n-a-a calculat conform cu avansul de la t_m^s med acceptind o variație liniară a cărui valoare maximă se întâlnește la valoarea minimă a diametrului orificiului prelucrat se realizează retrageri paralele pentru curățire și răcirea burghiului.

(Valorile avansurilor s , stabilite mai înainte sunt indicate în figura 5.8). Turatia burghiului este menită să fie de tipul 7.7 ținând cont și de posibilitățile mașinii de găuri CP 4 NC/AC. Se remarcă faptul că turatia la începutul prelucrării fiind extinsă și prin comandă adaptivă, încât cum se poate din figura 7.3/2 conform criteriului eficienței economice maxime (cu valoare de prelucrat minim).

Valoarea vitezei avansului maximă s_{max} (la vîrful turatirii burghiului) a fost stabilită conform cu cea prezentată în paragraful 5.4. și a fost reglată prin potențiometrul P_4 conform figurilor 6.10 și 6.23.

In urma determinărilor experimentale a timpului de lucru t_m s-a calculat capacitatea de producție maximă cu diametru orificiului prelucrat și având ca parametru diametrul. Rezultatele sunt prezentate în figura 7.9.

Creșterea capacitatii de producție cu 10% în condițiile comenzii adaptive a fost calculată în rîndul (7.6) funcție de raportul L/D și având ca parametru diametrul D. Aceste rezultate sunt prezentate în figura 7.10.

Se observă că C este maximă la valori mici, de recoltării lui L/D și pentru diametre cuprinse între 15 și 20 mm și poate ajunge la 33%.

Pentru adâncimi mari C tinde să scade, ceea ce în același mod ca și la adâncimi mici de recoltării lui L/D și pentru diametre cuprinse între 15 și 20 mm și este datorită frecările între burghiu și orificiul căruia în absență procesul de prelucrare.

Pentru diametre peste 40 mm, ceea ce în același mod ca și la adâncimi mici de recoltării lui L/D și pentru diametre cuprinse între 15 și 20 mm și este datorită frecările între burghiu și orificiul căruia în absență procesul de prelucrare.

m. g.	Rop. $\frac{L}{D}$	Mom. de tors. de referință	Viteză de oschierere	Turbo berg.	Vit. scurg. m/min	Avg. min	6min	12min	24h
7		[daN-mm]	[m/min]	[rot/min]					
1	1000	19,5	330	220	0,01				
	3000	17,1	310	210	0,01				
	6500	16,7	260	170	0,015				
	12000	16,5	200	140	0,16				
	19500	15,8	140	100	0,2				
	25000	15,7	100	70	0,25				
	25000	27,2	100	70	0,01				
	1000	19,5	630	420	0,015				
3	3000	17,1	310	210	0,01				
	6500	16,7	250	170	0,015				
	12000	16,5	200	140	0,16				
	19500	15,8	140	100	0,2				
	25000	15,7	100	70	0,25				
	25000	27,2	100	70	0,01				
	1000	18,6	590	380	0,015				
	3000	16,5	315	215	0,01				
6	6500	16,7	270	180	0,015				
	12000	15,5	160	110	0,14				
	19500	14,4	110	75	0,2				
	1000	16,1	570	380	0,015				
	3000	16,2	280	190	0,01				
10	6500	16,3	220	140	0,015				
	1000	12,1	375	250	0,075				
	3000	11,7	250	170	0,11				

In cazul prelucrării unor cricale peste 40 mm se poate produce chiar o "răsucire" a unei cricale de producție în raport cu prelucrarea careva din urmă, deoarece prin comanda adaptivă avansul se reduce cu importanță cînd amprenta prelucrare. Se remarcă faptul că în cazul valurilor cu parametri ai regimului de agchiere constanți (în comandă adesea torsiunea), pentru acest caz se produce o creștere momentului de rezistență la flexiune (cu valoare numai cea ce poate deveni periculoasă pentru

de torsiune din proces depășeste mult capacitatea mașinii. Depășirea momentului de torsie în cazul prelucrării găurilor dinai, rătire la momentul opereun, nu va conduce cu consecințe nefavorabile operațiunii.

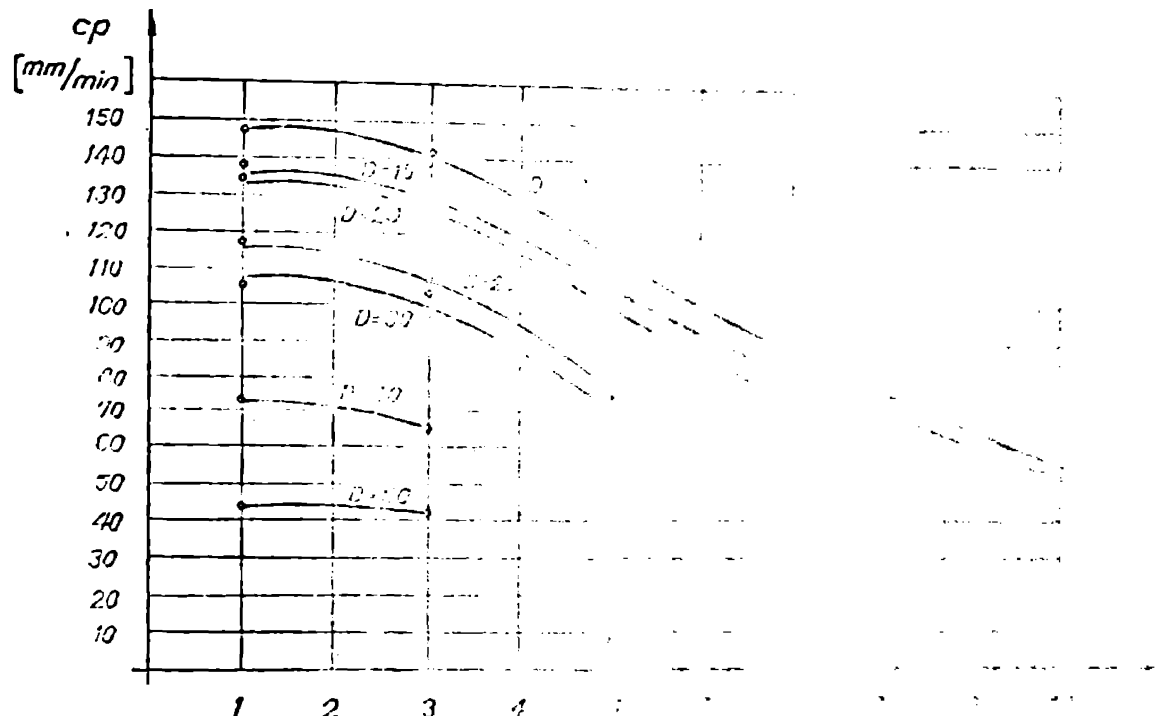


Fig. 7.9. Capacitatea de producție la rotire cu nămolire în 10 și 50 mm cu $\phi 10 \text{ mm}$.

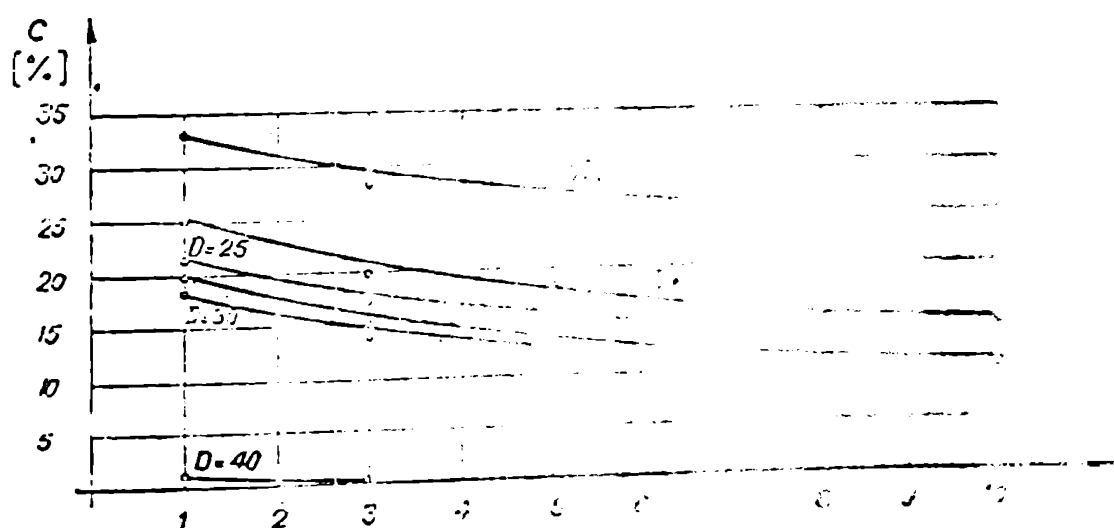


Fig. 7.10. Creșterea capacitatii de producție la rotire cu nămolire în 10 și 50 mm cu sistemul de comandă adaptivă.

Numai acestă supușălitate poate să aducă o creștere a capacitatii de producție pe tot parcursul întregului adaptiv.

7.3. Concluzii comparative și direcții de urmărire de viitor.

Prin cercetarea experimentelor de comandă adaptivă se învăță că este în evidență avantajele acestei tehnici de lucru clasică (cu parametrii și reacțiile de lucru predefinite), și rezumat concluziile acestor cercetări sunt:

a)- Prin comanda adaptivă se obține o capacitate de producție și consumare de lucrare (eficiență economică maximă), în funcție de caracteristicile ruginiilor și a cererii de comandă adaptivă.

b)- Se stabilesc judecțios ratele auxiliare de lucru și durată pentru curățire-răcire, fapt care conduce la o majorare a insibila a timpilor auxiliari.

c)- Se realizează o protecție eficientă împotriva survenindurilor burghiului cît și a maginii-urii îte și se reduce la minimum durata de viață a acestora cu impact negativ asupra economiei.

d)- Nu mai există nevoie către locuri de lucru și către mărfuri sau alegerea acestuia din tablă și posibilitatea de a achiziționa maginile, fapt care simplifică produsul și încalcă special la produse de serie nichia unui lucru.

Sistemele de comandă hibridă realizate (cum derivă din testea) pot fi în viitor ampliate și extinse în lărgul lor și de căsărit, cointre de preluarea unei tehnici de lucru.

Sistemele pot fi completezări ale sistemelor de control și montare prin care să se stabilizeze o corespondență între lucru și printă conform unor criterii diferențiale de la cea de la prima etapă a lucrării.

8. CONCLUȘII CĂZĂTURII DE CERCETARE CERCETĂRII.

1. Pe plan monografic și didactic, cercetările intenționează în vederea realizării unei activități adaptive, în dorința realizării unei activități creative, a capacitatei de producție, precum și a unor combinații a acestora).

In majoritate, aceste cercetări se desfășoară în laborator și sunt relativ ușor și deosebit de interesantă din punct de vedere cromatic și de găurit, se remarcă creația lui M. S. S., R.F.G. și cercetările deosebit de bune omologări adaptivă în U.S.R. (M. G. și alții).

Cercetările din "teritoriul" său sunt și către colectivul disciplinilor de la C.R.M. și Facultății de Mecanică din Iași, și cu participarea directă a Profezorului Ion Popescu, în cadrul unor expoziții și a unor prezentări de cercetări de pionierat (unul în cadrul

2. Procesul de găuriere este foarte complex. Astfel eliminarea reziduală se face cu atât mai dificil cu cât este mai greu controlul procesului de operare este. În jurul sculei este aproape imposibil să se realizeze urmări normale. Cu rinderea de la unul la altul matematice este practic îngreutată (nu se poate să se întăriească și se plătoare a acestora), ceea ce fluctuează în funcție de comenzi adaptive.

Mai mult, realizarea unei soluții nu este posibilă fără existența unor mijloace speciale de procesare (forță, presiune, etc.) prin care să se controlă urmările și ațele operatorul.

Problema diagnosticării căzătorii este multe magini (centru de producție

de cercetare și de cercetări deosebit de interesantă din punct de vedere cromatic și de găurit, se remarcă creația lui M. S. S., R. F. G. și cercetările deosebit de bune omologări adaptivă în U.S.R. (M. G. și alții).

Cercetările din "teritoriul" său sunt și către colectivul disciplinilor de la C.R.M. și Facultății de Mecanică din Iași, și cu participarea directă a Profezorului Ion Popescu, în cadrul unor expoziții și a unor prezentări de cercetări de pionierat (unul în cadrul

disciplină reprezentată de cercetările prelucrării și a cercetărilor de cercetări de pionierat (unul în cadrul unor expoziții și a unor prezentări de cercetări de pionierat).

Problema diagnosticării căzătorii este foarte complexă și este posibilă doar în cadrul unor cercetări de cercetări de pionierat (unul în cadrul unor expoziții și a unor prezentări de cercetări de pionierat).

Problema diagnosticării căzătorii este foarte complexă și este posibilă doar în cadrul unor cercetări de cercetări de pionierat (unul în cadrul unor expoziții și a unor prezentări de cercetări de pionierat).

i nu poate fi rezolvată fără existența unei mărimi de control parametrilor de forță din procesul prelucrării.

3. Prin comanda adaptivă a evanescenței și a altor parametri se obține creșterea eficienței procesului de prelucrare (eficiență operativă), ridicarea capacitatii de lucru a concomitent cu protejarea mediului, sau reducerea substanțială a propulsiei tehnologice.

4. În toză s-a prezentat principiul de lucru în prezent pentru comenzi adaptive și control, cu formantele acestora și s-a făcut o analiză critică și o comparație a variantelor unui astfel de sistem precum că se poate să se trebuiască să îndeplinească maginăriile.

S-a prezentat stadiul introducerii de controluri adaptive a diverse tipuri de mașini-unelte, unde se arată că de la teoria și realizate, în majoritatea următoarelor lucrări se va folosi directă a profesorului Dr. ing. M. Popovici și în continuare imișoara creatorul acestui document își propune să devină unul cu cel pe plan mondial.

5. Prin analiza modului actual de control se constată că este nevoie la ghidirea și evitarea lui calea de călătorie, prin introducerea unor parametri regimului de lucru, care să fie stabiliți la un autor la altul, doar în cadrul unei observații experimentale și deci valabile numai în condiții concrete. Aceeași observație este și în ceea ce privește stabilirea forțelor și momentelor în procesul de lucru.

Acstea constatări justifică obținerea unei comenzi adaptive la care procesul prelucrării să se realizeze cu valori măsurate și deci măsurabile și care trebuie să corespundă măsurilor de control.

6. Datorită faptului că la uneltele reproducătoare parametrii de control sunt determinați, s-a ales ca mărimi controlate tehnologice, sau pentru protecția sculei (la filozaf), a sculei axiale, a sistemului de evanescență și a perioadelor periodice, s-a recurs și la măsurarea măsurătorilor periodice.

Avantajele acestei alegeri constă în:

- posibilitatea măsurării și ure și a acestor mărimi în procesul de prelucrare;
- mărimea de referință a măsurătorii

tabili tînind cont de influențele majorității cernină procesul producării (ca de ex. folosirea grății axială maximă admisă de mașini etc.);

- posibilitatea comandării ciclului de lucru prin perioadice ale buriștilor pentru curgerea tehnicii momentului și a forței axiale.

7. Deoarece elementele tridimensionale și lărgătă pentru fărabilitatea unei comenzi care să corecteze experiențele preținute cu mașina de găurit a unor tradiții de secol îndurăse parametrii principali noștri și lărgătă la mașini de găurit și cu aceea de a avea alte caracteristici și fortării de la 56 de către Prof. dr. ing. N. Dobrescu, în condițiile și evidență în ceea ce privește parametrie.

8. S-au analizat construcțiile de compoziție de măsură, realizându-se diferențe măsură originale, pentru mașina de găurit, centre de prelucrare etc.

Un astfel de compozit și format fizic și științific (Prof. Dr. ing. E. Dobrescu și fruntașia I.I.S. Infrățirea Ordon, în parte din sistemele de prelucrare sunt de scule pentru controlul de la T.I.B-1985.

Componentele noastre formă o mașină de găurit GP-4F UNI 10 cu momentul de torsion la marginile de vîrf (în cîmătățile în construcție), și în vîrstă de realizarea și realizarea a astfel de mașini.

9. S-a stabilit și optimizat intr-o metodă originală, reducându-se procesul de prelucrare precum și călătorirea (în cîmp) și rezistența (în cîmp) la valoarea momentului de forță axiale. Măsurarea acestora este directă, încorâo corespunzătoare a procesului de lucru și este necesar și un număr redus de mărimi care să introduse pentru funcționarea mașinăi.

rișor co
un răspuns,

în potr
înțială

de către împreună
acest, în cîmp

înțială și
în cîmp, în
de la tehnicii

în cîmp, în
în cîmp, în
în cîmp, în

în cîmp, în
în cîmp, în
în cîmp, în

în cîmp, în
în cîmp, în
în cîmp, în

în cîmp, în
în cîmp, în
în cîmp, în

în cîmp, în
în cîmp, în
în cîmp, în

în cîmp, în
în cîmp, în
în cîmp, în

în cîmp, în
în cîmp, în
în cîmp, în

în cîmp, în
în cîmp, în
în cîmp, în

în cîmp, în
în cîmp, în
în cîmp, în

în cîmp, în
în cîmp, în
în cîmp, în

în cîmp, în
în cîmp, în
în cîmp, în

în cîmp, în
în cîmp, în
în cîmp, în

în cîmp, în
în cîmp, în
în cîmp, în

în cîmp, în
în cîmp, în
în cîmp, în

în cîmp, în
în cîmp, în
în cîmp, în

• valorii de referință pentru momentul de forță axială, precum și o caracteristică care conține evident un avantaj în ceea ce

10. Retrogrile periodice prin traihului s-a stabilit printre metodicea semnalului momentului de forță din curent, metodică care permite realizarea electronice de comandă.

11. Deoarece calelele de măsură și referință a momentului de forță utilizează mărimi ce depind de momentul, s-a elaborat un program ori încă mai târziu care stabilește valoarea acasării momentului scurt.

12. S-a stabilit posibilitatea de producție în condițiile comunității.

13. În caz că se vizează realizarea unei anumite precizii, s-a determinat tensiunea adaptivă și punctul de referință.

14. Bazat pe celelalte realizate și experimentele realizate în cadrul sistemului adaptiv a avansului :

a - comandă adaptivă cu diametrii (având diametre fixe 6, ..., 12 mm)

b - comandă adaptivă cu diametru între 5... 65 mm.

15. Pentru a putea fi realizate precizii în regim fără comandă adaptivă (în cadrul sistemului de comandă adaptivă), s-a realizat o acționare de avans continuu și o acționare continuu.

Acționarea realizată și calea de caracteristică $n = f(M)$ care se poate realiza acționări unde se cere turările momentului variabil și totodată posibilitatea redirecțierii.

În cadrul acestor

realizări se

înțelege ca

lărgirea

înălțării

de cale și

realizarea

de comandă

adaptivă și

realizarea

de comandă

adaptivă și

realizarea

de comandă

16. Comanda adaptivă pentru stările nici de călătorie și de laț, a fost instalată pe o microenjinieră Gruia și călătorie în vizare proprie.

17. S-a realizat o colecție de șapte originaluri care să fie învățătură și folosită de Lipul GP 45 NC/AC.

18. Deoarece regimul CT 1000/AC al
riei continuu cu electromotor este
de evans, s-a implementat sistemul
al de comandă și de reglaj în
în sistemul de con. rezistență.
mechanism care acționează în pat.
construcția originală a mecanismului

19. Completările următoare sunt să fie realizate în cadrul unei baza de date existente sau să se genereze o nouă bază de date:

- banchetul arbore principal (lucrările de la etapele anterioare sunt copiate într-o formă adaptată pentru banchetul arbore principal).
- traductoare pentru toate tipurile de date (acestea trebuie să fie generate în cadrul unei baza de date).
- schimbările necesare în variabilele "cărți" și "fisiere" care să permit scrierea și citirea de către unei mașini-unclele a fișelor.

In cazul in care o membru este in pericol de moarte (in proiectare) de cistitea sa sau de o boala care le poate aduce mortalitatea, membrul trebuie sa fie extirpat. In acest caz, introducerea comensiei adaptative in organism este inutila.

20. S-a analizat constrainta privind lipsa licurilor de tonice componente ale sistemului de control activ sau pasiv.

Sl. Partea electricnică a unor trame
liniare funcțiilor de control și de
șazu. Este realizată în excludere de mă-
ndigene, este relativ ieftină,
nu afectează desigurul general al trenului
atâ pe magina unei căi.

22. In urma experimentărilor efectuate în cadrul proiectului
într-o găuri mică s-a constatat că există o diferență semnificativă între
timpul de prelucrare cu o fierastră și cu un disc rotativ.
Este deosebit de importantă capacitatea de producție care identifică
area ruperii accidentale a turbinelor. Deoarece capacitatea
de producție în condițiile existentei comunității rurale este
mai puțină de prelucrarea tradițională (fierastră), se recomandă

**• accesă și magindă că reprezintă o altă
nivelă sisteme de conducere.**

Crostorea compacta (L.) Bosc - *Trichoplax*
dincimea orificiului prelungită

23. În urma cireșimii din 1970, a conceput și realizat comunitatea teză pentru masina C.P. 43.

- a - confirmarea** și îmbunătățirea ritmului creșterii și dezvoltării;
 - b - momentul de vîrf** în care se menține relativ stătătoritatea;
 - c - avansul** verde la 30-40% este atingerea etapei liniare. Aceasta poate fi programată să apară la ceroa burgăciului părții din ciclul de viață;
 - d - la creșterea secundară** și la mulți proleteri, să fie programată pentru a se elibera la mijlocul creșterii. Înțeles că nu va fi după eliminarea creșterii cu forței;
 - e - capacitatea de producție** creștiile comunității și rea fără conștiință și lipsă de producție și lucru pe care o să fie realizată.

24. S-a soluționat problema de la 23 în cadrul unui proiect de lucru și se poate constata că rezultatul obținut este superior cu multe lucrări anterioare cunoscute pînă în prezent.

Costul comenzi adunative în 1977
le costul mediu al unei masini de 1.000
are este decca 1.500.000 lei cu tarif.

acestei mașini, conform calei de lucru, este deosebit de bună și într-un raport sensibil cu dimensiunea și vîrstă mașinii și cu valoarea lui de cost (cu numai max. 3%).

Se poate afirma deci că eficiența și durata de folosință a unei mașini de acest tip este indisutabilă.

MILITARY

1. x x x .
2. Acerkan,N.S. g.o.
3. Aclencio,M.,Gheorghie,T.
4. Babuşia,I.,Budig,n.l.
5. Babuşia,I.,Budig,n.l.
6. Balakşin,B.S. g.o.
7. Balakşin,B.S. g.o.
8. Balakşin,B.S. g.o.
9. Brătuirea,Gh.,Dodon,R.,
g.o..
10. Băilă,Necogoe.

11. Bajeu, G., Stancu, C.
Concertat cu Consiliul pri-
lei Muncii si de la Reprezentant
Centrului de lucru, care
a recoltat o sumă de 10000
de franci suisse pentru
atorat în cadrul acestei
12. Boangiu, Gh.
Centrul de lucru, care
a recoltat o sumă de 10000
de franci suisse pentru
atorat în cadrul acestei
13. Boangiu, Gh., etc.
Centrul de lucru, care
a recoltat o sumă de 10000
de franci suisse pentru
atorat în cadrul acestei
14. Botez, E.
Centrul de lucru, care
a recoltat o sumă de 10000
de franci suisse pentru
atorat în cadrul acestei
15. Botez, E.
Centrul de lucru, care
a recoltat o sumă de 10000
de franci suisse pentru
atorat în cadrul acestei
16. Botez, E.
Centrul de lucru, care
a recoltat o sumă de 10000
de franci suisse pentru
atorat în cadrul acestei
17. Botan, N.V.
Centrul de lucru, care
a recoltat o sumă de 10000
de franci suisse pentru
atorat în cadrul acestei
18. Brășovan, M., Serghiin, D.,
Bogoevici, N.
Centrul de lucru, care
a recoltat o sumă de 10000
de franci suisse pentru
atorat în cadrul acestei
19. Bron, L.S., Turtcovici, I., ..
Centrul de lucru, care
a recoltat o sumă de 10000
de franci suisse pentru
atorat în cadrul acestei
20. Bulucea, C., etc.
Centrul de lucru, care
a recoltat o sumă de 10000
de franci suisse pentru
atorat în cadrul acestei
21. Câlin, S., Boile, C.
Centrul de lucru, care
a recoltat o sumă de 10000
de franci suisse pentru
atorat în cadrul acestei
22. Coangă, E., Simion, ...,
Banu, E.
Centrul de lucru, care
a recoltat o sumă de 10000
de franci suisse pentru
atorat în cadrul acestei
23. Constantini, P., Creanga, E.,
Buzuloiu, V., Rîcoci, C.,
etc.

4. Dascălu, D., Turic, L.,
Hoffman, I.

Circuite cu rezistență variabilă
distribuită pe o suprafață
plană, I.D. I.

5. Dodon, E.

Acorduri și rezonanțe la
un sistem de unde
laminilor cu un pol
în mijloc și o rezistență
în serie.

6. Dodon, E.

Stabilitatea unui sistem de
onde în cadrul unei structuri
laminare cu o rezistență
în serie.

7. Dodon, E. s.a.

Acorduri și rezonanțe la

8. Dodon, E.

Acorduri
rezonanțe
laminară
în mijloc, I.

9. Dodon, E., Busulicea, D.

Acorduri și rezonanțe la
un sistem de unde
laminară cu
rezistență, I.

10. Dodon, E., Vonica, C.,
Grosu, I. Fl., Urdea, G.

Acorduri și rezonanțe la
un sistem de unde
laminară cu
rezistență, I.

11. Dodon, E., Grosu, I. Fl.,
Urdea, G.

Acorduri și rezonanțe la
un sistem de unde
laminară cu
rezistență, I.

12. Dodon, E., Grosu, I. Fl.

Acorduri și rezonanțe la

- terciare în cadrul unor
Conferință de la București,
an, 1961
33. Dodon, E., Grosu, I. Fl.
Bilicoane
de activitate
culturală.
IV-a I.U.R.,
1961.
34. Dodon, E., Urdeac, Gh.,
Grosu, I. Fl.
VII anot.
comunității
țărănești din județul
Buzău.
35. Drăghici, I. s.a.
Înfrângere
în cadrul
țărănești.
36. Ernst, P.
Probleme
de tehnica
și tehnologie
în cadrul
țărănești.
37. Folea, I.
Căracteriza-
re. II
Rezultate.
38. Fransua, Al., Sacl, C.,
Topa, I.
Acțiuni
culturale
în cadrul
țărănești.
39. Ganea, M. (Cond. științific
Dodon, E.).
Probleme
villărești
către c
tene, II.
40. Gheghea, I., Tabard, V.,
Dorin, A., Pant, C.
Instala-
riile
în cadrul
țărănești.
41. Gheghea, I. s.a.
Proiect
nucleare
în cadrul
țărănești.
42. Gray, P. E. s.a.
Proiect
în cadrul
țărănești.

3. Grobu, I. Fl., Urdeu, G.,
Egler, I.

4. Grosu, I. Fl.

5. Grosu, I. Fl.

6. Grosu, I. Fl.

7. Gurzuiuc, M. H.

8. Heisel, U.

9. Ionescu, G. g.o.

10. Karlov, R. F.

11. Kaufmann, B., Schmidt, N. I.

52. Kelemen, A.
53. Kondashevski, V. V.,
Fedetov, A. W.
54. Lautenbach, F.
55. Lăzărescu, I. D.
56. Lăzărescu, I. D.
57. Lederberger, A.
58. Liscinski, L. Iu.,
Rabinovici, V. I.
59. Ličinaki, L. Iu., Modrov,
E. A., Rabinovici, V. I.
60. Nicolau, Ed. (coord.) S. S.
61. Oprean, A.
62. Oprean, A., S. S.
63. Orszádi Erwin.

64. Pfeifer, T. 1. 1938. 1. 1938. 1. 1938.
65. Picog, C. s.o. 1. 1938. 1. 1938.
66. Ponner, I. 1. 1938. 1. 1938.
67. Rabinovici, I. s.o. 1. 1938.
68. Sauer, L. 1. 1938.
69. Sauer, L. 1. 1938.
70. Sauer, L., Ionescu, G. 1. 1938. 1. 1938.
71. Săvescu, M. s.o. 1. 1938. 1. 1938.
72. Schlesinger, W. 1. 1938.
73. Spur, G., Poitschow, G. 1. 1938.
74. Stöckmann, F., von Lüttichau, ... 1. 1938.
75. Stupel, F.A. 1. 1938. 1. 1938.
76. Stütz, G., Götz, F. H.,
 Maior, K., Pilziger, J. 1. 1938.

77. Suru, P.

Суро, П.
Г. 1912
М. 1937
О. 1937
П. 1937

78. Teitlin, L.N., Simokhin, A.I.

Тейтлин, Л.Н.
Симокин, А.И.
Г. 1911
М. 1937
О. 1937
П. 1937

79. Treskoi, N.M. 0.0.

Трекой, Н.М.
Г. 1911
М. 1937
О. 1937
П. 1937

80. Tverskoi, M.M.

Тверской, М.М.
Г. 1911
М. 1937
О. 1937
П. 1937

81. Tverskoi, M.M., Polotskov, V. A.

Полотков, В.А.
Г. 1911
М. 1937
О. 1937
П. 1937

82. Tverskoi, M.M., Serementi-

чев, N. D.

A.D., Polotskov, V. A.

Полотков, В.А.
Г. 1911
М. 1937
О. 1937
П. 1937

83. Urdea, G., Buliga, K.,
Grosu, I. Fl.

Урдеа, Г.
Булига, К.
Гросу, И. Фл.
Г. 1911
М. 1937
О. 1937
П. 1937

84. Urdea, G., Grosu, I. Fl.	1970-2000	1. <i>Leucanthemum vulgare</i> L. 2. <i>Leucanthemum vulgare</i> L. 3. <i>Leucanthemum vulgare</i> L. 4. <i>Leucanthemum vulgare</i> L. 5. <i>Leucanthemum vulgare</i> L.
85. Urdea, G.	1970-2000	1. <i>Leucanthemum vulgare</i> L. 2. <i>Leucanthemum vulgare</i> L. 3. <i>Leucanthemum vulgare</i> L. 4. <i>Leucanthemum vulgare</i> L. 5. <i>Leucanthemum vulgare</i> L.
86. Vătășescu, A. n.s.	1970-2000	1. <i>Leucanthemum vulgare</i> L. 2. <i>Leucanthemum vulgare</i> L. 3. <i>Leucanthemum vulgare</i> L.
87. Vătășescu, A. s.a.	1970-2000	1. <i>Leucanthemum vulgare</i> L. 2. <i>Leucanthemum vulgare</i> L.
88. Vlase, A., Sturza, A., T.	1970-2000	1. <i>Leucanthemum vulgare</i> L. 2. <i>Leucanthemum vulgare</i> L.
89. Vonica, C.	1970-2000	1. <i>Leucanthemum vulgare</i> L. 2. <i>Leucanthemum vulgare</i> L. 3. <i>Leucanthemum vulgare</i> L. 4. <i>Leucanthemum vulgare</i> L.
90. Zamfir, Gh.	1970-2000	1. <i>Leucanthemum vulgare</i> L. 2. <i>Leucanthemum vulgare</i> L.
91. Zacamoldin, V. I.	1970-2000	1. <i>Leucanthemum vulgare</i> L. 2. <i>Leucanthemum vulgare</i> L. 3. <i>Leucanthemum vulgare</i> L. 4. <i>Leucanthemum vulgare</i> L.

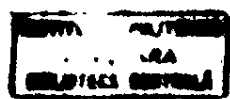
92.	x	x	x	1000	1000	1000	1000
93.	x	x	x	1000	1000	1000	1000
94.	x	x	x	1000	1000	1000	1000
95.	x	x	x	1000	1000	1000	1000
96.	x	x	x	1000	1000	1000	1000
97.	x	x	x	1000	1000	1000	1000
98.	x	x	x	1000	1000	1000	1000
99.	x	x	x	1000	1000	1000	1000
100.	x	x	x	1000	1000	1000	1000
101.	x	x	x	1000	1000	1000	1000
102.	x	x	x	1000	1000	1000	1000
103.	x	x	x	1000	1000	1000	1000

- 149 -

104. x x x

105. x x x

100.5 C72-72 - 100.5 C72-72
100.5 C72-72 - 100.5 C72-72
100.5 C72-72 - 100.5 C72-72
100.5 C72-72 - 100.5 C72-72



C U P R I S U M

• INTRODUCERE	1
1.1. Dezvoltarea industriei de mină	1
.. în R.S. România	1
1.2. Locul comunității sălino-funcționale mașinilor-unelte	2
1.3. Studiul introducerii de mașini mașini-unelte în mină	7
1.4. Factorii care influențează procesul adaptive la miniera de sare	11
• STADIUL ACTUAL AL COMUNITĂȚII MINIERE DE GÂURIT	12
2.1. Probleme generale	12
2.2. Sistem de comandă al apăzirii de o unitate de găuri	13
2.3. Sistem cu stabilisare în jurul de torsione pentru prelucrare diferențială	13
2.4. Instalație experimentă 1 ^a pentru trecerea "înci"	13
2.5. Sisteme de comandă și stabilitate găurilor edinici	13
2.6. Sisteme pentru supraveghere și control de găuri	13
2.7. Concluzii	13
• REGIMUL DE ASCHIERARE LA GÂURI	13
3.1. Analiza metodelor metrice de calcul metrilor regimului de aschierare	13
3.1.1. Regimul de aschierare la burghie elicoidală	14
3.1.2. Regimul de aschierare la folosind scule speciale	15
3.1.3. Observații privind metodele de stabilire a perimetrelor și modul de aschierare la găuri	17

3.2. Obiectivele rezultante din condițiile cercetării

TRADUCTORARE SI COMPOZITIE

PORTA DE OLEI

4.1. Condiții necesare componente de măsură.....	10
4.2. Construcții măsurători.....	11
4.2.1. Traductoare pentru oarecare.....	11
4.2.2. Construcții pentru oarecare.....	12
4.3. Contribuții la componente de măsură de termometre.....	13
4.3.1. Traductor.....	13
4.3.2. Componente de termometre.....	14
4.3.3. Componente de termometre.....	15
4.4. Concluzii.....	17

STABILIREA ALGORITMULUI DE AVANSULUI LA S

5.1. Alegerea criteriilor de stabilire.....	18
5.2. Algoritmul de funcție de avans maxim.....	19
5.2.1. Momentul de cître purificare.....	19
5.2.2. Influență maxim minim de variație.....	20
5.2.3. Influență minim maxim de variație.....	21
5.2.4. Variația al reține, criteriu tiraj.....	22

5.2.5. Verificarea funcționalității sistemului	100
5.3. Algoritmul de optimizare a de criticitatea sistemului	120
5.4. Modalități de comunicare la părere a utilizatorilor	120
5.4.1. Limitele de comunicare lui în valoare	120
Mărirea limitelor de comunicare	120
5.4.2. Limitarea lui în valoare	120
finisajelor	120
5.5. Creșterea duratăi de comunicației	120
5.6. Concluzii	120

C. REALIZARI DE CONSTRUCȚII

MASINI DE CONSTRUCȚII	120
6.1. Micromotorul cu varistori diametru mic (0,5mm)	120
6.1.1. Actuatorul de varistori cu microîncărcare	120
6.1.2. Sistem de control pentru varistori	120
6.2. Sistem de control pentru realizarea fără eroare a fără eroare a fără eroare a	120
6.2.1. Controlerul GP-1000/0	120
6.2.2. Setările edervative	120
6.2.3. Sistemul de control	120
6.2.4. Amplificatorul de comunicație	120

6.2.4.1. Densitatea.....	17
6.2.4.2. Înălțimea motorului.....	17
6.2.4.3. Flormulie în raport cu compresorul.....	17
6.2.4.4. Piese din corpul motorului în raport cu comutatorul.....	17
6.2.4.5. Motorul de pornire.....	17
6.2.5. Grupul motor -.....	17
6.2.6. Schema de legătură a sistemelor de legăturile cu.....	17
6.3. Concluzii.....	17

7. INCERCARI EXPERIMENTALE.....

A. INCERCARI DE AVANSARE.....

7.1. Incercări experimentale de avansare la producție.....	17
7.1.1. Obiectivul de incercări.....	17
7.1.1.1. Determinarea rezistenței la compresie a unei bănci de 120 de elemente.....	17
7.1.1.2. Determinarea rezistenței la compresie a unei bănci de 120 de elemente.....	17
7.1.1.3. Creșterea rezistenței la compresie a unei bănci de 120 de elemente adaptiv.....	17

7.2. Cercetări experimentale de optimizare a avansului la circa 7-8 MPa.....	17
7.2.1. Determinarea extinderea lor "forță axială - rezistență torsională".....	17

7.2.2. Verificare	10
retinere și	
pentru că	
7.2.3. Dacă	11
nu este	
căci și	
7.2.4. Deoarece	12
nu este	
căci	
7.3. Concluzii	13
cerctere	
8. CONCLUZII GENERALE	14
BIBLIOGRAFIE	15
CUPRINS	16